

# Direzione Progettazione e Realizzazione Lavori

# **E78 GROSSETO - FANO** Tratto Nodo di Arezzo – Selci – Lama (E45) Adeguamento a quattro corsie del tratto San Zeno – Arezzo – Palazzo del Pero, 1º lotto

# PROGETTO DEFINITIVO

FI 508

ANAS - DIREZIONE PROGETTAZIONE E REALIZZAZIONE LAVORI

IL GEOLOGO

Dott. Geol. Roberto Salucci

Ordine dei geologi della Regione Lazio n. 633

COORDINATORE PER LA SICUREZZA IN FASE DI PROGETTAZIONE

Arch. Santo Salvatore Vermiglio

Ordine Architetti Provincia di Reggio Calabria n. 1270

VISTO: IL RESP. DEL PROCEDIMENTO Ing. Francesco Pisani

VISTO: IL RESP. DEL PROGETTO

Arch.Pianif. Marco Colazza

I PROGETTISTI SPECIALISTICI

Ing. Ambrogio Signorelli

Ordine Ingegneri Provincia di Roma n. A35111

Ing. Moreno Panfili

Ordine Ingegneri Provincia di Perugia n. A2657

Ing. Matte

Ordine Ingernerie Provincia di Pordenone a

Ing. Giuseppe Festa

Ordine Ingggneri Provincia di Roma n. 20629 PROGETTAZIONE ATI:

(Mandataria)

(Mandante)

GESTIONE PROGETTI INGEGNERIA srl

(Mandante) cooprogetti





IL PROGETTISTA RESPONSABILE DELL'INNTEGRAZIONE DELLE PRESTAZIONE SPECIALISTICHE. (DPR207/10 ART 15 COMMA 12):

IO GUIDUCCI E INGEGNER

Dott. Ing. GIORGIO GU 14035

# OPERE D'ARTE MAGGIORI

Asse principale

VI.01 — Viadotto Montoncello

Relazione di calcolo opere provvisionali

CODICE PF	ROGETTO	NOME FILE PO1VIO1GETR	REVISIONE	SCALA		
PROGETTO  DPFI	LIV.PROG ANNO 23	CODICE PO1VIO1G	ETRE	0 2	В	_
D						
С						
В	Revisione a seguito Istro	uttoria n°U. 0016028.09-01-2024	Gennaio '24	Cassarini	Bordugo	Guiducci
А	Emissione		Agosto '23	Cassarini	Bordugo	Guiducci
REV.	DESCRIZIONE		DATA	REDATTO	VERIFICATO	APPROVATO

# TRATTO NODO DI AREZZO - SELCI - LAMA (E45)

ADEGUAMENTO A QUATTRO CORSIE DEL TRATTO SAN ZENO – AREZZO – PALAZZO DEL PERO, LOTTO 1 (FI508)

### OPERE PROVVISIONALI - ASSE PRINCIPALE - VIADOTTO VI.01

# **INDICE**

<u>1.</u>	PRE	ME	SSA	<u> 4</u>
<u>2.</u>	PAF	<u>RATI</u>	E	<u>5</u>
	2.1.		DICE DI CALCOLO UTILIZZATO	
	2.2.	NO	RMATIVA E DOCUMENTI DI RIFERIMENTO	6
	2.1.	CA	RATTERISTICHE MATERIALI	6
	2.1	.1.	MISCELA CEMENTIZIA PER PALI MICROPALI E CORDOLI (C 25/30)	6
	2.1	.2.	CALCESTRUZZO MAGRO (C 12/15)	6
	2.1	.3.	MISCELE CEMENTIZIE PER INIEZIONI DI SECONDA FASE (TIRANTI)	7
	2.1	.4.	ACCIAIO DA CARPENTERIA TRAVI DI RIPARTIZIONE E PIASTRE. (S355 JR)	7
	2.1	.5.	ACCIAIO PER TREFOLI	7
	2.1	.6.	ACCIAIO D' ARMATURA	7
	2.1	.7.	ACCIAIO DA CARPENTERIA TUBI METALLICI (\$355 JR)	7
<u>3.</u>	CAF	RAT	TERIZZAZIONE E CRITERI DI PROGETTAZIONE GEOTECNICA	<u> 8</u>
	3.1.	STF	RATO DENOMINATO "UNITÀ GEOTECNICA RIPORTI" (STRATO U.G.R. R)	9
	3.2.	STF	RATO DENOMINATO "UNITÀ GEOTECNICA ARENARIA ALTERATA" (STRATO AC ALT)	9
	3.3.	CR	ITERI DI CALCOLO E VERIFICA DELLE OPERE	. 10
	3.3	3.1.	AZIONI	. 10
	3.4.	AP	PROCCI PROGETTUALI E METODI DI VERIFICA	. 10
	3.4	<sup>1</sup> .1.	VERIFICA DEI TIRANTI E BULBI DI FONDAZIONE	. 12
	3.4	<sup>1</sup> .2.	ACCIAIO DI ARMATURA	. 16
	3.4	1.3.	VERIFICA DELLE TRAVI DI RIPARTIZIONE	. 16
	3.4	1.4.	VERIFICA DEI MICROPALI	. 16
<u>4.</u>	CAF	RAT	TERISTICHE DELLA PARATIA	<u>. 17</u>
	4.1.	PAF	RATIA IN MICROPALI	. 17
	4.2.	TIR	ANTI DI ANCORAGGIO	. 17
	4.3.	TRA	AVE DI CONTRASTO	. 19
<u>5.</u>	<u>AN</u>	ALIS	I DEI CARICHI E DEI SOVRACCARICHI	<u>. 19</u>
	5.1.	PRI	ESENZA DI FALDA	. 19











# TRATTO NODO DI AREZZO - SELCI - LAMA (E45) ADEGUAMENTO A QUATTRO CORSIE DEL TRATTO SAN ZENO – AREZZO – PALAZZO DEL PERO, LOTTO 1 (FI508)

### OPERE PROVVISIONALI - ASSE PRINCIPALE - VIADOTTO VI.01

<u>6.</u> <u>CO</u>	DICI DI CALCOLO	<u> 19</u>
<u>7. CAI</u>	LCOLO DELLA STRUTTURA	19
7.1.	FASI DI LAVORO	19
7.2.	COMBINAZIONI DI CARICO	24
8. RIS	ULTATI OTTENUTI	26
8.1.	VERIFICHE STRUTTURALI PALI	
8.1	1.1. Verifica dell'armatura tubolare	28
8.2.	VERIFICHE TIRANTI	
8.2	2.1. Verifiche geotecniche	33
8.2	2.2. Verifiche strutturali	
8.3.	VERIFICA TRAVE DI CONTRASTO	35
8.4.	VERIFICHE DEL TERRENO INTERAGENTE CON LA PARATIA	37
<u>9. VEF</u>	RIFICHE DELLA STABILITÀ GLOBALE	39
	HIARAZIONI SECONDO N.T.C. 2018 (PUNTO 10.2)	
10.1.	TIPO DI ANALISI SVOLTA	40
10.2.	ORIGINE E CARATTERISTICHE DEI CODICI DI CALCOLO	40
10.3.	AFFIDABILITÀ DEI CODICI DI CALCOLO	40
10.4.	MODALITÀ DI PRESENTAZIONE DEI RISULTATI	40
10.5.	INFORMAZIONI GENERALI SULL'ELABORAZIONE	41
10.6.	GIUDIZIO MOTIVATO DI ACCETTABILITÀ DEI RISULTATI	41
<u>11.</u> ALI	LEGATI DI CALCOLO	42
DESCRI	ZIONE DEL SOFTWARE	43
DESCRI	ZIONE DELLA STRATIGRAFIA E DEGLI STRATI DI TERRENO	44
DESCRI	ZIONE PARETI	45
FASI DI	CALCOLO	46
	INIZIALE	
SCAVO	o -2.00	48
TIRAN	те 1	50
SCAVO	0 -4.50	52
PROGETTAZION		











# TRATTO NODO DI AREZZO - SELCI - LAMA (E45) ADEGUAMENTO A QUATTRO CORSIE DEL TRATTO SAN ZENO – AREZZO – PALAZZO DEL PERO, LOTTO 1 (FI508)

# OPERE PROVVISIONALI - ASSE PRINCIPALE - VIADOTTO VI.01

	TIRANTE 2	. 54
	SCAVO -7.00	. 56
	TIRANTE 3	. 59
	SCAVO -8.00	. 62
	EXTRASCAVO	. 65
	TABELLA CONFIGURAZIONE STAGE (NOMINAL)	. 68
<u>N</u>	ORMATIVE ADOTTATE PER LE VERIFICHE DEGLI ELEMENTI STRUTTURALI	<u>. 73</u>
	Verifiche Tiranti NTC2018: SLE (Rara/Frequente/Quasi Permanente)	. 74
	Verifiche Tiranti NTC2018: A1+M1+R1	. 75
	Verifiche Tiranti NTC2018: A1+M1+R3	. 76
	Verifiche Tiranti NTC2018: A2+M2+R1	. 77
	Verifiche Tiranti NTC2018: A2+M2+R2	. 78
	Inviluppo Verifiche Tiranti (su tutte le D.A. attive)	. 79
	VERIFICHE TRAVI DI RIPARTIZIONE NOMINAL	. 80
	VERIFICHE TRAVI DI RIPARTIZIONE NTC2018: SLE (RARA/FREQUENTE/QUASI PERMANENTE)	. 81
	VERIFICHE TRAVI DI RIPARTIZIONE NTC2018: A1+M1+R1	. 82
	VERIFICHE TRAVI DI RIPARTIZIONE NTC2018: A1+M1+R3	. 83
	VERIFICHE TRAVI DI RIPARTIZIONE NTC2018: A2+M2+R1	. 84
	VERIFICHE TRAVI DI RIPARTIZIONE NTC2018: A2+M2+R2	. 85













ADEGUAMENTO A QUATTRO CORSIE DEL TRATTO SAN ZENO – AREZZO – PALAZZO DEL PERO, LOTTO 1 (FI508)

OPERE PROVVISIONALI - ASSE PRINCIPALE - VIADOTTO VI.01

# 1. PREMESSA

Il presente documento ha per oggetto la verifica delle opere di sostegno provvisionali, realizzate con paratie in pali o berlinesi in micropali, per il sostegno degli scavi necessari alla realizzazione dei viadotti nell'ambito del Progetto Definitivo dell'intervento relativo alla Strada di Grande Comunicazione S.G.C. E78 "Grosseto Fano" nel tratto "Nodo di Arezzo – Selci Lama" (svincolo con la E45 "Orte Ravenna") per quanto riquarda l'adequamento a quattro corsie del tratto San Zeno -Arezzo - Palazzo del Pero - Lotto 1

Sulla base del par. 2.4.1 delle NTC'18 e considerando una vita utile massima pari a 6 mesi, per le presenti opere provvisionali si possono omettere le verifiche sismiche (vita inferiore a 2 anni).

In particolare si fa riferimento alla seguente opera:

#### Viadotto VI.01

ed in particolare alla pila P1 che presenta gli scavi di altezza maggiore.

Il presente documento riporta in dettaglio le verifiche relative a tali opere, condotte ai sensi della normativa vigente.

Per l'ubicazione e le caratteristiche di dettaglio delle opere in oggetto si rimanda agli specifici elaborati grafici di progetto.

La sesione tipologica assunta nel calcolo, rappresentativa di tutte le paratie provvisionali previste per la realizzazione dell'opera, è quella relativa alla pila P.01 che presenta una altezza di scavo di circa 7.80 metri.

La sezione tipologica dell'opera è la seguente :

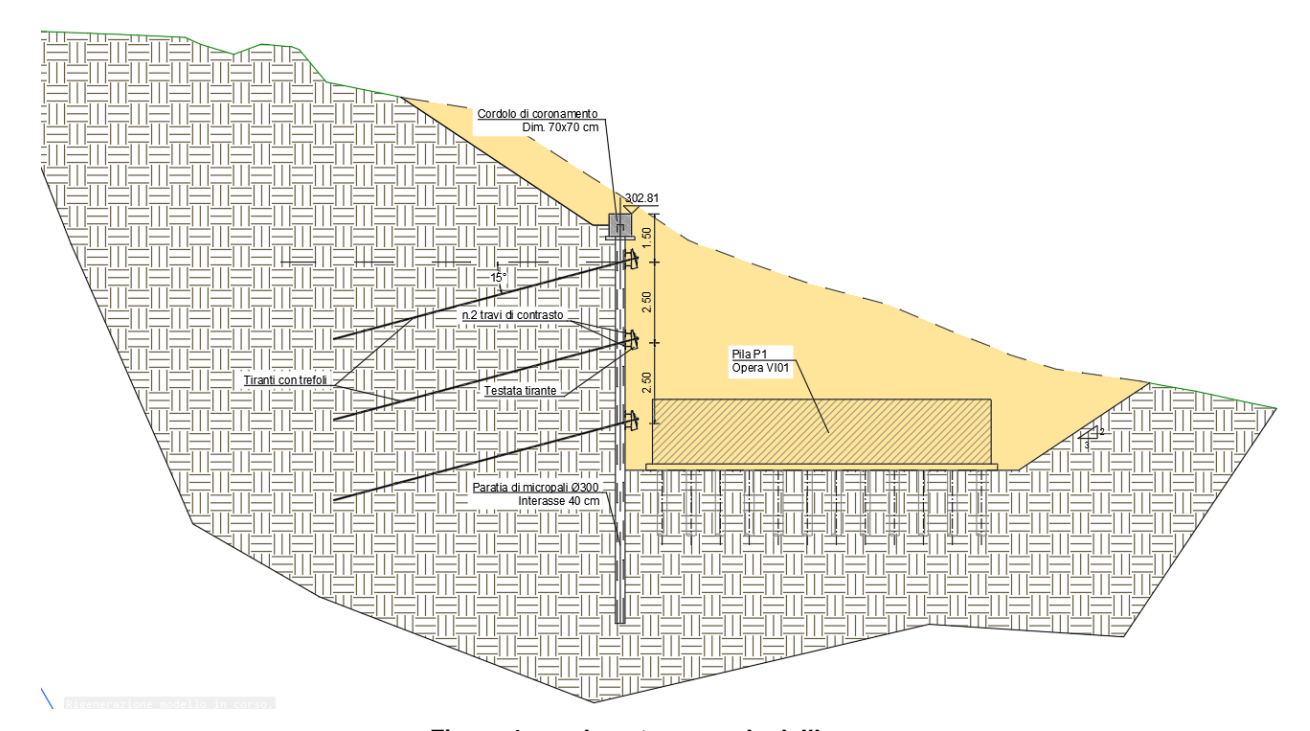


Figura 1 : sezione trasversale dell'opera











ADEGUAMENTO A QUATTRO CORSIE DEL TRATTO SAN ZENO - AREZZO - PALAZZO DEL PERO, LOTTO 1 (FI508)

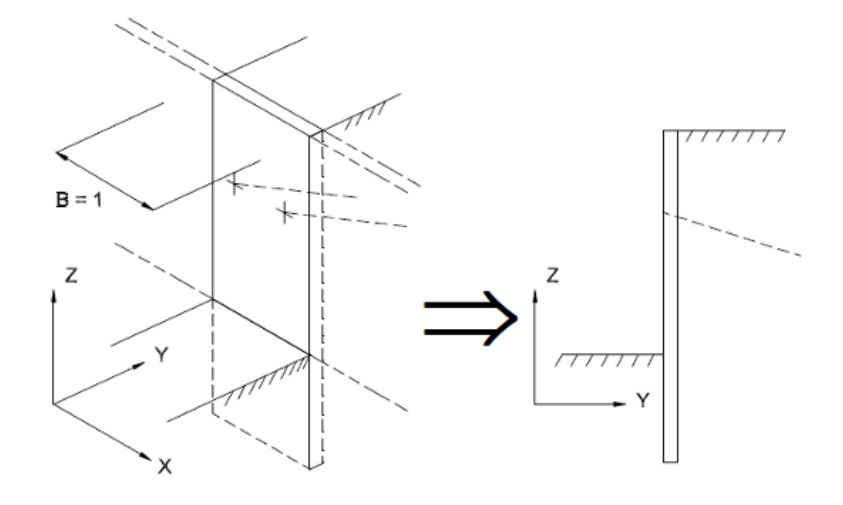
OPERE PROVVISIONALI - ASSE PRINCIPALE - VIADOTTO VI.01

# 2. PARATIE

#### 2.1. CODICE DI CALCOLO UTILIZZATO

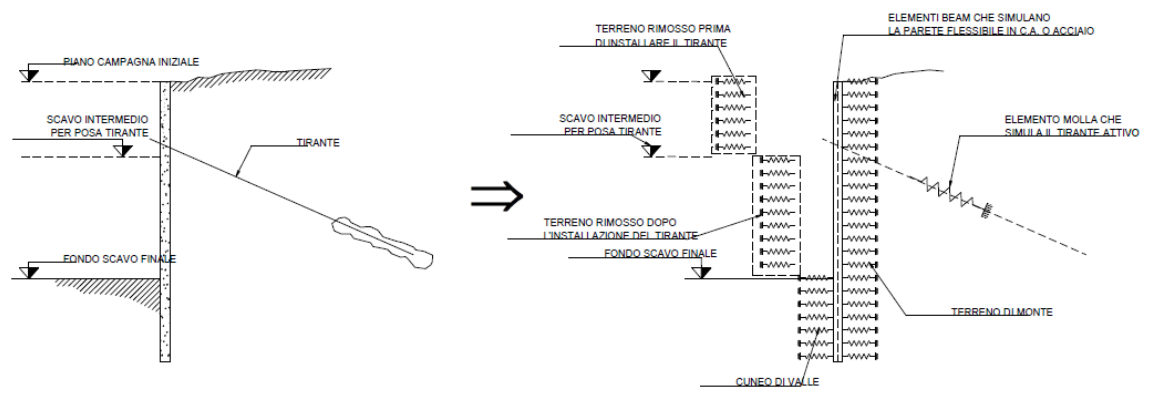
Lo studio dell'interazione dell'opera con il terreno è stato condotto mediante il codice di calcolo PARATIE PLUS 23.0.6. PARATIEPLUS è un codice agli elementi finiti che simula il problema di uno scavo sostenuto da opere flessibili e permette di valutare il comportamento della parete di sostegno durante tutte le fasi intermedie e nella configurazione finale. Il problema reale è assimilato ad un problema piano in cui viene analizzata una "fetta" di parete di larghezza unitaria. come mostrato nella figura seguente.

La modellazione numerica dell'interazione terreno-struttura è del tipo "trave su suolo elastico": le pareti di sostegno vengono rappresentate con elementi finiti tipo trave il cui comportamento è definito dalla rigidezza flessionale EJ, mentre il terreno viene simulato attraverso elementi monodimensionali (molle) connessi ai nodi delle paratie a comportamento elastoplastico incrudente caratterizzato da un modulo elastico Evc a compressione vergine ed un modulo Eur in fase di scarico/ricarico. Il criterio di rottura è quello di Mohr-Coulomb. Le condizioni iniziali a riposo sono determinate assegnando il coefficiente di spinta a riposo k0 normalmente consolidato. I tiranti sono simulati attraverso elementi elastici di rigidezza K=E(A/L) ove E è il modulo elastico del materiale, A l'area per unità di larghezza e L la lunghezza dell'elemento, trascurando pertanto ogni contributo flessionale.



#### PROBLEMA REALE

#### MODELLO DI CALCOLO CON PARATIE













#### **E78 GROSSETO - FANO** TRATTO NODO DI AREZZO - SELCI - LAMA (E45) ADEGUAMENTO A QUATTRO CORSIE DEL TRATTO SAN ZENO – AREZZO – PALAZZO DEL PERO, LOTTO 1 (FI508)

OPERE PROVVISIONALI - ASSE PRINCIPALE - VIADOTTO VI.01

Figura 2 : Schema di analisi di PARATIE

### 2.2. NORMATIVA E DOCUMENTI DI RIFERIMENTO

Le analisi strutturali e le verifiche di sicurezza sono state effettuate in accordo con le norme e circolari seguenti:

- D.M. Infrastrutture del 17.01.2018 Aggiornamento delle Norme tecniche per le costruzioni;
- Circolare 21 gennaio 2019 n.7 "Istruzioni per l'applicazione dell'«Aggiornamento delle "Norme tecniche per le costruzioni"» di cui al decreto ministeriale 17 gennaio 2018";
- UNI EN 1537:2002 Esecuzione di lavori geotecnici speciali Tiranti di ancoraggio.
- UNI EN 206:2016 "Calcestruzzo: specificazione, prestazione, produzione e conformità", Istruzioni complementari per l'applicazione delle EN 206-1

#### 2.1. CARATTERISTICHE MATERIALI

Di seguito si riportano le caratteristiche dei materiali previsti per la realizzazione delle strutture oggetto di calcolo nell'ambito del presente documento :

# MISCELA CEMENTIZIA PER PALI MICROPALI E CORDOLI (C 25/30)

Sulla base delle analisi chimiche condotte sul terreno si adotta C32/40 XA2: a favore di sicurezza si conducono le verifiche con C25/30.

- Valore caratteristico della resistenza a compressione cubica a 28 gg :  $R_{ck} = 30 \text{ Mpa}$
- Valore caratteristico della resistenza a compressione cilindrica a 28 gg :  $f_{ck} = 25 \text{ MPa} (0.83 * \text{ MPa})$
- Resistenza a compressione cilindrica media :  $f_{cm} = 33 \text{ MPa}(f_{ck} + 8)$
- Classe di Consistenza slump : S4
- Max dimensione aggregato: 30 mm
- Contenuto minimo di cemento : 300 Kg/mc
- Classe di esposizione : xC1
- Copriferro pali: C=60 mm
- Copriferro cordoli: C=50 mm

# **CALCESTRUZZO MAGRO (C 12/15)**

Classe di resistenza: C12/15

Contenuto min. Cemento: 150 Kg/mc









TRATTO NODO DI AREZZO - SELCI - LAMA (E45)

Adeguamento a quattro corsie del tratto San Zeno – Arezzo – Palazzo del Pero, lotto 1 (FI508)

OPERE PROVVISIONALI - ASSE PRINCIPALE - VIADOTTO VI.01

# MISCELE CEMENTIZIE PER INIEZIONI DI SECONDA FASE (TIRANTI)

- Rapporto a/c : ≤0.7
- Valore caratteristico della resistenza a compressione cubica a 48 h :  $R_{ck} \ge 5$  Mpa
- Valore caratteristico della resistenza a compressione cubica a 28gg : R<sub>ck</sub> ≥ 25 Mpa

# 2.1.4. ACCIAIO DA CARPENTERIA TRAVI DI RIPARTIZIONE E PIASTRE. (\$355 JR)

- Classe Acciaio: S 355
- Modulo di elasticità :  $E_f = 210000 \frac{N}{mm^2}$

# 2.1.5. ACCIAIO PER TREFOLI

Di seguito si riportano le caratteristiche di progetto dell'acciaio previsto per i trefoli di armatura dei Tiranti di Ancoraggio in accordo a quanto indicato nella NTC2018:

- Tensione caratteristica di rottura :  $f_{ptk} = 1860 \text{ N/mm}^2$
- Tensione caratteristica all'1 % di deformazione totale :  $f_{p(1)k} = 1670 \text{ N/mm}^2$
- Allungamento sotto carico massimo :  $(A_{gt}) = 3.50 \%$
- Modulo di Elasticità :  $E_s = 210000 \text{ N/mm}^2$

# 2.1.6. ACCIAIO D' ARMATURA

- Classe Acciaio: Acciaio per cemento armato B450 C saldabile
- Tensione caratteristica di snervamento :  $f_{vk}$  =450 MPa
- $f_{ntk} = 540 \text{ N/mm}^2$ Tensione caratteristica di rottura :

 $f_{vk} \ge f_{vnom} frattile 5\%$ 

 $f_{tk} \ge f_{vnom} frattile 5\%$ 

 $1.5 \le (f_t/f_{v)k} \le 1.35$  frattile 10%

 $(f_v/f_{vnom})_k \leq 1.25$  frattile 10%

# 2.1.7. ACCIAIO DA CARPENTERIA TUBI METALLICI (\$355 JR)

Classe Acciaio: S 355

Modulo di elasticità :  $E_f = 210000 \text{ N/mm}^2$ 









OPERE PROVVISIONALI - ASSE PRINCIPALE - VIADOTTO VI.01

# 3. CARATTERIZZAZIONE E CRITERI DI PROGETTAZIONE GEOTECNICA

Per la caratterizzazione geotecnica dei materiali interessati dall'intervento si è fatto riferimento alla "Relazione geotecnica generale" ed ai relativi elaborati grafici.

I parametri dei terreni utilizzati per il calcolo sono in accordo con quanto illustrato nelle relazioni geologica e geotecnica, di cui si riporta un estratto contenuto nel profilo geologico :

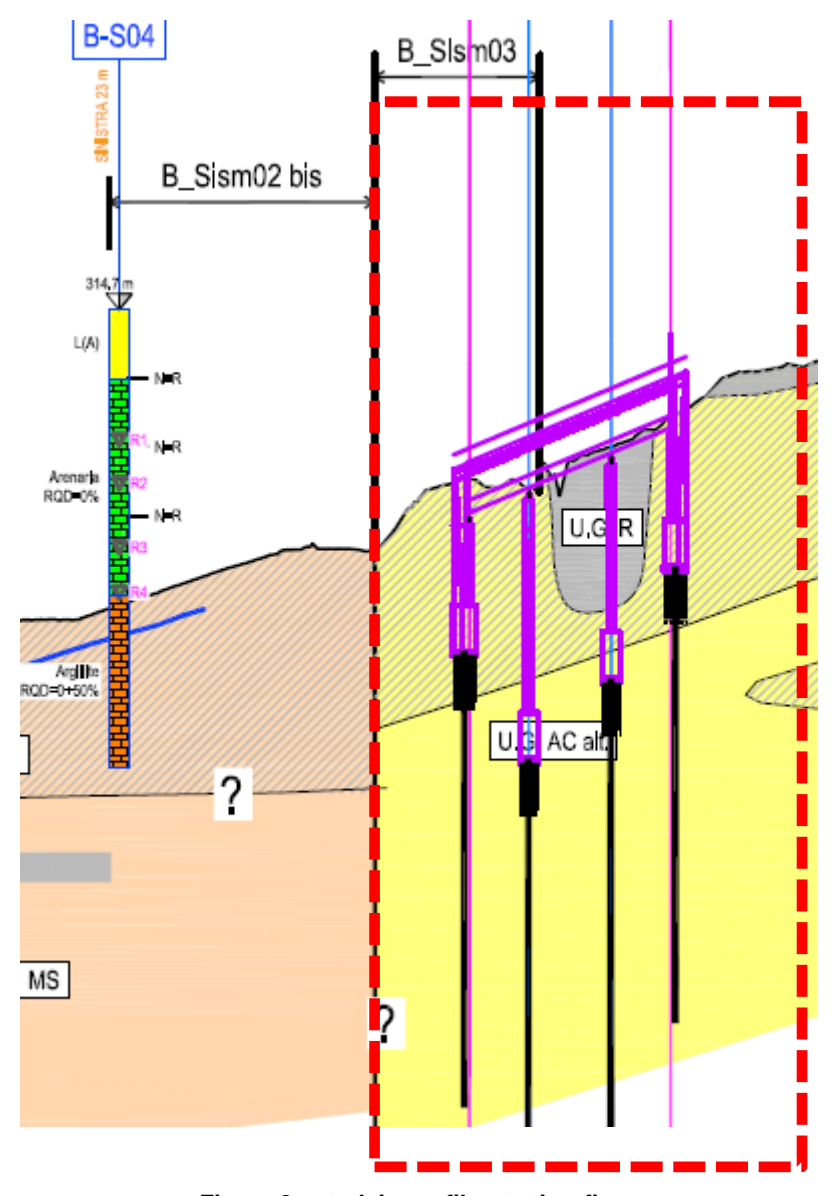


Figura 3: stralcio profilo stratigrafico











#### **E78 GROSSETO - FANO** TRATTO NODO DI AREZZO - SELCI - LAMA (E45) ADEGUAMENTO A QUATTRO CORSIE DEL TRATTO SAN ZENO - AREZZO - PALAZZO DEL PERO, LOTTO 1 (FI508)

#### OPERE PROVVISIONALI - ASSE PRINCIPALE - VIADOTTO VI.01

# UNITA' GEOTECNICHE



						Valo	ori carat	teristici					Valori	di defo	rmabilità	di riferim	ento
Unità	Unità geologic	Y/Y'	φ'	c'	Cu	φ' <sub>k</sub>	c' k	C <sub>u k</sub>	q <sub>s</sub> per micropali tipo	Vs	G₀	v	$M_{\text{fond.}}$	M <sub>fond.</sub>	E fond.	E fond.	E <sub>substr</sub>
geotecnica	а								igu i				Dir.	Prof.	Dir.	Prof.	
		(kN/m³)	(°)	(kPa)	(kPa)	(°)	(kPa)	(kPa)	(kPa)	(m/s)	(MPa)	(-)	(MPa)	(MPa)	(MPa)	(MPa)	(MPa)
R	r	20/10	26÷30	-	-	28	-	-	-	200	80	0.25	-	-	20	30	-
FN*	fn	19.5/9.5	24÷30	0÷5	-	24	0	-	-	100÷200	20÷80	0.3	-	-	6÷10	9÷15	-
LS	at	19.5/9.5	24÷28	10÷30	40÷60	26	10	50	-	200÷400	80÷300	0.30	4÷6	8÷12	6÷10	9÷15	-
GS	at	19.5/9.5	27÷32	0	-	30	0	-	100÷150	200÷400	80÷300	0.3	-	-	10÷15	15÷22	-
MS alt	ms	19.5/9.5	29÷37	10÷50	-	26	30	-	200÷400	200÷700	80÷1000	0.2	-	-	15÷25	22÷38	-
MS	ms	23/13	22÷31	70÷200	-	28	90	-	400÷600	700÷1000	1100÷2300	0.2	-	-	-	-	3000
AC alt	ac	19.5/9.6	25÷35	10÷50	-	25	30	-	200÷400	200+700	80+1000	0.2	-	-	15÷25	22÷38	-
AC	ac	23/13	23÷31	80÷210	-	27	100	-	400÷600	700÷1000	1100÷2300	0.2	-	-	-	-	2400
*Valori pres	*Valori presunti, basati su informazioni limitate																

Figura 4: tabella riassuntiva caratteristiche meccaniche terreni in sito

Sulla base di tali dati si sono assunti i sequenti parametri inseriti nel codice di calcolo:

# 3.1. STRATO DENOMINATO "UNITÀ GEOTECNICA RIPORTI" (STRATO U.G.R. R)

Potenza dello strato : circa 5.00 metri

 Angolo di attrito : 28° Coesione c': 0 kPa

Modulo M: 30.000 kPa

# 3.2. STRATO DENOMINATO "UNITÀ GEOTECNICA ARENARIA ALTERATA" (STRATO AC ALT)

Potenza dello strato : indefinita (potenza superiore a circa 20.00 metri)

Angolo di attrito : 25°

Coesione c': 30 kPa

Modulo M: 2.500.000 kPa











#### **E78 GROSSETO - FANO** TRATTO NODO DI AREZZO - SELCI - LAMA (E45) ADEGUAMENTO A QUATTRO CORSIE DEL TRATTO SAN ZENO - AREZZO - PALAZZO DEL PERO, LOTTO 1 (FI508)

OPERE PROVVISIONALI - ASSE PRINCIPALE - VIADOTTO VI.01

Si riporta nel seguito lo schema di calcolo adottato.

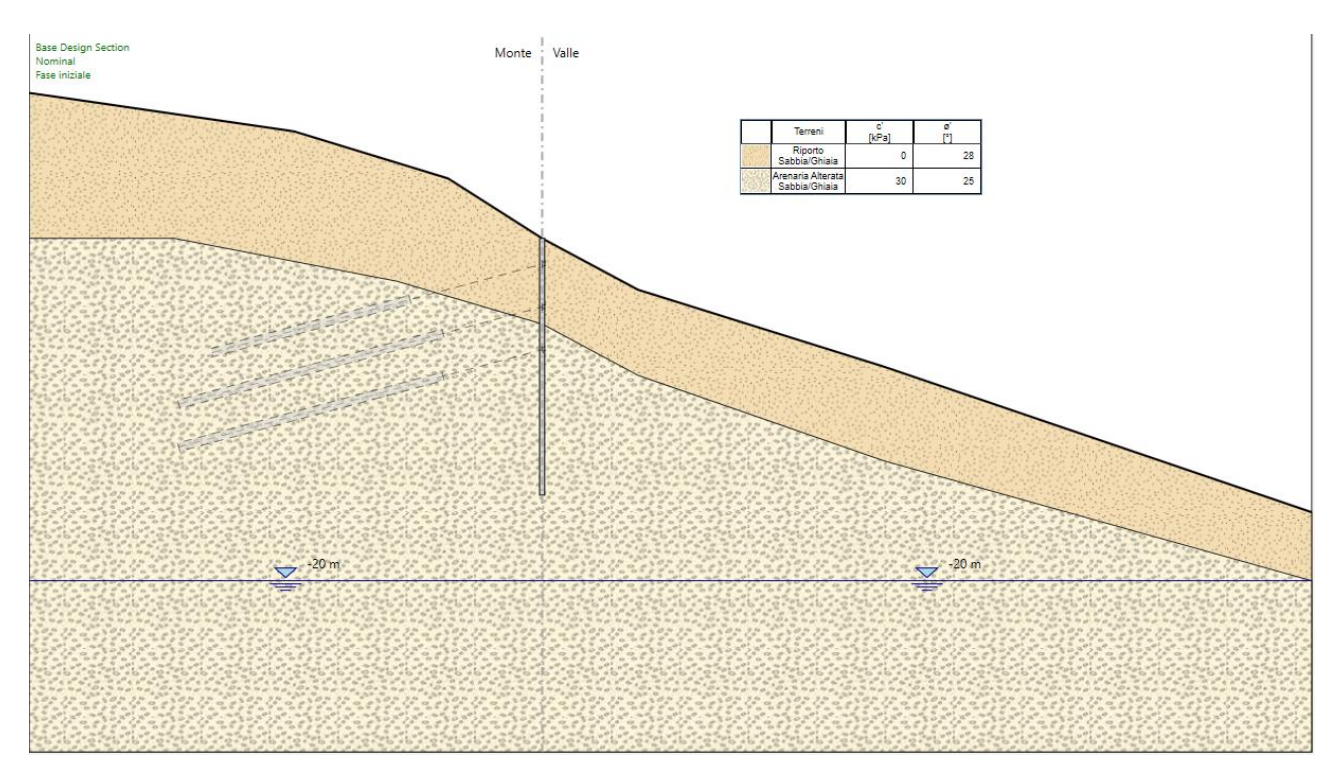


Figura 5 : schema del modello di calcolo adottato

### 3.3. CRITERI DI CALCOLO E VERIFICA DELLE OPERE

Le verifiche sono state condotte in accordo con le prescrizioni e le indicazioni del DM 17.01.2018 e della relativa circolare esplicativa.

# 3.3.1. **AZIONI**

Le azioni considerate per la verifica delle opere di sostegno sono le seguenti :

- azioni permanenti strutturali: peso proprio degli elementi strutturali, spinta del terreno a monte e a valle dell'opera.
- azioni variabili: non presenti in considerazione della conformazione dei luoghi.
- azione sismica: l'azione è stata omessa in quanto le opere sono provvisionali.

Sulla base della definizione dei carichi di cui sopra, in accordo a quanto prescritto dal DM 17.01.2018, sono state individuate le combinazioni di carico per le verifiche di stati limite ultimi e di esercizio in condizioni statiche e in condizioni sismiche:

- combinazione fondamentale (SLU)
- combinazione caratteristica (SLE)

### 3.4. APPROCCI PROGETTUALI E METODI DI VERIFICA

Di seguito viene presentato l'elenco delle diverse analisi effettuate per il dimensionamento e la verifica delle opere, nello spirito del metodo semiprobabilistico agli stati limite, in accordo alle disposizioni del DM 17.01.2018 e della relativa Circolare esplicativa del 21.01.2019.











ADEGUAMENTO A QUATTRO CORSIE DEL TRATTO SAN ZENO - AREZZO - PALAZZO DEL PERO, LOTTO 1 (FI508)

#### OPERE PROVVISIONALI - ASSE PRINCIPALE - VIADOTTO VI.01

Per le analisi relative alle paratie, sono stati presi in considerazione i seguenti stati limite di progetto:

- Stato Limite di Esercizio (SLE) Combinazione caratteristica: le analisi sono condotte considerando i valori caratteristici delle azioni esterne A<sub>k</sub> e dei parametri geotecnici Mk. Questa modellazione verrà utilizzato per la valutazione degli spostamenti.
- Stato Limite Ultimo (STR) Combinazione A1+M1+R1: le analisi sono condotte considerando i valori di progetto delle azioni esterne A<sub>1</sub> (ottenuti amplificando con opportuni coefficienti parziali i valori caratteristici, A<sub>1</sub>=γ<sub>1</sub>·A<sub>k</sub>), mentre ai parametri geotecnici si assegnano coefficienti parziali unitari (M<sub>1</sub>=M<sub>k</sub>).
- Stato Limite Ultimo (GEO): Combinazione A2+M2+R2: le analisi sono condotte considerando le azioni permanenti non strutturali e le azioni variabili (sovraccarichi) incrementate per mezzo dei coefficienti parziali (y<sub>G2</sub>, y<sub>Q</sub>) del gruppo A2, mentre i parametri geotecnici sono ridotti mediante i coefficienti parziali del gruppo M2  $(M_2=M_k/\gamma_{M_2})$ .
- Stato Limite Ultimo con sisma trattandosi di opere provvisionali non si verifica la configurazione sismica in accordo al punto §2.4.1 di NTC2018.

Si sottolinea che per la combinazione A1+M1+R1 (STR) i coefficienti parziali sono applicati sugli effetti delle azioni, in accordo a quanto previsto nel § 6.2.4.1 "Verifiche nei confronti degli stati limite ultimi (SLU)" del D.M. 2018.

Nelle seguenti tabelle sono riportati i coefficienti parziali prescritti dalla normativa per gli Stati Limite Ultimi.

CARICHI	EFFETTO	COEFFICIENTE PARZIALE	EQU	(A1) STR	(A2) GEO
Permanenti G <sub>1</sub>	Favorevole	$\gamma_{G1}$	0.9	1.0	1.0
Permanenti G <sub>1</sub>	Sfavorevole		1.1	1.3	1.0
Permanenti non	Favorevole	Y <sub>G2</sub>	0.8	0.8	0.8
strutturali G <sub>2</sub> <sup>(1)</sup>	Sfavorevole		1.5	1.5	1.3
Variabili O	Favorevole	$\gamma_{\mathrm{Qi}}$	0.0	0.0	0.0
Variabili Q	Sfavorevole		1.5	1.5	1.3

<sup>&</sup>lt;sup>(1)</sup>Per i carichi permanenti G2 si applica quanto indicato alla tabella 2.6.l. Per la spinta delle terre si fa riferimento ai coeficcienti  $\gamma_{G1}$ 

Figura 6 : Coefficienti parziali per le azioni o per l'effetto delle azioni

PARAMETRO	GRANDEZZA ALLA QUALE APPLICARE IL COEFFICIENTE PARZIALE	COEFFICIENTE PARZIALE γ <sub>M</sub>	(M1)	(M2)
Tangente dell'angolo d resistenza al taglio	$tan \phi_k'$	$\gamma_{\phi'}$	1.00	1.25
Coesione efficace	$c_k'$	γς,	1.00	1.25











#### E78 GROSSETO – FANO Tratto Nodo di Arezzo – Selci – Lama (E45)

ADEGUAMENTO A QUATTRO CORSIE DEL TRATTO SAN ZENO – AREZZO – PALAZZO DEL PERO, LOTTO 1 (FI508)

#### OPERE PROVVISIONALI - ASSE PRINCIPALE - VIADOTTO VI.01

Resistenza non drenata	${\sf c}_{ m uk}$	$\gamma_{cu}$	1.00	1.40
Peso dell'unità di volume	γ	$\gamma_{\gamma}$	1.00	1.00

Figura 7 : Coefficienti parziali per i parametri geotecnici del terreno

VERIFICA	COEFFICIENTE PARZIALE R1
Coefficiente parziale	γ <sub>R</sub> =1,00

Figura 8 : Coefficienti parziali delle resistenze

Si riepilogano in tabella le analisi eseguite:

1	SLE	per calcolo deformazioni
2	SLU A1+M1+R1	per verifiche strutturali di pali, micropali e travi di ripartizione
3	SLU A2+M2+R2	per verifiche di stabilità globale
4	SLU A2+M2+R2	per verifiche geotecniche
5	SLU A1+M1+R3	per verifiche tiranti

Figura 9 : Combinazioni di calcolo utilizzate per le paratie

# 3.4.1. VERIFICA DEI TIRANTI E BULBI DI FONDAZIONE

La verifica di sfilamento del bulbo dei tiranti viene svolta (§6.6.2 del DM 17.01.2018) con riferimento alla combinazione A1+M1+R3.

La verifica consiste nel soddisfare la seguente disuguaglianza:

$$T_d \le R_{ad}$$

dove:

- T<sub>d</sub> = azione di calcolo;
- $R_{ad} = R_{ak} / \gamma_R = resistenza di progetto allo sfilamento;$
- R<sub>ak</sub> = resistenza caratteristica allo sfilamento;
- $\gamma_R = 1.1$  per tiranti provvisori.

L'azione massima di calcolo  $T_d$  si ottiene amplificando con i coefficienti parziali  $\gamma_F$  relativi alla combinazione A1 la massima trazione valutata con un modello di iterazione terreno/struttura nel quale tutti i coefficienti parziali (azioni e resistenza) sono assunti unitari.

La resistenza caratteristica a sfilamento è pari a:











# TRATTO NODO DI AREZZO - SELCI - LAMA (E45)

Adeguamento a quattro corsie del tratto San Zeno – Arezzo – Palazzo del Pero, lotto 1 (FI508)

#### OPERE PROVVISIONALI - ASSE PRINCIPALE - VIADOTTO VI.01

$$R_{ak} = Min \left\{ \frac{\left(R_{a,c}\right)_{medio}}{\xi_{a3}}; \frac{\left(R_{a,c}\right)_{min}}{\xi_{a4}} \right\}$$

Numero di profili di indagine	1	2	3	4	≥5
$\xi_{a3}$	1.80	1.75	1.70	1.65	1.60
ξ <sub>a4</sub>	1.80	1.70	1.65	1.60	1.55

#### con:

- $\xi_{a3}$ ,  $\xi_{a4}$  = fattore di correlazione per derivare la resistenza caratteristica dalle prove geotecniche, in funzione del numero di profili d'indagine, assunto pari a 1.7;
- (R<sub>a,c</sub>)<sub>medio</sub> = resistenza allo sfilamento del tirante, calcolata seguendo un opportuno metodo analitico.
- La resistenza allo sfilamento del tirante dovrebbe essere valutata sulla base di prove di tiro in sito, in via preliminare essa può essere stimata attraverso la formula proposta da Bustamante e Doix che prevede:

$$(R_{a.c.})_{medio} = \pi \cdot \alpha \cdot D \cdot L \cdot q_s$$

#### con:

- α = coefficiente amplificativo che tiene conto dell'incremento della sezione del bulbo per iniezioni multiple e ripetute (nel caso in esame assunto cautelativamente pari a 1.00;
- D = diametro del foro da cui viene realizzato il bulbo (150 mm);
- L = lunghezza del bulbo di ancoraggio;
- q<sub>s</sub> = resistenza disponibile lungo la superficie di contatto tra la fondazione dell'ancoraggio e il terreno, assunta nel caso in esame pari a 150 kPa.

I parametri relativi alla tensione tangenziale media limite  $q_s$  e al coefficiente empirico  $\alpha$  sono stati assunti nell'ipotesi di realizzare il bulbo di fondazione con iniezioni multiple e ripetute (I.R.S.).

TERRENO	VALORI DEL COEFFICIENTE $\alpha_d$		QUANTITÀ MINIMA DI MISCELA CONSIGLIATA VS		
	IRS	IGU	IRS	IGU	
Ghiaia	1.8	1.3-1.4	1.5Vs	1.5Vs	
Ghiaia sabbiosa	1.6-1.8	1.2-1.4	1.5Vs	1.5Vs	
Sabbia ghiaiosa	1.5-1.6	1.2-1.3	1.5Vs	1.5Vs	
Sabbia grossa	1.4-1.5	1.11.2	1.5Vs	1.5Vs	
Sabbia media	1.4-1.5	1.1-1.2	1.5Vs	1.5Vs	
Sabbia fine	1.4-1.5	1.1-1.2	1.5Vs	1.5Vs	
Sabbia limosa	1.4-1.5	1.1-2.0	(1.5-2)Vs	1.5Vs	
Limo	1.4-1.6	1.1-1.2	2 Vs	1.5Vs	
Argilla	1.8-2.0	1.2	IRS: (2.5-3)Vs; IGU/1.5- 2)Vs	-	
Marna	1.8	1.1-1.2	(1.5-2)Vs per strati compatti		











Adeguamento a quattro corsie del tratto San Zeno – Arezzo – Palazzo del Pero, lotto 1 (FI508)

#### OPERE PROVVISIONALI - ASSE PRINCIPALE - VIADOTTO VI.01

			1.7-2.4
Calcari marnosi	1.8	1.1-1.2	(2-6)Vs o più per strati fratturati
Calcari alterati o fratturati	1.8	1.1-1.2	
Roccia alterata e/o fratturata	1.2	1.1	(1.1-1.5)Vs o più per stratti poco fratturati 2Vs o più per strati fratturati 1.7-2.4
<ul> <li>IRS: iniezione ad a stadi e ripetuta</li> <li>IGU: inezione a ba unica soluzione</li> <li>p1: Pressione limi pressiometrica Me</li> <li>pi: pressione di ini</li> </ul>	assa press te dalla pro enard	ione in	$V_S = L_f D_s^2/4 \\ L_f : \text{Lunghezza della fondazione} \\ D_S : \text{Diametro reale della fondazione}$

Nota: nella tabella sono riportati i valori teorici della quantità di volume della miscela di iniezione nelle diverse condizioni operative ed il rapporto acqua cemento ottimale(da Bustamante e Doix, 1985)

Figura 10 : Valori del coefficiente  $\alpha$  per la stima del diametro reale della fondazione dell'ancoraggio

Nel caso in esame si assume a afvore di sicurezza  $\alpha$  =1.00.

In definitiva il valore della tensione tangenziale limite α·qs è pari a:

 $-\alpha \cdot q_s = 1.0 \text{ x } 150 \text{ kPa} = 150 \text{ kPa}$ 

Tale valore andrà confermato mediante uno specifico campo prove.

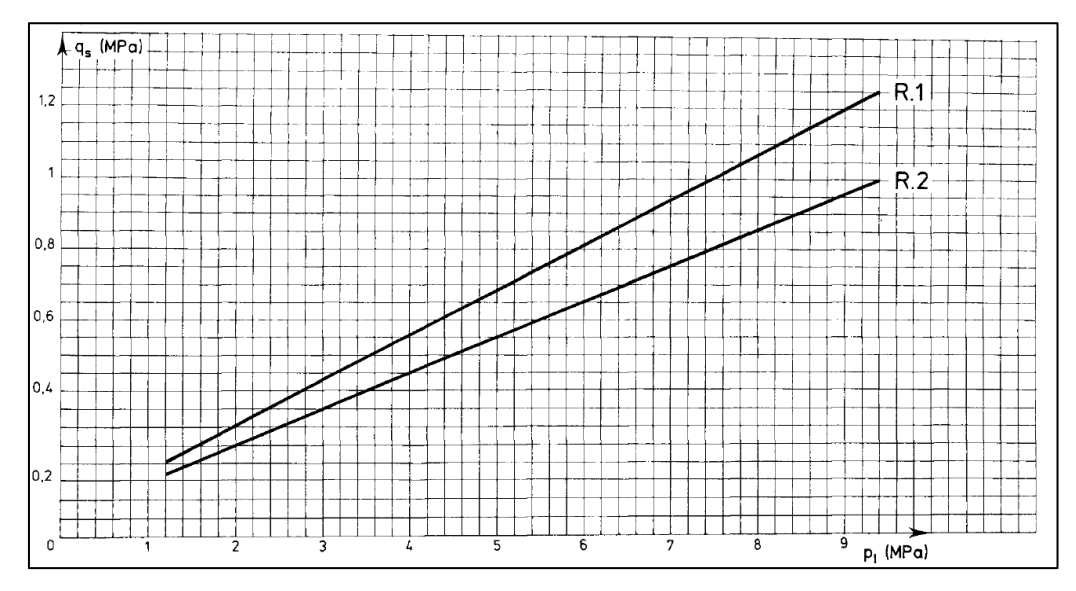


Figura 11 : Grafici per il calcolo di qs per rocce alterate e fratturate











TRATTO NODO DI AREZZO - SELCI - LAMA (E45) ADEGUAMENTO A QUATTRO CORSIE DEL TRATTO SAN ZENO - AREZZO - PALAZZO DEL PERO, LOTTO 1 (FI508)

#### OPERE PROVVISIONALI - ASSE PRINCIPALE - VIADOTTO VI.01

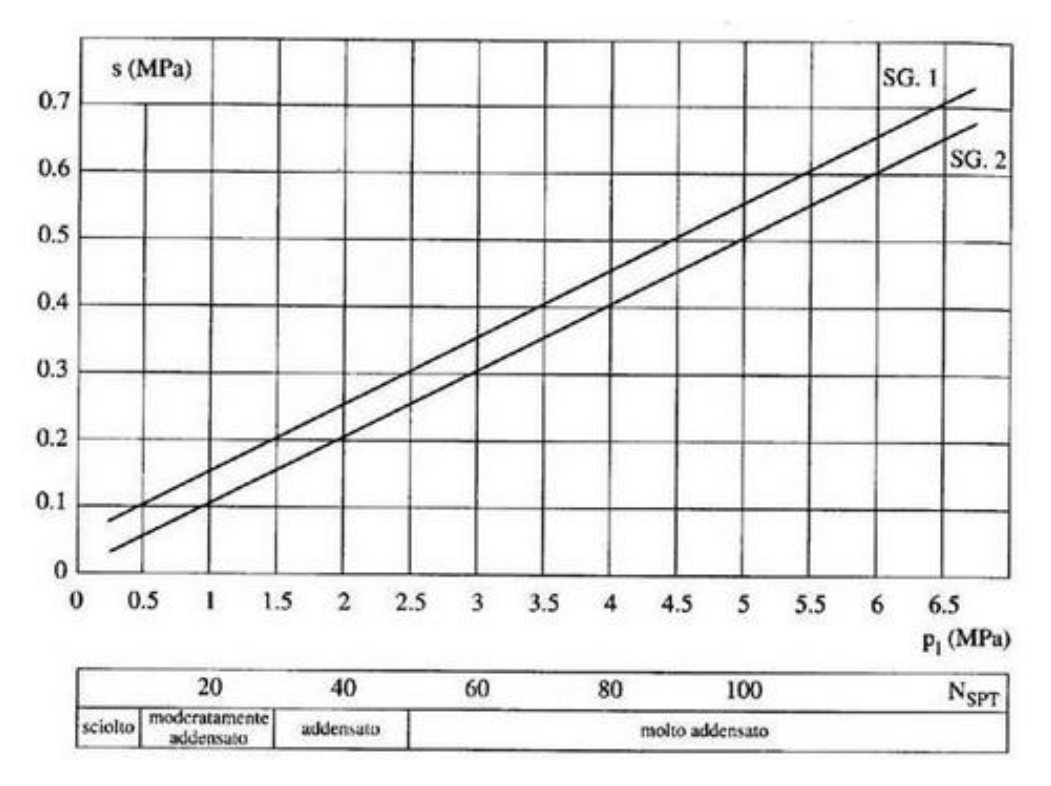


Figura 12 Grafici per il calcolo di qs per sabbie e ghiaie

La verifica di resistenza del tratto libero dei tiranti viene eseguita confrontando il tiro massimo di calcolo proveniente dall'analisi per ciascun ordine di tiranti con quello allo stato limite ultimo per i trefoli (verifica dell'armatura dei tiranti).

La verifica consiste nel soddisfare la seguente disuguaglianza:

$$T_d \le R_{pd}$$

### dove:

- $T_d$  = azione di calcolo;
- $R_{pd} = (A_s \times f_{p(1)k}) / (1.15) = resistenza ultima di progetto del tirante;$
- A<sub>s</sub> = area della sezione di armatura = n A<sub>t</sub>
- A<sub>t</sub> = area del singolo trefolo
- n = numero di trefoli
- $f_{p(1)k}$  = è la tensione caratteristica all'1% di deformazione totale (pari a 1670 MPa)











TRATTO NODO DI AREZZO - SELCI - LAMA (E45)

ADEGUAMENTO A QUATTRO CORSIE DEL TRATTO SAN ZENO - AREZZO - PALAZZO DEL PERO, LOTTO 1 (FI508)

OPERE PROVVISIONALI - ASSE PRINCIPALE - VIADOTTO VI.01

### 3.4.2. ACCIAIO DI ARMATURA

In condizioni ultime, lo sforzo massimo di trazione di calcolo P<sub>d</sub> ricavato dall'analisi, deve risultare non maggiore dello sforzo di snervamento di progetto dei tiranti Nyd ottenuto moltiplicando l'area totale At della sezione resistente per la tensione caratteristica di snervamento dell'acciaio f<sub>p(1)k</sub>, fattorizzata con il coefficiente parziale  $\gamma_s$ = 1.15, ovvero :

$$FS = \frac{f_{p(1)k}An_{tr}}{1.15.\,P_d} \ge 1.00$$

dove:

f<sub>p(1)k</sub> : trazione caratteristica dell'acciaio dei trefoli, all'1% di deformazione totale

: area di ciascun trefolo

: numero di trefoli per tirante  $n_{tr}$ 

### 3.4.3. VERIFICA DELLE TRAVI DI RIPARTIZIONE

La verifica delle travi di ripartizione è condotta con riferimento alle massime sollecitazioni di analisi relative alle combinazioni STR.

Ai fini del calcolo, ciascuna trave è caratterizzata da uno schema statico tipico di trave continua su più appoggi, sollecitata da un carico distribuito uniforme pari alla reazione del generico tirante Na diviso il relativo interasse i. In considerazione dello schema statico, la verifica dimensionante è quella fatta in prossimità del generico appoggio (tirante), in corrispondenza del quale, i profili costituenti la trave sono sollecitati a taglio e flessione.

A favore di sicurezza si considera la trave semplicemente appoggiata sulla luce di 3.00 metri, pari all'interasse dei tiranti.

#### 3.4.4. VERIFICA DEI MICROPALI

La verifica dei micropali è condotta analogamente alla verifica delle travi di ripartizione con riferimento alle massime sollecitazioni di Analisi relative alle combinazioni STR restituite dal programma di calcolo utilizzato.











ADEGUAMENTO A QUATTRO CORSIE DEL TRATTO SAN ZENO - AREZZO - PALAZZO DEL PERO, LOTTO 1 (FI508)

OPERE PROVVISIONALI - ASSE PRINCIPALE - VIADOTTO VI.01

# CARATTERISTICHE DELLA PARATIA

### 4.1. PARATIA IN MICROPALI

Le caratteristiche della paratia risultano le seguenti:

- micropali con perforazione verticale di diametro pari a \( \phi \) 300;
- lunghezza della palificata pari a metri 15.00 valutata a partire dall'estradosso del terreno di spinta di monte (approssimativamente la quota di estradosso del cordolo di sommità in calcestruzzo)
- interasse dei pali pari a 40 centimetri
- armatura tubolare realizzata con tubo di diametro esterno \( \phi \) 193.70 e spessore 10.00 millimetri
- modalità di riempimento del foro a gravità

A favore di sicurezza si trascura l'effetto della presenza del calcestruzzo ai fini della rigidezza e della resistenza del micropalo.

La maschera rappresentativa dei dati considerati nel calcolo è la seguente:

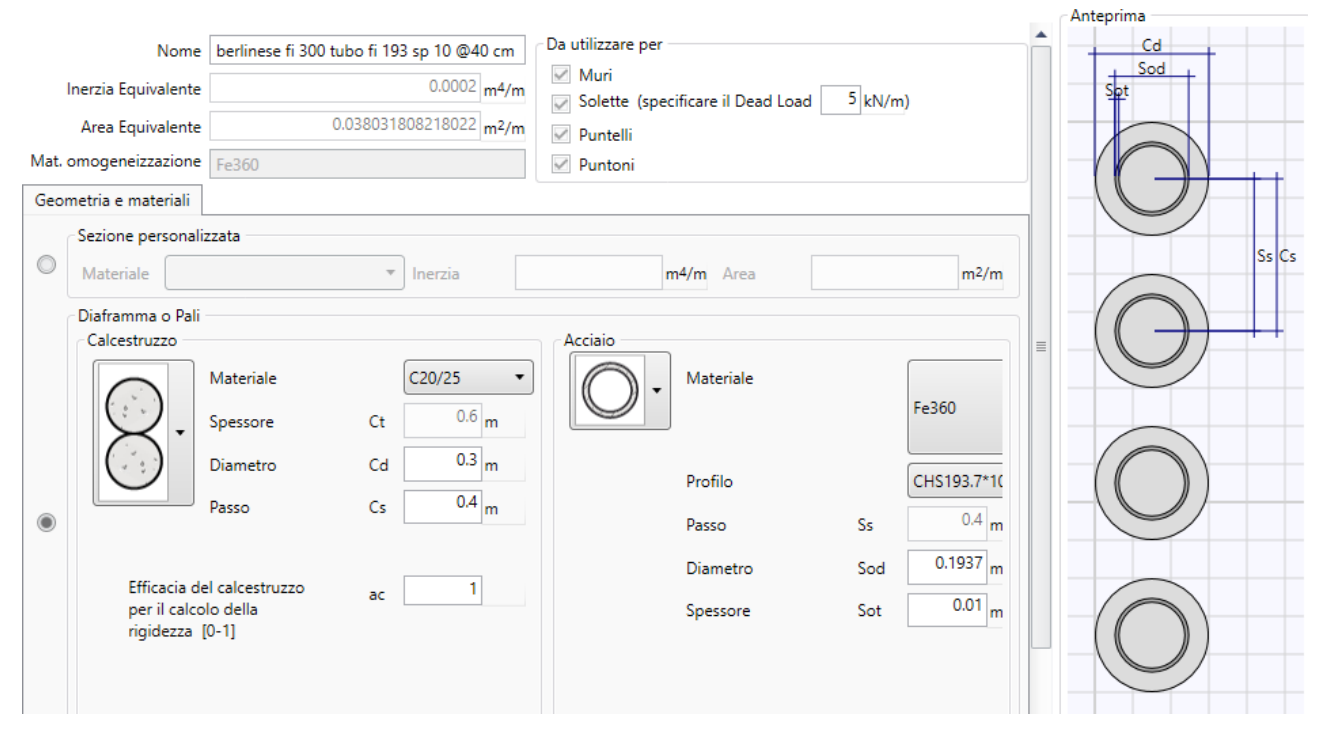


Figura 13: caratteristiche della paratia

### 4.2. TIRANTI DI ANCORAGGIO

Si prevede una duplice fila di tiranti di ancoraggio così costituiti:

Tirante a quota -1.50:

- tirante a 4 trefoli da 0.60"
- interasse dei tiranti pari a metri 3.00
- quota dell'asse della testa dei tiranti dalla sommità della paratia (quota di estradosso del terreno di monte) pari a metri 1.50
- inclinazione dei tiranti pari a 15° rispetto all'orizzontale
- lunghezza della parte passiva pari a 8.00 metri









ADEGUAMENTO A QUATTRO CORSIE DEL TRATTO SAN ZENO - AREZZO - PALAZZO DEL PERO, LOTTO 1 (FI508)

#### OPERE PROVVISIONALI - ASSE PRINCIPALE - VIADOTTO VI.01

- lunghezza della parte attiva pari a metri 12.00
- lunghezza complessiva del tirante pari a 20.00 metri
- tiro iniziale del tirante pari a 360 kN
- diametro della perforazione pari a \( \phi \) 240
- metodo di iniezione ripetuta e selettiva (IRS)

# Tirante a quota -4.00:

- tiranti a 4 trefoli da 0.60"
- interasse dei tiranti pari a metri 3.00
- quota dell'asse della testa dei tiranti dalla sommità della paratia (quota di estradosso del terreno di monte) pari a metri 4.00
- inclinazione dei tiranti pari a 15° rispetto all'orizzontale
- lunghezza della parte passiva pari a 6.00 metri
- lunghezza della parte attiva pari a metri 16.00
- lunghezza complessiva del tirante pari a 22.00 metri
- tiro iniziale del tirante pari a 450 kN
- diametro della perforazione pari a \( \phi \) 240
- metodo di iniezione ripetuta e selettiva (IRS)

# Tirante a quota -6.00:

- tiranti a 4 trefoli da 0.60"
- interasse dei tiranti pari a metri 3.00
- quota dell'asse della testa dei tiranti dalla sommità della paratia (quota di estradosso del terreno di monte) pari a metri 4.00
- inclinazione dei tiranti pari a 15° rispetto all'orizzontale
- lunghezza della parte passiva pari a 6.00 metri
- lunghezza della parte attiva pari a metri 16.00
- lunghezza complessiva del tirante pari a 22.00 metri
- tiro iniziale del tirante pari a 500 kN
- diametro della perforazione pari a \( \phi \) 240
- metodo di iniezione ripetuta e selettiva (IRS)

I valori delle lunghezze libere dei tiranti, determinate in fase statica mediante costruzione geometrica al fine di garantire l'ancoraggio al di fuori del cuneo di spinta attivo, sono stati incrementati per tener conto della fase sismica secondo l'espressione:

Le=Ls (1+1.5amax/g)

[NTC2018 par.7.11.6.4]

### La maschera rappresentativa dei dati considerati nel calcolo è la seguente :

Lista tiranti											
Nome	Muro	Z [m]	Sezione	L. Libera [m]	L. Bulbo (Lfix) [m]	Bulbo deformabile [%]	Diametro Perforazione [m]	Angolo [°]	Passo orizz. [m]	Precarico [kN]	Aderenza Personalizzata
fila tirante 1	LEFT	-1.50	tirante 4 trefoli	8.00	12.00	50	0.24	15.00	3	360	No
fila tirante 2	LEFT	-4.00	tirante 4 trefoli	6.00	16.00	50	0.24	15.00	3	360	No
fila tirante 3	LEFT	-6.50	tirante 4 trefoli	6.00	16.00	50	0.24	15.00	3	360	No











ADEGUAMENTO A QUATTRO CORSIE DEL TRATTO SAN ZENO – AREZZO – PALAZZO DEL PERO, LOTTO 1 (FI508)

#### OPERE PROVVISIONALI - ASSE PRINCIPALE - VIADOTTO VI.01

Metodo di Iniezione	Alpha	Qskin [kPa]	Vincolo Permanente	Comportamento Plastico	Carico Ultimo [kN]	Connetti a nodo slave	Connetti a trave di ripartizione	Nome Trave di Ripartizione	Sezione Trave di Ripartizione
IRS ▼	1	150	No	No		No	Si	trave fila 1	DOUBLE HE 200A MAT. S275 ▼
IRS ▼	1	150	No	No	·	No	Si	trave fila 2	DOUBLE HE 200A MAT. S275 ▼
IRS ▼	1	150	No	No		No	Si	trave fila 3	DOUBLE HE 200A MAT. S275 ▼

Figura 14 : caratteristiche dei tiranti

### 4.3. TRAVE DI CONTRASTO

Come trave di contrasto si adotta un profilo in acciaio costituito da nr. 2 travi HEA 200 in acciaio S275 accoppiate, adequatamente collegate da calastrelli e con piastre dotate di cunei in corrispondenza delle testate per compensare l'inclinazione del tirante.

A favore di sicurezza si è considerato un vincolo di semplice appoggio in corrispondenza delle estremità del campo da 3.00 metri relativo all'interasse dei tiranti.

# 5. ANALISI DEI CARICHI E DEI SOVRACCARICHI

Al fini del calcolo sono state considerate le sollecitazioni dovute alla spinta dei terreni, secondo la formulazione proposta da Paratie in condizioni di comportamento elasto plastico.

### 5.1. PRESENZA DI FALDA

Sulla base di quanto indicato nella descrizione geologica e geotecnica del sito, si considera la falda attestata ad una profondità inferiore al piede della palificata e pertanto non significativa ai fini del calcolo.

# 6. CODICI DI CALCOLO

Il calcolo e la verifica delle delle opere in esame sono stati condotti con l'ausilio del software PARATIE PLUS 23.06, distribuito da CeAS s.r.l. di Milano; per le verifiche di stabilità globale si è utilizzato il modulo aggiuntivo "VSP".

# 7. CALCOLO DELLA STRUTTURA

#### 7.1. FASI DI LAVORO

Il calcolo viene condotto in condizioni non lineari agli elementi finiti dell'interazione terreno struttura è stato effettuato passo per passo, considerando la seguente successione di fasi di calcolo (tutte le quote espresse sono relative e riferite alla testa della paratia) :

- 1. Preparazione del piano di imposta dei pali (quota 0.00 metri) e realizzazione dei pali costituenti la paratia
- 2. Scavo a quota -2.00 metri dal p.c.
- 3. Realizzazione del primo ordine di tiranti
- 4. Scavo a quota -4.50 metri dal p.c.
- 5. Realizzazione del secondo ordine di tiranti
- 6. Successivo scavo a quota -7.00 metri dal p.c.











ADEGUAMENTO A QUATTRO CORSIE DEL TRATTO SAN ZENO - AREZZO - PALAZZO DEL PERO, LOTTO 1 (FI508)

#### OPERE PROVVISIONALI - ASSE PRINCIPALE - VIADOTTO VI.01

- 7. Realizzazione del terzo ordine di tiranti
- 8. Scavo definitivo a quota -8.00 metri dal p.c.
- 9. Approfondimento di scavo pari a circa 0.50 metri rispetto alla quota finita minima di esercizio dell'opera

Nel seguito si riportano gli schemi utilizzati nel calcolo rappresentativi delle fasi precedentemente descritte:

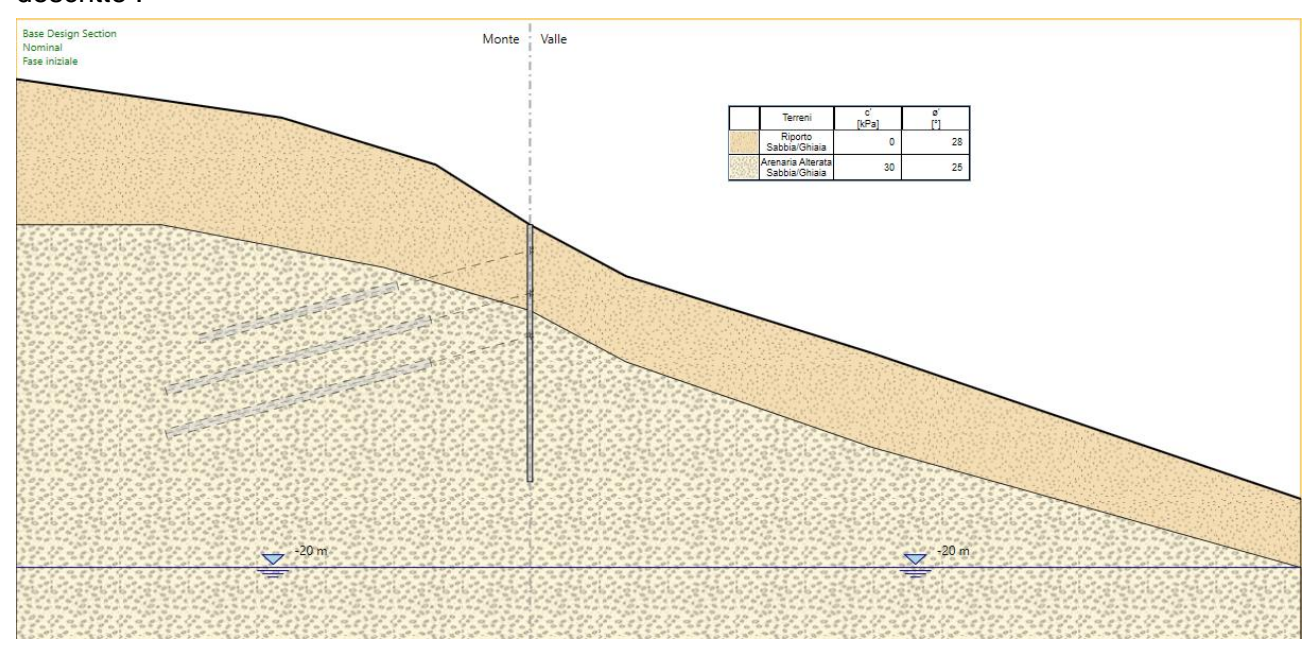


Figura 15 : fase di calcolo nr. 1

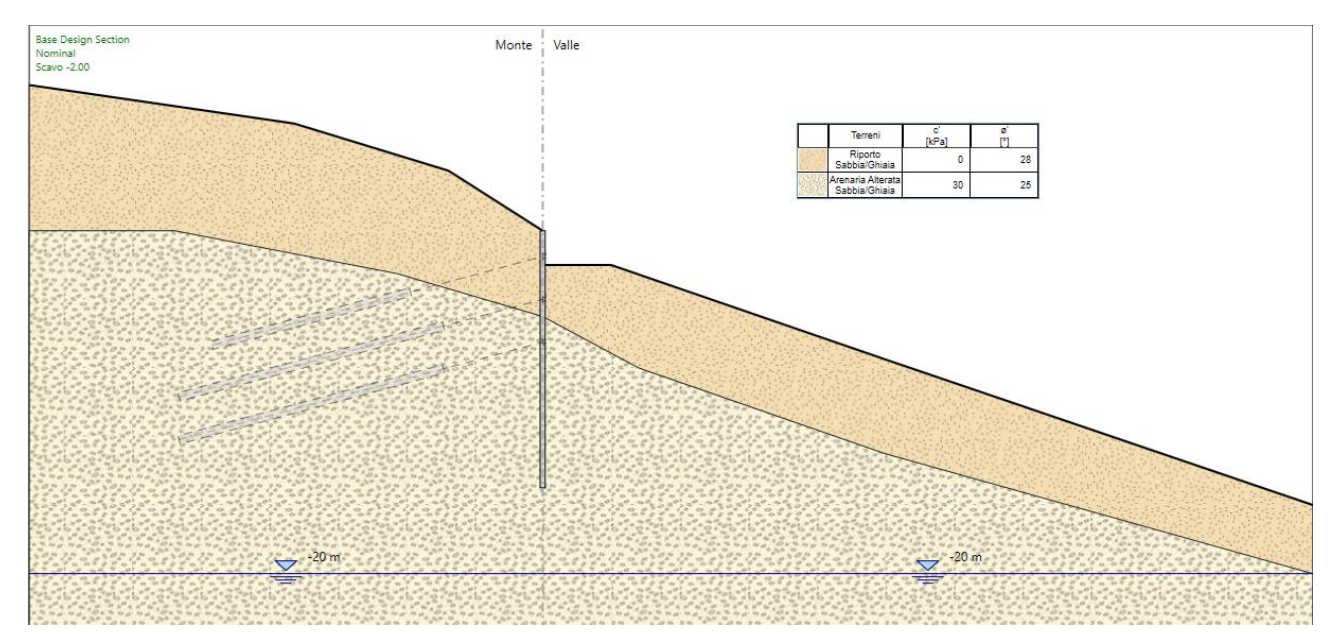


Figura 16 : fase di calcolo nr. 2













ADEGUAMENTO A QUATTRO CORSIE DEL TRATTO SAN ZENO – AREZZO – PALAZZO DEL PERO, LOTTO 1 (FI508)

### OPERE PROVVISIONALI - ASSE PRINCIPALE - VIADOTTO VI.01

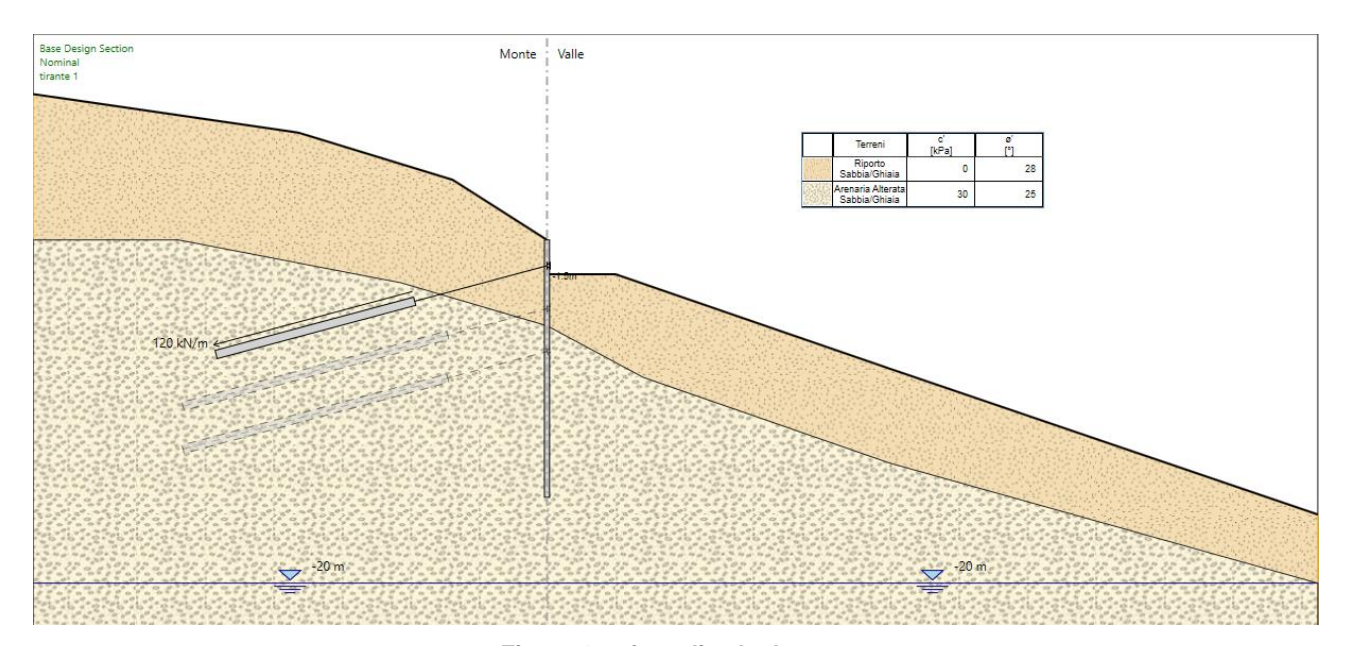


Figura 17 : fase di calcolo nr. 3

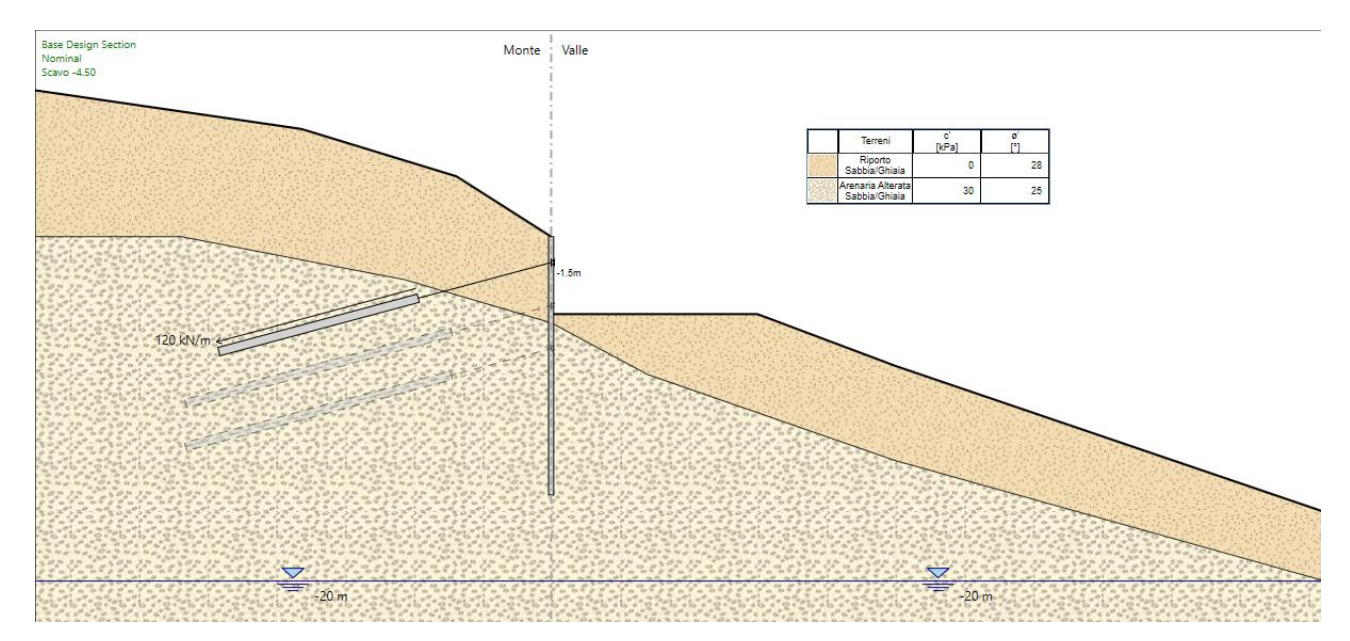


Figura 18 : fase di calcolo nr. 4











ADEGUAMENTO A QUATTRO CORSIE DEL TRATTO SAN ZENO – AREZZO – PALAZZO DEL PERO, LOTTO 1 (FI508)

### OPERE PROVVISIONALI - ASSE PRINCIPALE - VIADOTTO VI.01

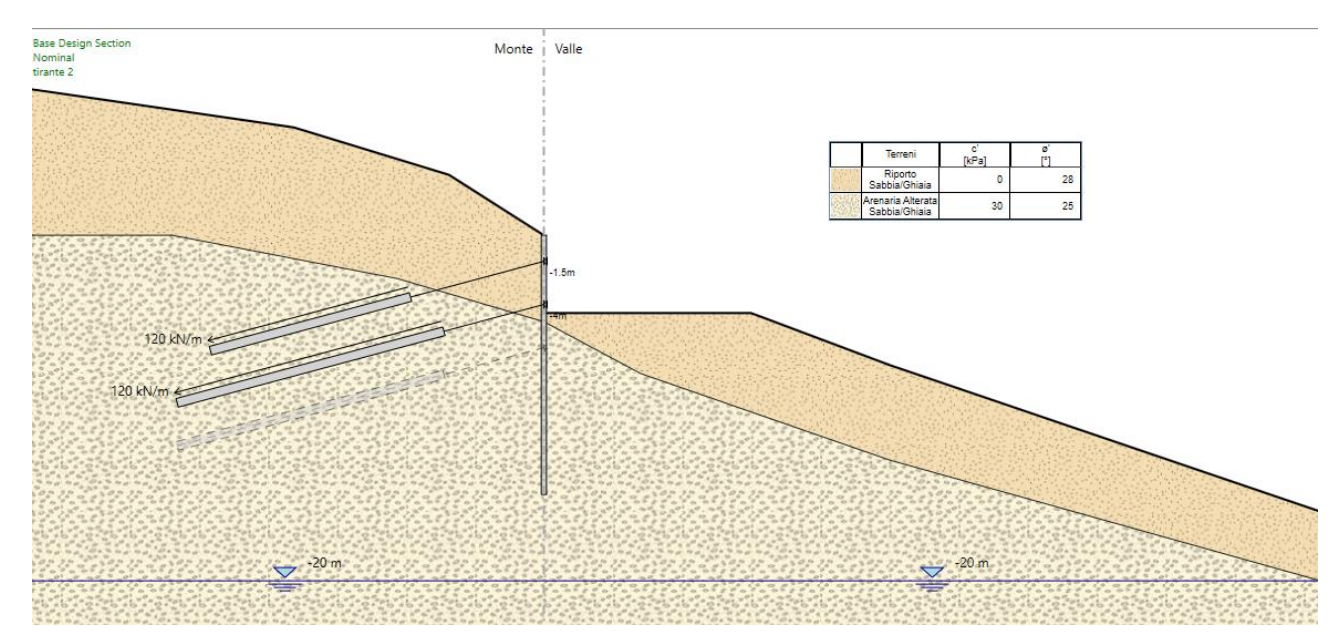


Figura 19 : fase di calcolo nr. 5

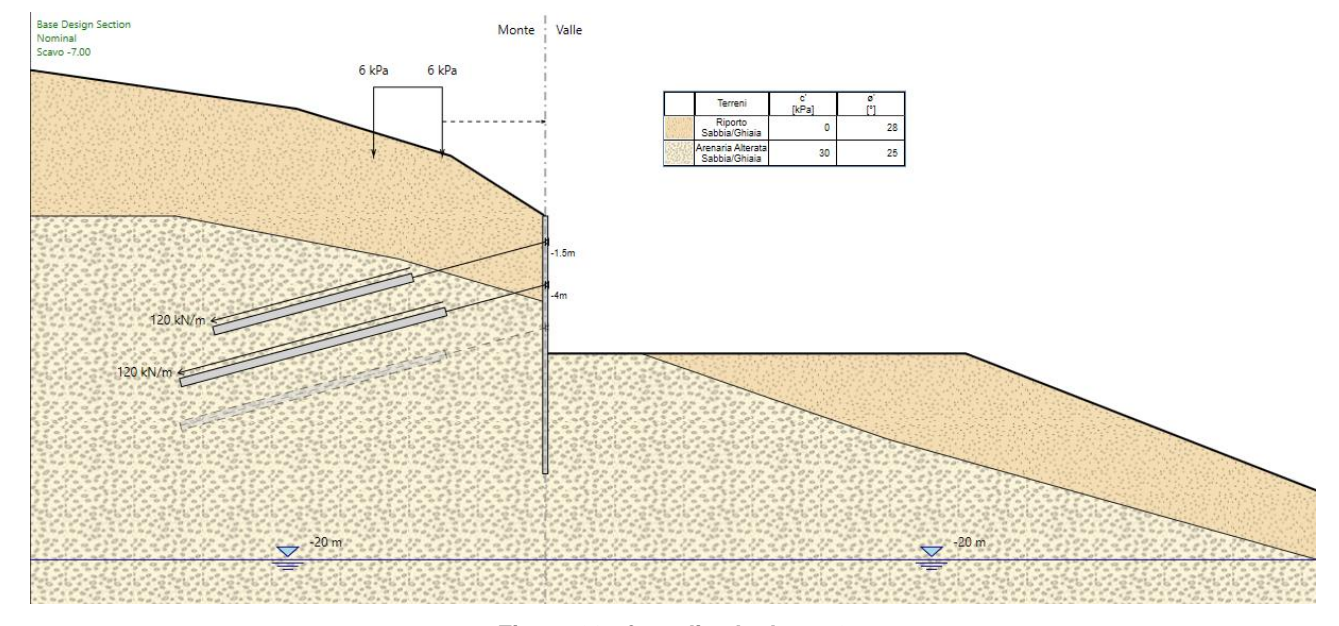


Figura 20 : fase di calcolo nr. 6











ADEGUAMENTO A QUATTRO CORSIE DEL TRATTO SAN ZENO – AREZZO – PALAZZO DEL PERO, LOTTO 1 (FI508)

### OPERE PROVVISIONALI - ASSE PRINCIPALE - VIADOTTO VI.01

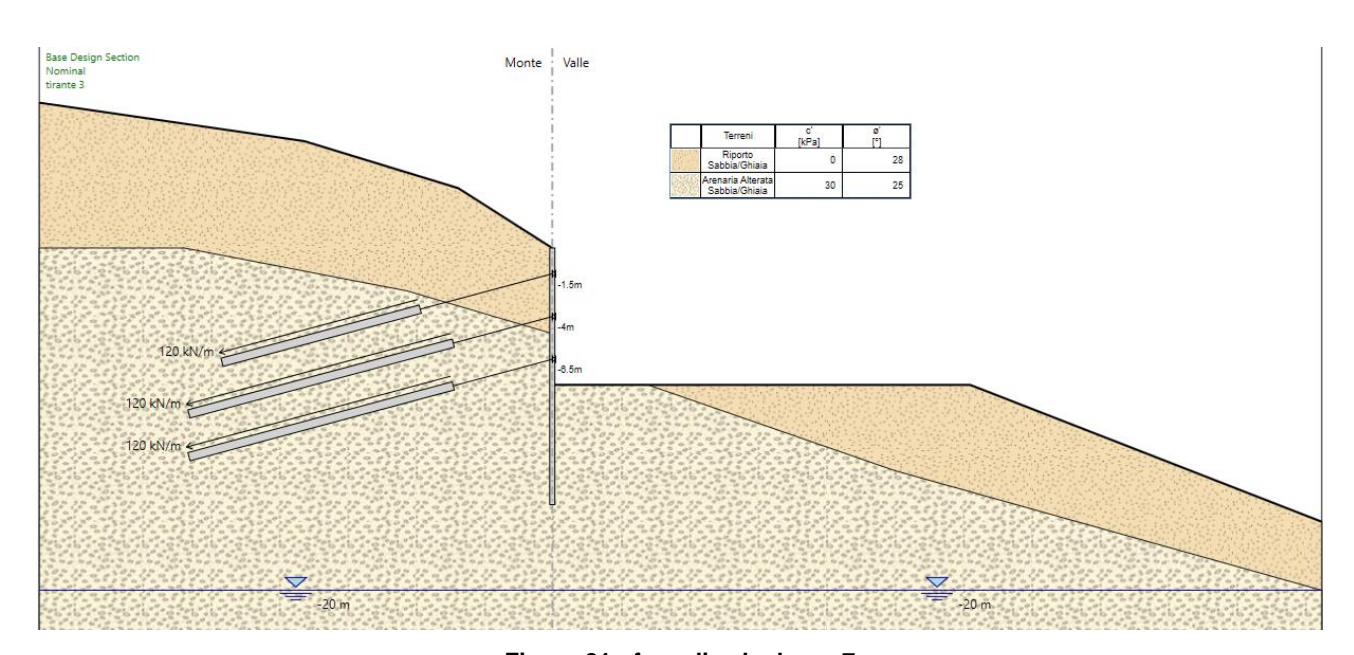


Figura 21 : fase di calcolo nr. 7

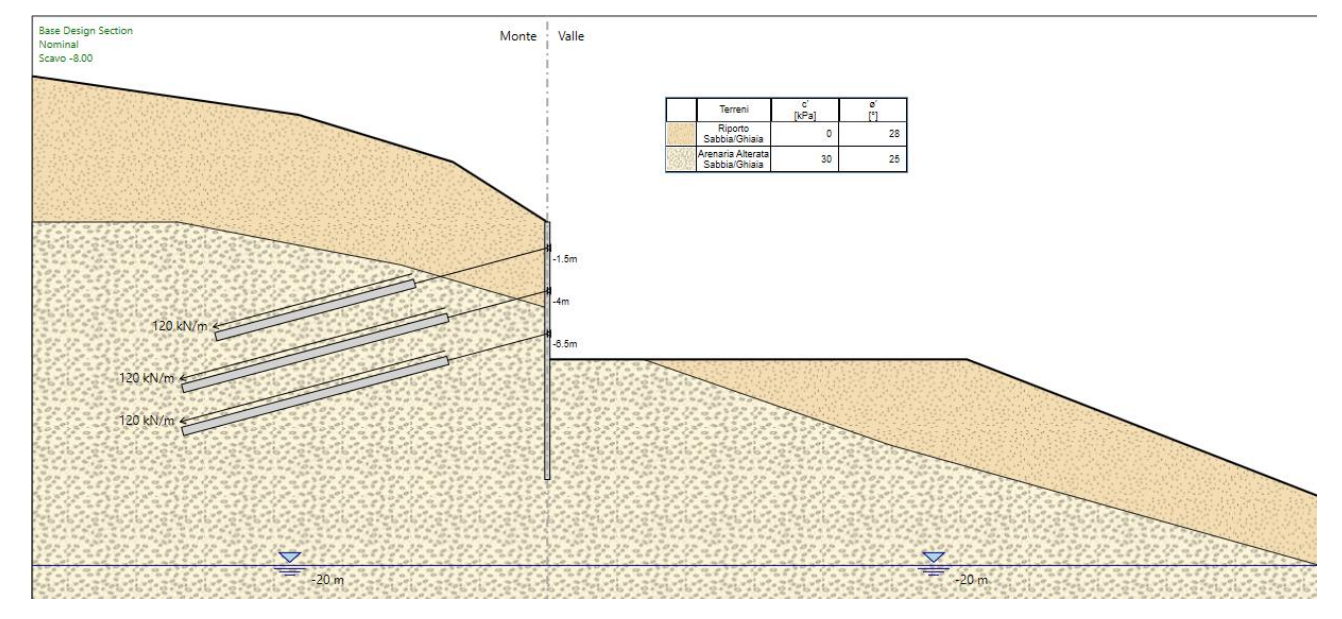


Figura 22 : fase di calcolo nr. 8











### E78 GROSSETO – FANO Tratto Nodo di Arezzo – Selci – Lama (E45)

ADEGUAMENTO A QUATTRO CORSIE DEL TRATTO SAN ZENO - AREZZO - PALAZZO DEL PERO, LOTTO 1 (FI508)

#### OPERE PROVVISIONALI - ASSE PRINCIPALE - VIADOTTO VI.01

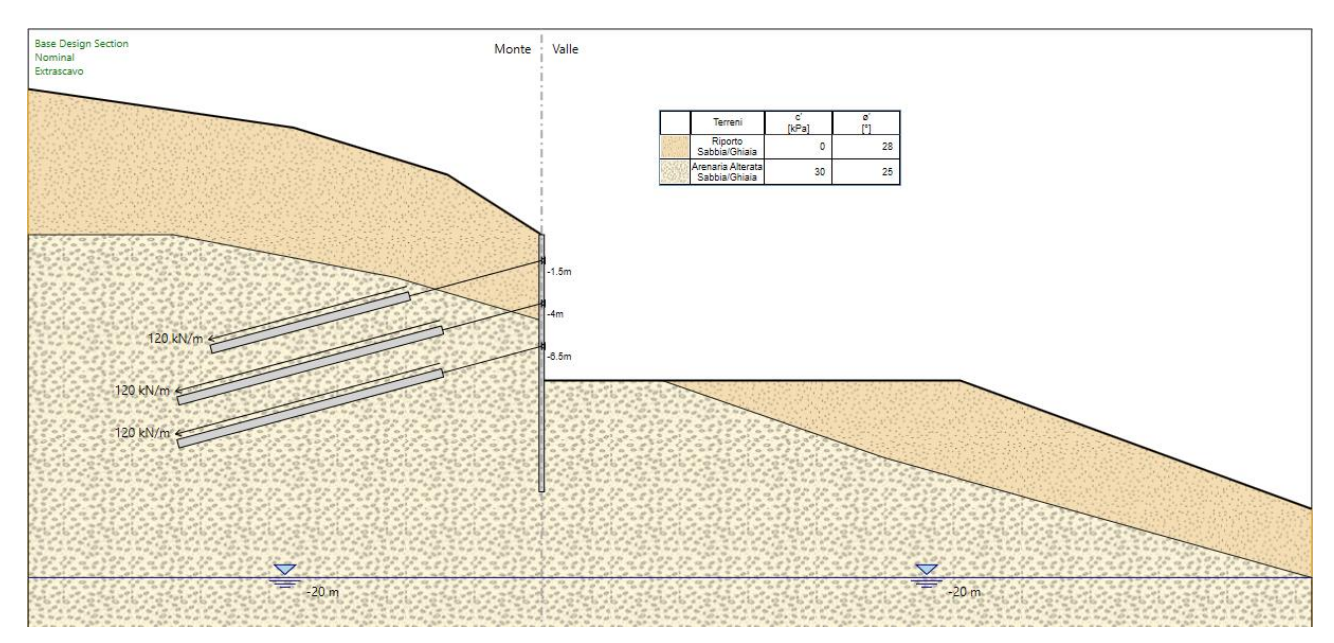


Figura 23 : fase di calcolo nr. 9

La condizione di extrascavo, prescritto al punto 6.5.2.2 delle NTC2018 e valutato pari a circa 0.50 metri, supeirore al valore del 10% della differenza di quota fra il livello inferiore di vincolo e il fondo scavo medio nella palificata, ed è stato considerata compresa all'interno della suddetta assunzione di calcolo (fase 9).

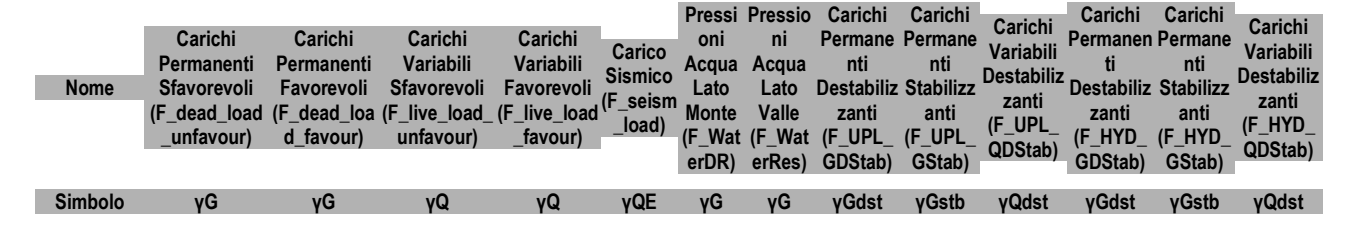
#### 7.2. COMBINAZIONI DI CARICO

Le verifiche geotecniche e strutturali sono state condotte considerando le seguenti combinazione, di carattere generale ed in accordo con la Norma:

- SLE RARE (deformazioni);
- SLU A1 + M1 + R1 (verifiche strutturali);
- SLU A1 + M1 + R3 (verifica a sfilamento dei tiranti);
- SLU A2 + M2 + R1 (verifiche geotecniche);
- SLU A2 + M2 + R2 (verifica di stabilità globale);

Nel seguito si riporta la matrice delle combinazioni assunte :

#### Coefficienti A













ADEGUAMENTO A QUATTRO CORSIE DEL TRATTO SAN ZENO – AREZZO – PALAZZO DEL PERO, LOTTO 1 (FI508)

### OPERE PROVVISIONALI - ASSE PRINCIPALE - VIADOTTO VI.01

Nome	Carichi Permanenti Sfavorevoli (F_dead_load _unfavour)	Carichi Permanenti Favorevoli (F_dead_loa d_favour)	Carichi Variabili Sfavorevoli (F_live_load_ unfavour)	Carichi Variabili Favorevoli (F_live_load _favour)	Carico Sismico (F_seism _load)	oni Acqua Lato Monte	Pressio ni Acqua Lato Valle (F_Wat erRes)	Permane nti Destabiliz zanti	Carichi Permane nti Stabilizz anti (F_UPL_ GStab)	Variabili	zanti	nti	Carichi Variabili Destabiliz zanti (F_HYD_ QDStab)
Simbolo	γG	γG	γQ	γQ	γQE	γG	γG	γGdst	γGstb	γQdst	γGdst	γGstb	γQdst
Nominal	1	1	1	1	1	1	1	1	1	1	1	1	1
NTC2018: SLE (Rara/Freque nte/Quasi Permanente)	1	1	1	1	0	1	1	1	1	1	1	1	1
NTC2018: A1+M1+R1 (R3 per tiranti)	1.3	1	1.5	1	0	1.3	1	1	1	1	1.3	0.9	1
NTC2018: A2+M2+R1	1	1	1.3	1	0	1	1	1	1	1	1.3	0.9	1
NTC2018: SISMICA STR	1	1	1	1	1	1	1	1	1	1	1	1	1
NTC2018: SISMICA GEO	1	1	1	1	1	1	1	1	1	1	1.3	0.9	1

# Coefficienti M

Nome	Parziale su tan(ø') (F_Fr)	Parziale su c' (F_eff_cohe)	Parziale su Su (F_Su)	Parziale su qu (F_qu)	Parziale su peso specifico (F_gamma)
Simbolo	γφ	үс	γcu	Гqu	Гү
Nominal	1	1	1	1	1
NTC2018: SLE (Rara/Frequente/Quasi Permanente)	1	1	1	1	1
NTC2018: A1+M1+R1 (R3 per tiranti)	1	1	1	1	1
NTC2018: A2+M2+R1	1.25	1.25	1.4	1	1
NTC2018: SISMICA STR	1	1	1	1	1
NTC2018: SISMICA GEO	1	1	1	1	1

# Coefficienti R

Nome	Parziale resistenza terreno (es. Kp) (F_Soil_Res_walls)	Parziale resistenza Tiranti permanenti (F_Anch_P)	Parziale resistenza Tiranti temporanei (F_Anch_T)	Parziale elementi strutturali (F_wall)
Simbolo	γRe	үар	Гат	
Nominal	1	1	1	1
NTC2018: SLE (Rara/Frequente/Quasi Permanente)	1	1	1	1
NTC2018: A1+M1+R1 (R3 per tiranti)	1	1.2	1.1	1
NTC2018: A2+M2+R1	1	1.2	1.1	1
NTC2018: SISMICA STR	1	1.2	1.1	1
NTC2018: SISMICA GEO	1	1.2	1.1	1











ADEGUAMENTO A QUATTRO CORSIE DEL TRATTO SAN ZENO - AREZZO - PALAZZO DEL PERO, LOTTO 1 (FI508)

OPERE PROVVISIONALI - ASSE PRINCIPALE - VIADOTTO VI.01

# 8. RISULTATI OTTENUTI

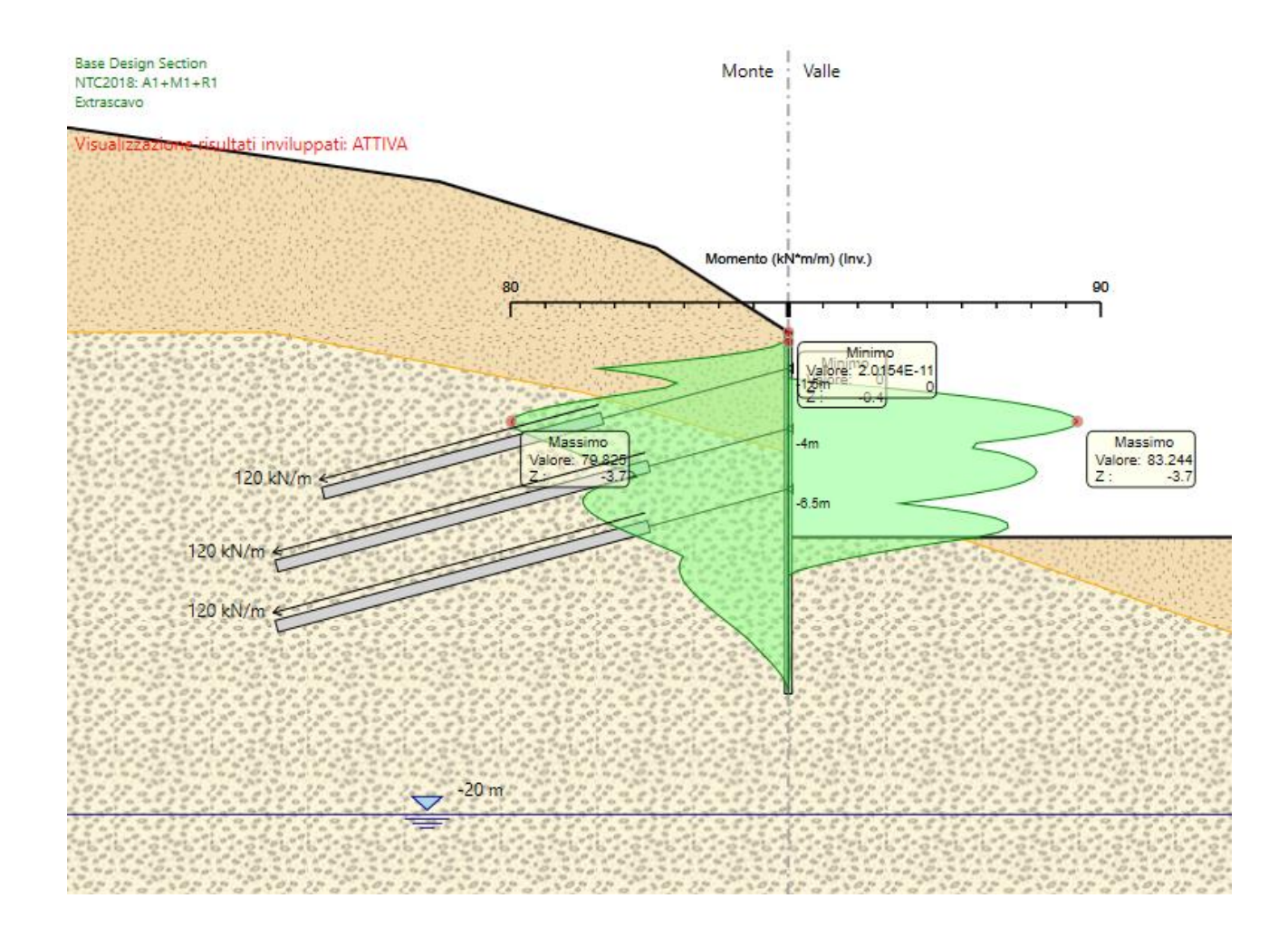
Le fasi operative di analisi precedentemente riportate, sono state calcolate in maniera ripetuta per le diverse combinazioni di carico precedentemente viste.

Si riportano, di seguito, i risultati delle analisi numeriche condotte sulla paratia. I calcoli sono stati effettuati con l'ausilio del programma Paratie Plus 23.0.6 di Ce.A.S s.r.l..

### **8.1. VERIFICHE STRUTTURALI PALI**

Si riportano i grafici delle varie sollecitazioni ottenuti dal programma di calcolo per le combinazioni strutturali in condizioni statiche e sismiche.

Si riportano i grafici delle varie sollecitazioni ottenuti dal programma di calcolo per le combinazioni strutturali in condizioni statiche e sismiche.













ADEGUAMENTO A QUATTRO CORSIE DEL TRATTO SAN ZENO - AREZZO - PALAZZO DEL PERO, LOTTO 1 (FI508)

#### OPERE PROVVISIONALI - ASSE PRINCIPALE - VIADOTTO VI.01

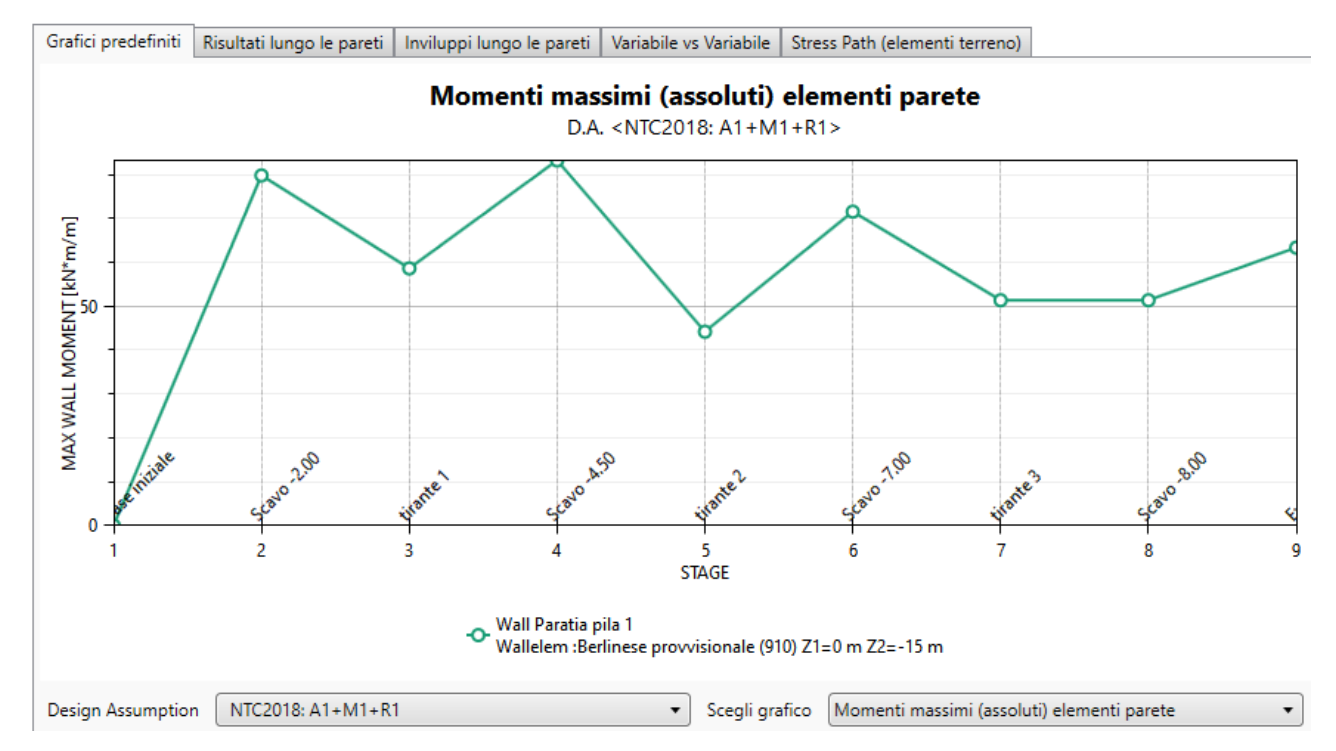


Figura 24: inviluppo del momento flettente per la combinazione A1+M1+R1 per gli step da 1 a 10 (scavo completato + extrascavo)











ADEGUAMENTO A QUATTRO CORSIE DEL TRATTO SAN ZENO - AREZZO - PALAZZO DEL PERO, LOTTO 1 (FI508)

#### OPERE PROVVISIONALI - ASSE PRINCIPALE - VIADOTTO VI.01

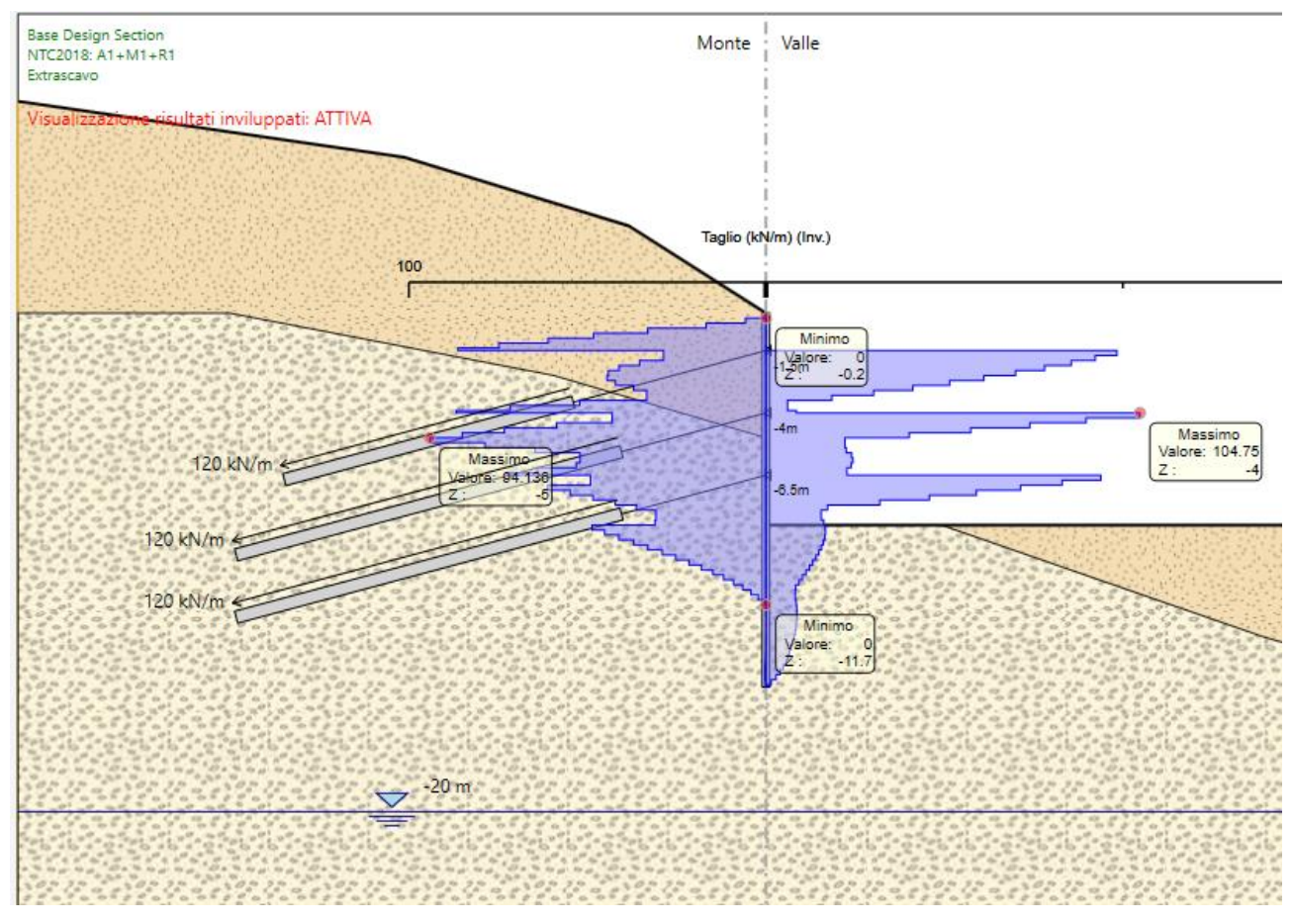


Figura 25: inviluppo dello sforzo di taglio per la combinazione A1+M1+R1 per gli step da 1 a 10 (scavo completato + extrascavo)

A metro lineare, le massime sollecitazioni di calcolo sono pari a :

 $M_d = 83.24 \text{ kNm/m} (A1+M1+R1-\text{step 4})$ 

 $V_d = 104.76 \text{ kN/m} (A1+M1+R1-\text{step 6})$ 

Sul singolo micropalo (interasse 0.40 m):

 $M_d = 33.29 \text{ kNm}$ 

 $V_d = 41.90 \text{ kN}$ 

# **VERIFICA DELL'ARMATURA TUBOLARE**

I micropali sono dotati di una armatura tubolare realizzata con tubo di diametro esterno \( \phi \) 193.70 e spessore 10.00 millimetri

Allo stato limite ultimo le sollecitazioni flettenti e di azione tagliante massime ricavato dagli inviluppi delle sollecitazioni risultano:

 $M_d = 33.29 \text{ kNm}$ 

 $V_d = 41.90 \text{ kN}$ 

A favore di sicurezza tali valori si considerano sincroni sulla medesima sezione trasversale.











ADEGUAMENTO A QUATTRO CORSIE DEL TRATTO SAN ZENO – AREZZO – PALAZZO DEL PERO, LOTTO 1 (FI508)

OPERE PROVVISIONALI - ASSE PRINCIPALE - VIADOTTO VI.01

I parametri di resistenza risultano i seguenti :

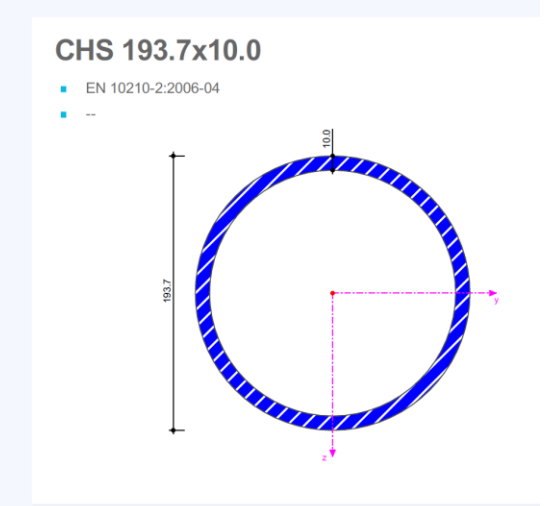




# Proprietà della sezione trasversale

# CHS 193.7x10.0

Geometria			
Diametro	d	193.7	mm
Spessore	t	10.0	mm
Area della sezione			
Area della sezione	Α	57.70	cm <sup>2</sup>
Flessione			
Area moment of inertia about y-axis	l <sub>y</sub>	2442.00	cm <sup>4</sup>
Polar area moment of inertia	Ip	4884.00	cm <sup>4</sup>
Raggio di inerzia intorno all'asse y	i <sub>y</sub>	65.0	mm
Raggio di inerzia polare	ip	91.9	mm
Momento statico intorno all'asse y	max S <sub>y</sub>	83.24	cm <sup>3</sup>
Modulo di resistenza elastico intorno all'asse y	Wy	252.00	cm <sup>3</sup>
Taglio			
Area di taglio in direzione y	Ay	29.33	cm <sup>2</sup>
Torsione			
Costante torsionale	It	4883.00	cm <sup>4</sup>
Costante torsionale (St. Venant)	I <sub>t,StVen</sub>	15.62	cm <sup>4</sup>
Costante torsionale (Bredt)	I <sub>t,Bredt</sub>	4867.38	cm <sup>4</sup>
Modulo di resistenza per torsione	Wt	504.00	cm <sup>3</sup>
Plasticità			
Modulo di resistenza plastico intorno all'asse y	$W_{pl,y}$	338.00	cm <sup>3</sup>
Coeff. di forma plastico intorno all'asse y	$\alpha_{\text{pl,y}}$	1.341	
Area di taglio plastica in direzione y	A <sub>pl,y</sub>	36.74	cm <sup>2</sup>
Forza normale plastica limite	N <sub>pl</sub>	1356.365	kN
Plastic limiting shear force in y-direction	$V_{pl,y}$	498.478	kN
Plastic limiting bending moment about y-axis	$M_{\text{pl},y}$	79.33	kNm
Altri			
Peso	G	45.3	kg/m
Area superficie per unità di lunghezza	A <sub>m</sub>	0.609	m²/m
Volume	V	5770.00	cm <sup>3</sup> /m
Coefficiente della sezione	A <sub>m</sub> /V	105.546	1/m
Coomolorito dolla coziono			



La tensione dell'acciaio risulta pertanto la seguente :











ADEGUAMENTO A QUATTRO CORSIE DEL TRATTO SAN ZENO - AREZZO - PALAZZO DEL PERO, LOTTO 1 (FI508)

OPERE PROVVISIONALI - ASSE PRINCIPALE - VIADOTTO VI.01

per azione flessionale:

$$\sigma_{Md} = \frac{33.29x1000}{252.00} = 137.56 \text{ MPa}$$

Per azione di taglio:

$$\tau_{Vd} = 2.00x \frac{41.90}{57.70} x10 = 14.52 \text{ MPa}$$

La tensione ideale risulta:

$$\sigma_{idD} = \sqrt{137.56^2 + 3~x~14.52^2} = 139.87~\text{Mpa} < f_{\text{yd}} = f_{\text{yk}}/~\gamma_{\text{M0}} = 355~/~1.05 = 338~\text{N/mmq (MPa)}$$

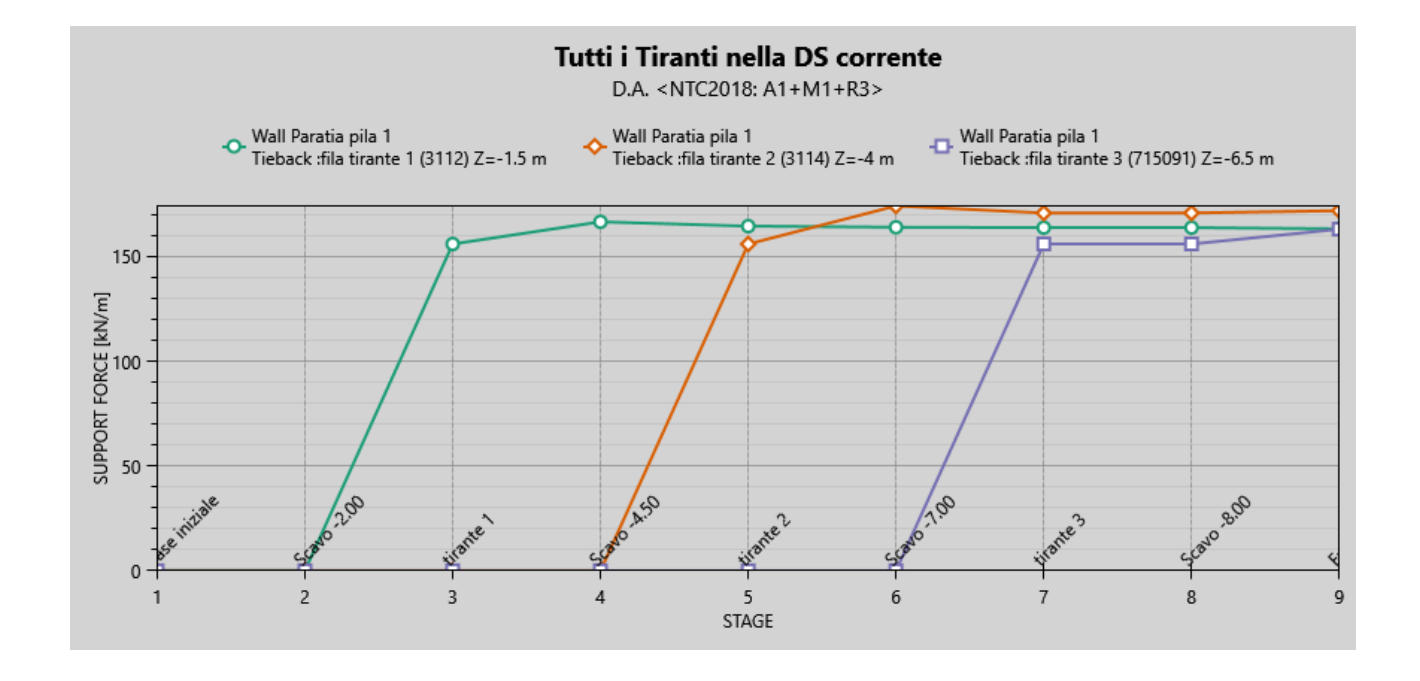
La verifica è soddisfatta.

### **8.2. VERIFICHE TIRANTI**

Si riporta un prospetto riassuntivo dei tiranti per le combinazioni :

A1+M1+R3

A2+M2+R1





GESTIONE PROGETTI INGEGNERIA srl



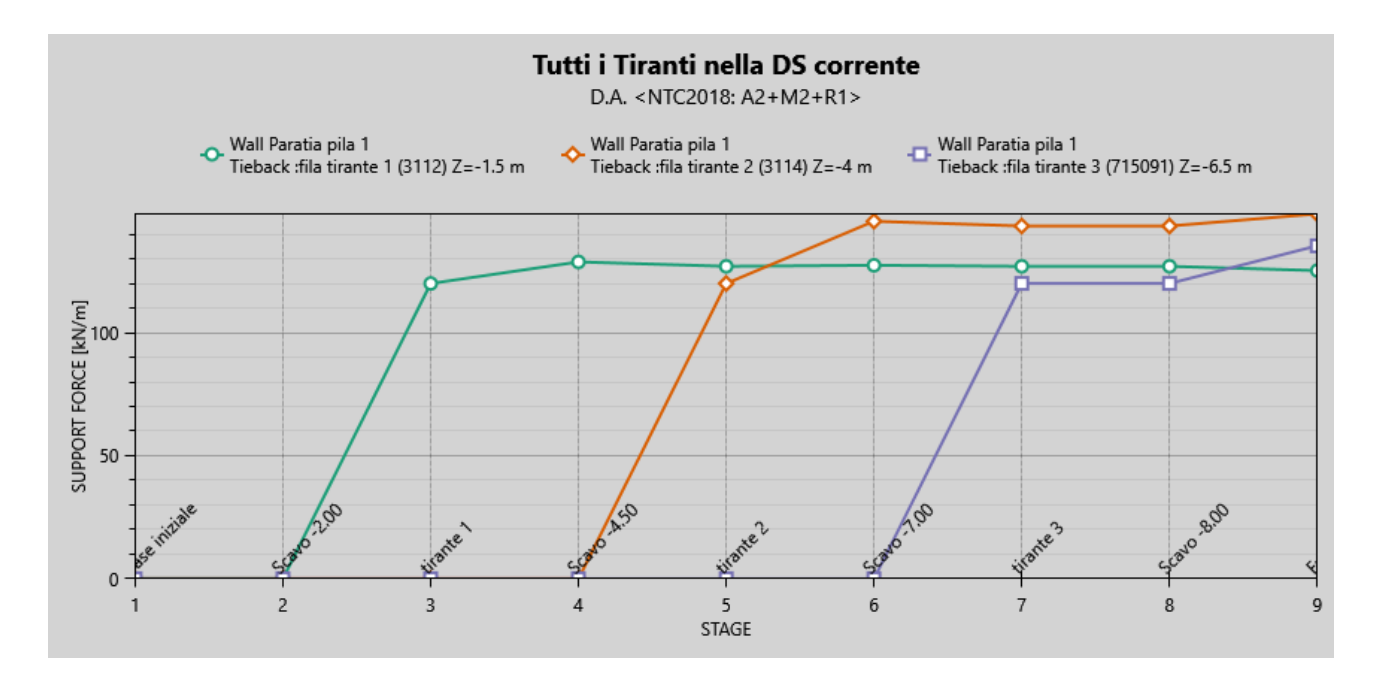






ADEGUAMENTO A QUATTRO CORSIE DEL TRATTO SAN ZENO – AREZZO – PALAZZO DEL PERO, LOTTO 1 (FI508)

#### OPERE PROVVISIONALI - ASSE PRINCIPALE - VIADOTTO VI.01



Nel segunete schema si riassumono i casi considerati :

ordine	Distanza dalla testa del palo [m]	Interasse [m]	nr. trefoli	α [°]		N <sub>ml</sub> [kN/m]	N <sub>max</sub> [kN]	L <sub>∟</sub> [m]	L <sub>A</sub> [m]	L <sub>tot</sub> [m]	φ <sub>ρ</sub> (mm)
Fila 1	1.50	3.00	4	15	360	166.6	499.80	8.00	12.00	20.00	240
Fila 2	4.00	3.00	4	15	360	174.21	522.63	6.00	16.00	22.00	240
Fila 3	6.50	3.00	4	15	360	163.09	489.26	6.00	16.00	22.00	240

Figura 26: tabella riassuntiva caratteristiche dei tiranti e sollecitazioni agenti

# dove:

i = interasse della fila di tiranti;

 $\alpha$  = angolo di inclinazione rispetto al piano orizzontale;

 $N_0$  = pretensione iniziale;

N<sub>ml</sub> = massima sollecitazione nel tirante a metro lineare;

 $N_{max}$  = massima sollecitazione nel tirante;

 $L_L$  = lunghezza libera;

L<sub>A</sub> = lunghezza del bulbo di ancoraggio

 $\phi_p$  = diametro di perforazione.

La lunghezza libera di ancoraggio in condizioni sismiche deve risultare almeno pari a quanto si desume dal seguente schema :





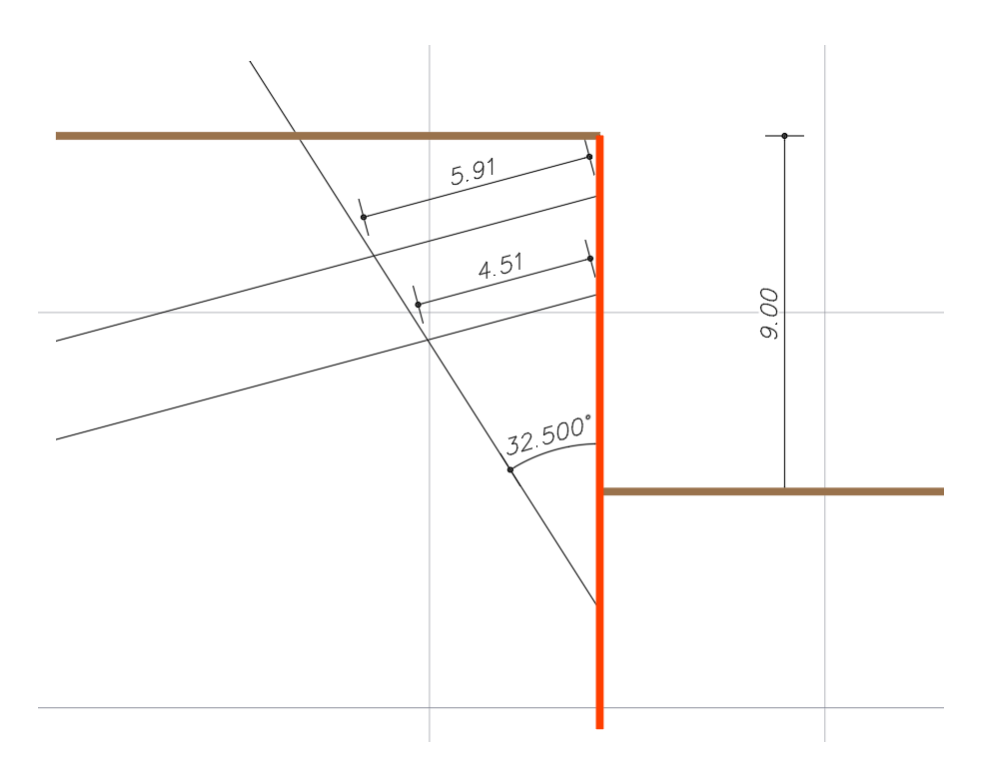






ADEGUAMENTO A QUATTRO CORSIE DEL TRATTO SAN ZENO – AREZZO – PALAZZO DEL PERO, LOTTO 1 (FI508)

OPERE PROVVISIONALI - ASSE PRINCIPALE - VIADOTTO VI.01



Si è verificata quindi la lunghezza libera pari a 8.00 metri per la fila 1 e pari a 6.00 metri per la fila 2.

La massima sollecitazione di tiro la si ha per la fila 2 nello step 6, per la combinazione A1+M1+R1 con un valore pari a 522.63 kN/tirante











Adeguamento a quattro corsie del tratto San Zeno – Arezzo – Palazzo del Pero, lotto 1 (FI508)

#### OPERE PROVVISIONALI - ASSE PRINCIPALE - VIADOTTO VI.01

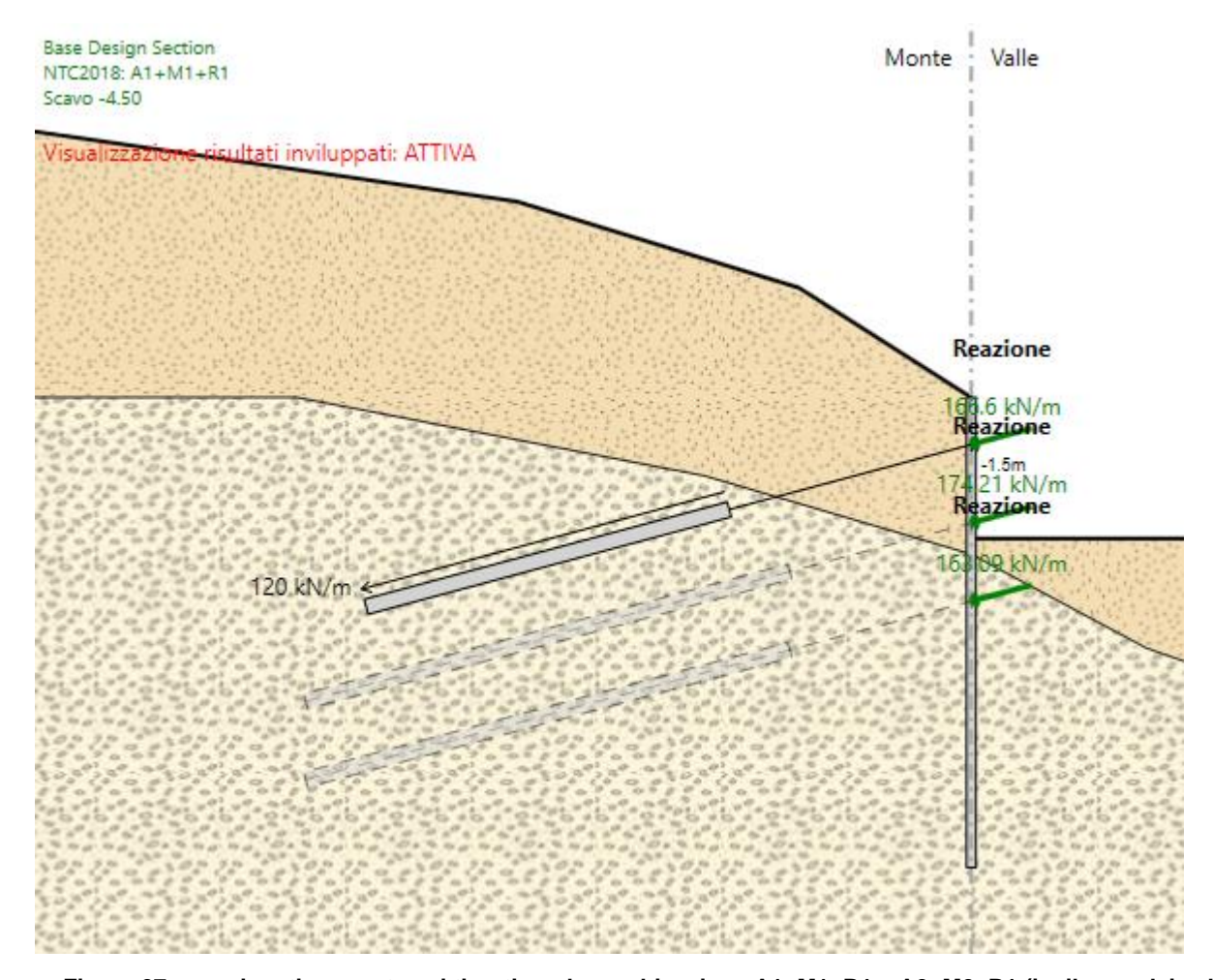


Figura 27: massimo tiro agente nei tiranti per la combinazione A1+M1+R1 e A2+M2+R1 (inviluppo dei valori)

#### 8.2.1. VERIFICHE GEOTECNICHE

Si riportano di seguito le verifiche geotecniche dei tiranti, secondo la combinazione A1 + M1 + R3, considerando i seguenti coefficienti:

- $-\xi = 1.8$
- $\gamma_R = 1.2$  (tiranti permanenti a favore di sicurezza)

Nei tiranti, la resistenza allo sfilamento dal terreno del bulbo è pari a:

$$L_A \cdot \pi \cdot D_s \cdot s_d = 1.455,96 \frac{kN}{tir} = 473,32 \ kN/m$$

Ammissibile in quanto superiore alla massima sollecitazione agente (pari a 242.18 kN/m) con :

- $D_s$  diametro di calcolo, pari:
  - $\alpha \phi_0$ =0.33 m, con  $\alpha$  coefficiente moltiplicativo pari a 1.4 (considerato pari al minimo tra i coefficienti delle due stratigrafie in cui il bulbo è iniettato ed un diametro di perforazione φ<sub>p</sub> pari a 0.24 metri a favore di sicurezza)











ADEGUAMENTO A QUATTRO CORSIE DEL TRATTO SAN ZENO - AREZZO - PALAZZO DEL PERO, LOTTO 1 (FI508)

OPERE PROVVISIONALI - ASSE PRINCIPALE - VIADOTTO VI.01

- $s_d$  tensione unitaria di progetto aderenza malta terreno, pari a:
  - $s/\xi \gamma_R = 0.115 \text{ MPa}$ , con s=0.250 MPa.

### VERIFICHE STRUTTURALI

Si riportano di seguito le verifiche strutturali dei tiranti. Si considera il tirante maggiormente

$$N_{es} = 522.63 \ kN \le \frac{f_{ptk}}{1.15} \cdot n \cdot A_t = 899.27 \ kN$$
 (UNI EN 1537)

- $A_t$ =139 mm<sup>2</sup>, area del singolo trefolo
- n numero di trefoli utilizzati, pari a 4
- $f_{ntk} = 1860 \, MPa$  tensione caratteristica a rottura dei trefoli

La verifica è soddisfatta.

Si riportano nel seguito le medesime verifiche (espresse quale tasso di sfruttamento) condotte dal programma di calcolo estese a tutte le combinazioni di carico analizzzate.

### Condizioni di esercizio

anti Puntoni Travi	di Ripartizione in Acciaio	Travi di Ripartizione in Ca	alcestruzzo				
lirante	Stage	Sollecitazione (kN)	Resistenza GEO (kN)	Resistenza STR (kN)	Sfruttamento GEO	Sfruttamento STR	Resisten
fila tirante 1	tirante 1	468	753.98	807.41	0.621	0.58	~
fila tirante 1	Scavo -4.50	499.8	753.98	807.41	0.663	0.619	~
fila tirante 1	tirante 2	493.6	753.98	807.41	0.655	0.611	~
fila tirante 1	Scavo -7.00	492	753.98	807.41	0.653	0.609	~
fila tirante 1	tirante 3	491.47	753.98	807.41	0.652	0.609	~
fila tirante 1	Scavo -8.00	491.47	753.98	807.41	0.652	0.609	~
fila tirante 1	Extrascavo	489.74	753.98	807.41	0.65	0.607	~
fila tirante 2	tirante 2	468	1005.3	807.41	0.466	0.58	~
fila tirante 2	Scavo -7.00	522.63	1005.3	807.41	0.52	0.647	~
fila tirante 2	tirante 3	512.45	1005.3	807.41	0.51	0.635	~
fila tirante 2	Scavo -8.00	512.45	1005.3	807.41	0.51	0.635	~
fila tirante 2	Extrascavo	515.73	1005.3	807.41	0.513	0.639	~
fila tirante 3	tirante 3	468	1005.3	807.41	0.466	0.58	~
fila tirante 3	Scavo -8.00	468	1005.3	807.41	0.466	0.58	~
fila tirante 3	Extrascavo	489.26	1005.3	807.41	0.487	0.606	~





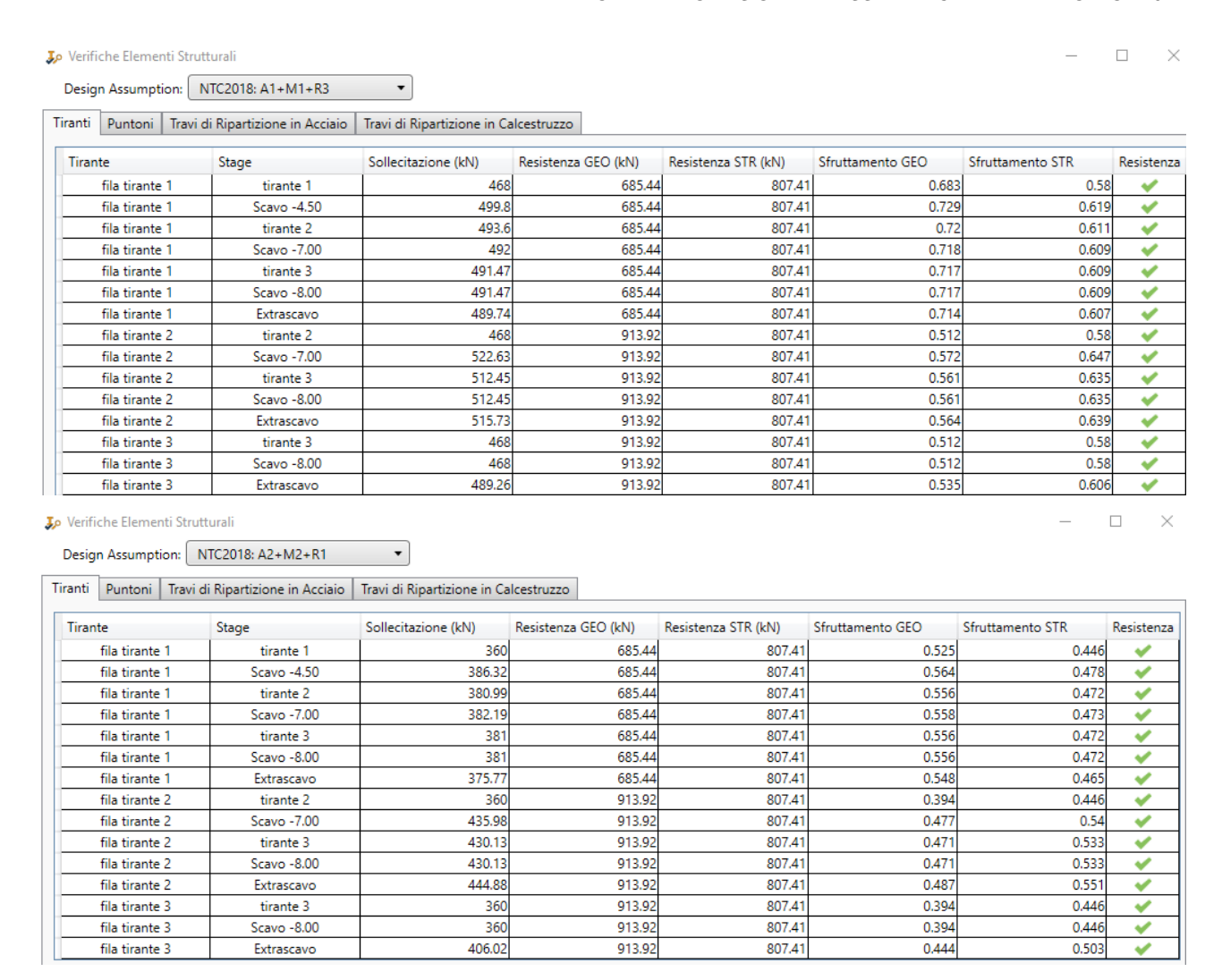






ADEGUAMENTO A QUATTRO CORSIE DEL TRATTO SAN ZENO - AREZZO - PALAZZO DEL PERO, LOTTO 1 (FI508)

#### OPERE PROVVISIONALI - ASSE PRINCIPALE - VIADOTTO VI.01



valori questi che confermano l'accettabilità dei risultati.

# 8.3. VERIFICA TRAVE DI CONTRASTO

Le travi in acciaio (S275) per la ripartizione dell'azione dei tiranti maggiormente sollecitati sono costituiti da n. 2 HEB 200 accoppiati aventi le seguenti caratteristiche :

															Momenti	di inerzia	Moduli di	resistenza	Raggi d	i inerzia
<b>b</b> mm	<b>h</b> mm	a mm	e mm	r mm	Peso kg/m	Sezione cm²	Jx cm <sup>4</sup>	Jy cm <sup>4</sup>	Wx cm <sup>3</sup>	Wy cm <sup>3</sup>	ix cm	i <b>y</b> cm								
100	100	6,0	10,0	12	20,4	26,04	449,5	167,3	89,91	33,45	4,16	2,53								
120	120	6,5	11,0	12	26,7	34,01	864,4	317,5	144,1	52,92	5,04	3,06								
140	140	7,0	12,0	12	33,7	42,96	1.509	549,7	215,6	78,52	5,93	3,58								
160	160	8,0	13,0	15	42,6	54,25	2.492	889,2	311,5	111,2	6,78	4,05								
180	180	8,5	14,0	15	51,2	65,25	3.831	1.363	425,7	151,4	7,66	4,57								
200	200	9,0	15,0	18	61,3	78,08	5.696	2.003	569,6	200,3	8,54	5,07								
220	220	9,5	16,0	18	71,5	91,04	8.091	2.843	735,5	258,5	9,43	5,59								
	mm 100 120 140 160 180 200	mm         mm           100         100           120         120           140         140           160         160           180         180           200         200	mm         mm         mm           100         100         6,0           120         120         6,5           140         140         7,0           160         160         8,0           180         180         8,5           200         200         9,0	mm         mm         mm         mm           100         100         6,0         10,0           120         120         6,5         11,0           140         140         7,0         12,0           160         160         8,0         13,0           180         180         8,5         14,0           200         200         9,0         15,0	mm         mm         mm         mm         mm           100         100         6,0         10,0         12           120         120         6,5         11,0         12           140         140         7,0         12,0         12           160         160         8,0         13,0         15           180         180         8,5         14,0         15           200         200         9,0         15,0         18	mm         mm         mm         mm         kg/m           100         100         6,0         10,0         12         20,4           120         120         6,5         11,0         12         26,7           140         140         7,0         12,0         12         33,7           160         160         8,0         13,0         15         42,6           180         180         8,5         14,0         15         51,2           200         200         9,0         15,0         18         61,3	mm         mm         mm         mm         kg/m         cm²           100         100         6,0         10,0         12         20,4         26,04           120         120         6,5         11,0         12         26,7         34,01           140         140         7,0         12,0         12         33,7         42,96           160         160         8,0         13,0         15         42,6         54,25           180         180         8,5         14,0         15         51,2         65,25           200         200         9,0         15,0         18         61,3         78,08	b mm         h mm         a mm         e mm         r mm         Peso kg/m         Sezione cm²         Jx cm⁴           100         100         6,0         10,0         12         20,4         26,04         449,5           120         120         6,5         11,0         12         26,7         34,01         864,4           140         140         7,0         12,0         12         33,7         42,96         1.509           160         160         8,0         13,0         15         42,6         54,25         2.492           180         180         8,5         14,0         15         51,2         65,25         3.831           200         200         9,0         15,0         18         61,3         78,08         5.696	mm         mm         mm         mm         kg/m         cm²         cm⁴           100         100         6,0         10,0         12         20,4         26,04         449,5         167,3           120         120         6,5         11,0         12         26,7         34,01         864,4         317,5           140         140         7,0         12,0         12         33,7         42,96         1.509         549,7           160         160         8,0         13,0         15         42,6         54,25         2.492         889,2           180         180         8,5         14,0         15         51,2         65,25         3.831         1.363           200         200         9,0         15,0         18         61,3         78,08         5.696         2.003	b         h         a         e         r         Peso kg/m         Sezione cm²         Jx         Jy         Wx           100         100         6,0         10,0         12         20,4         26,04         449,5         167,3         89,91           120         120         6,5         11,0         12         26,7         34,01         864,4         317,5         144,1           140         140         7,0         12,0         12         33,7         42,96         1.509         549,7         215,6           160         160         8,0         13,0         15         42,6         54,25         2.492         889,2         311,5           180         180         8,5         14,0         15         51,2         65,25         3.831         1.363         425,7           200         200         9,0         15,0         18         61,3         78,08         5.696         2.003         569,6	b         h         a         e         r         Peso kg/m         Sezione cm²         Jx         Jy         Wx         Wy           100         100         6,0         10,0         12         20,4         26,04         449,5         167,3         89,91         33,45           120         120         6,5         11,0         12         26,7         34,01         864,4         317,5         144,1         52,92           140         140         7,0         12,0         12         33,7         42,96         1.509         549,7         215,6         78,52           160         160         8,0         13,0         15         42,6         54,25         2.492         889,2         311,5         111,2           180         180         8,5         14,0         15         51,2         65,25         3.831         1.363         425,7         151,4           200         200         9,0         15,0         18         61,3         78,08         5.696         2.003         569,6         200,3	b         h         a         e         r         Peso kg/m         Sezione cm²         Jx         Jy         Wx         Wy         ix           100         100         6,0         10,0         12         20,4         26,04         449,5         167,3         89,91         33,45         4,16           120         120         6,5         11,0         12         26,7         34,01         864,4         317,5         144,1         52,92         5,04           140         140         7,0         12,0         12         33,7         42,96         1.509         549,7         215,6         78,52         5,93           160         160         8,0         13,0         15         42,6         54,25         2.492         889,2         311,5         111,2         6,78           180         180         8,5         14,0         15         51,2         65,25         3.831         1.363         425,7         151,4         7,66           200         200         9,0         15,0         18         61,3         78,08         5.696         2.003         569,6         200,3         8,54								











#### **E78 GROSSETO - FANO**

#### TRATTO NODO DI AREZZO - SELCI - LAMA (E45)

OPERE PROVVISIONALI - ASSE PRINCIPALE - VIADOTTO VI.01

La massima sollecitazione di calcolo è pari a:

$$p_d = 174.21 \text{ kN/m}$$

Considerando uno schema statico di trave su tre appoggi, con luce pari a 3.00 m, si ricavano le azioni massime pari a:

$$M_{Ed} = q L^2 / 8 = 191.25 \text{ kNm}$$
  
 $V_{Ed} = 5 q L / 8 = 318.75 \text{ kN}$ 

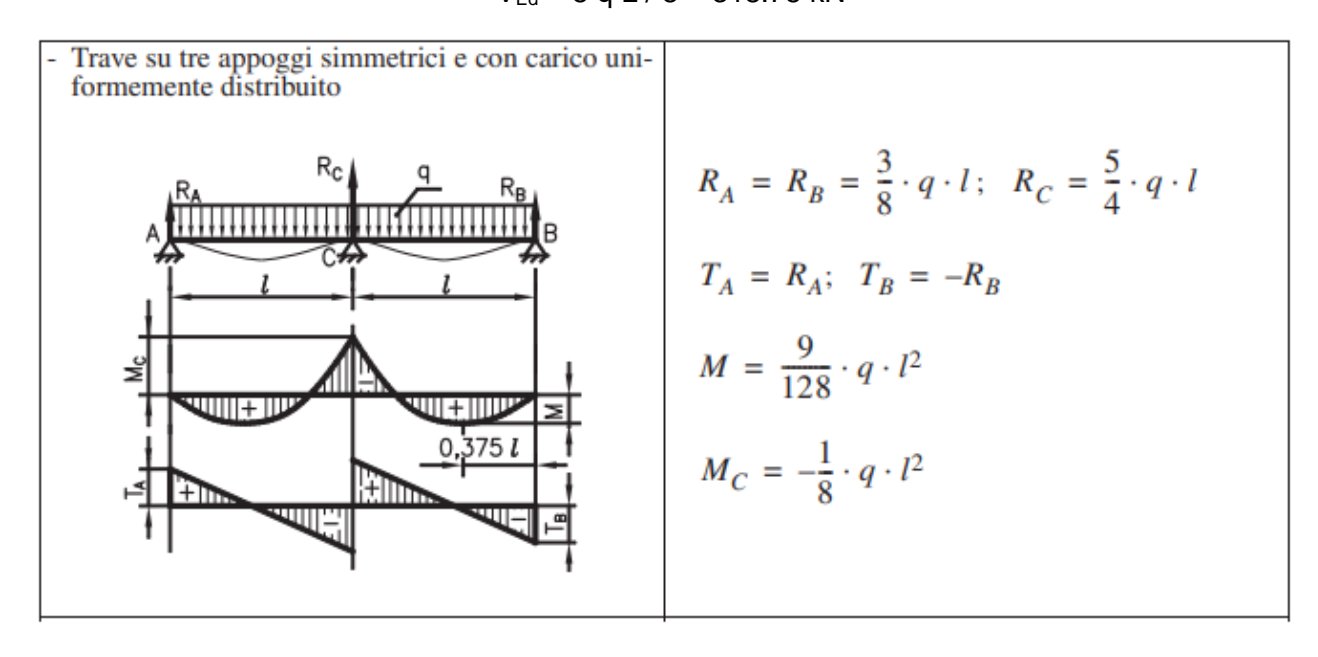


Figura 28: schema statico considerato per lo studio delle travi di ripartizione

#### Verifica a flessione

$$M_{pl,Rd} = 2 \times W_{pl} f_{vk} / \gamma_{M0} = 298.36 \text{ kNm}$$

in cui

 $W_{pl} = 569.60 \text{ cm}^3$ 

 $f_{yk} = 275 \text{ MPa}$ 

 $\gamma_{M0} = 1.05$ 

Risulta:  $M_{Ed}$  /  $M_{pl,Rd}$  = 0.65 < 1.00  $\rightarrow$  Verifica soddisfatta.

#### Verifica a taglio

$$V_{c,Rd} = 2 \times A_v f_{vk} / (\gamma_{M0} \sqrt{3}) = 4899.46 \text{ kN}$$

in cui

 $A_v = 16.20 \text{ cm}^2$ 

 $f_{yk} = 275 \text{ MPa}$ 











ADEGUAMENTO A QUATTRO CORSIE DEL TRATTO SAN ZENO – AREZZO – PALAZZO DEL PERO, LOTTO 1 (FI508)

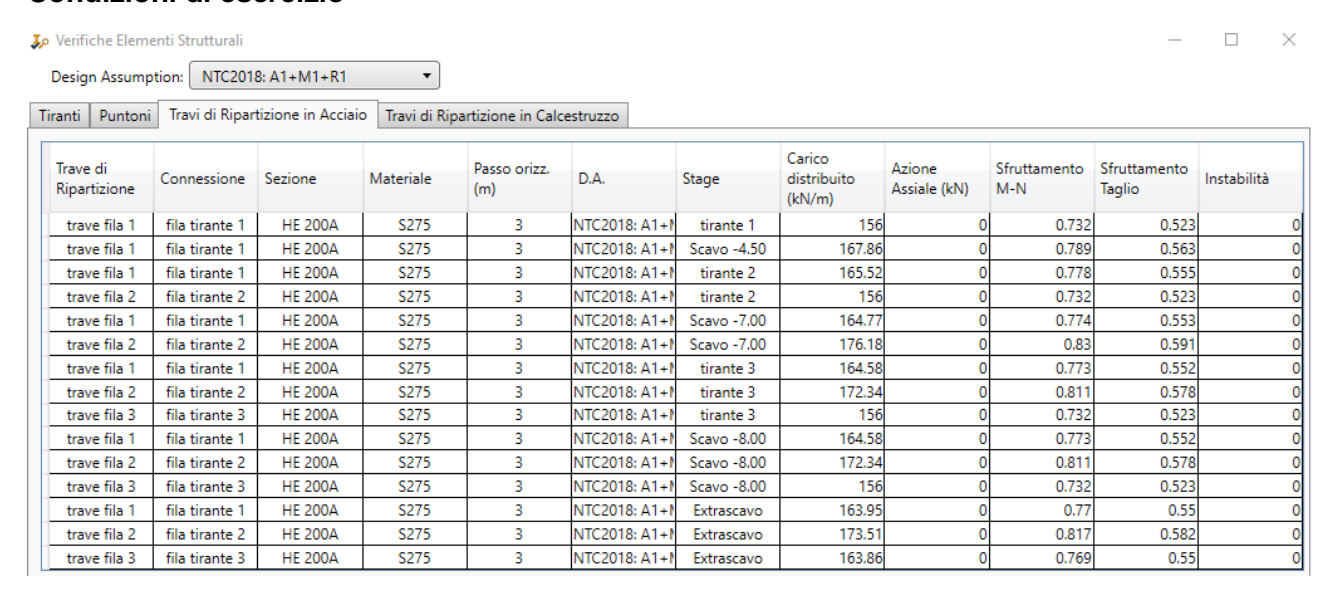
OPERE PROVVISIONALI - ASSE PRINCIPALE - VIADOTTO VI.01

 $\gamma_{M0} = 1.05$ 

Risulta:  $V_{Ed} / V_{c,Rd} = 0.08 < 1.00 \rightarrow Verifica soddisfatta.$ 

Si riportano nel seguito le medesime verifiche condotte dal programma di calcolo estese a tutte le combinazioni di carico analizzzate.

#### Condizioni di esercizio



valori questi ammissibili anche in considerazione del fatto che non sono stati considerati gli effetti dovuti ai fenomeno torsionali parassiti che si potrebbero generare in fase di tesatura dei tiranti.

#### 8.4. VERIFICHE DEL TERRENO INTERAGENTE CON LA PARATIA

Le verifiche geotecniche (GEO) del terreno interagente con la paratia, eseguite secondo il metodo degli Stati Limite, sono state condotte, fase per fase, considerando le seguenti combinazioni:

SLU: A2 + M2 + R1

L'analisi non lineare del sistema terreno-paratia converge ad una configurazione dei equilibrio per entrambe le combinazioni considerate.

Pertanto tutte le verifiche agli stati ultimi per sviluppo di meccanismi di collasso determinati dal raggiungimento della resistenza del terreno interagente con la paratia, ossia:

- collasso per rotazione intorno a un punto dell'opera (atto di moto rigido);
- collasso per carico limite verticale;
- instabilità del fondo scavo

risultano automaticamente soddisfatte.

Dal calcolo emergono i seguenti diagrammi delle tensioni orizzontali efficaci nel terreno:









#### **E78 GROSSETO - FANO** TRATTO NODO DI AREZZO - SELCI - LAMA (E45) ADEGUAMENTO A QUATTRO CORSIE DEL TRATTO SAN ZENO - AREZZO - PALAZZO DEL PERO, LOTTO 1 (FI508)

OPERE PROVVISIONALI - ASSE PRINCIPALE - VIADOTTO VI.01

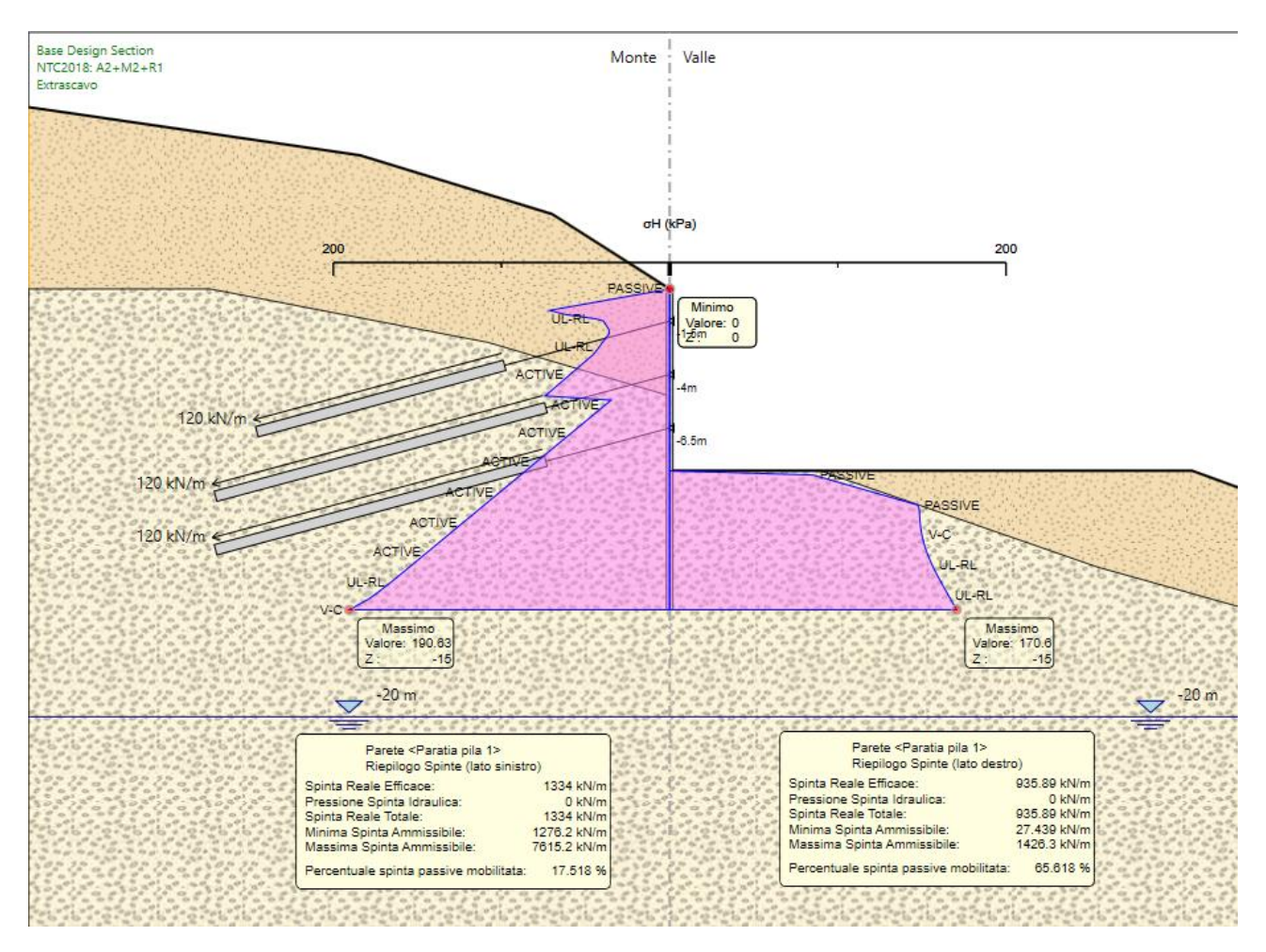


Figura 29 : σh nel diaframma [kN/m] – comb. SLU – A2+M2+R1 – fase 9

Si riporta di seguito il report delle verifiche dei rapporti tra spinte passive attivate e disponibili, in riferimento alle due combinazioni sopracitate :

#### Summary for DA < NTC2018: A2+M2+R1>

#### Riepilogo per la DA <NTC2018: A2+M2+R1>

#### Parete < Paratia pila 1> \*\*\* Attenzione: gli spostamenti relativi alle DA agli Stati Limite Ultimi non sono considerati

Max. Rapporto Spinte (Efficace/Passiva) (Lato SX) 0.18 D.A. NTC2018: A2+M2+R1 (tirante 2) Max. Rapporto Spinte (Efficace/Passiva) (Lato DX) 0.66 D.A. NTC2018: A2+M2+R1 (Extrascavo)

#### valori questi ammissibili.









ADEGUAMENTO A QUATTRO CORSIE DEL TRATTO SAN ZENO - AREZZO - PALAZZO DEL PERO, LOTTO 1 (FI508)

OPERE PROVVISIONALI - ASSE PRINCIPALE - VIADOTTO VI.01

### 9. VERIFICHE DELLA STABILITÀ GLOBALE

Si riporta la rappresentazione grafica della superficie di scivolamento critica, emersa dall'analisi della stabilità globale effettuata con il metodo di Janbu sulla configurazione finale dell'opera, rispettivamente per le seguenti combinazioni:

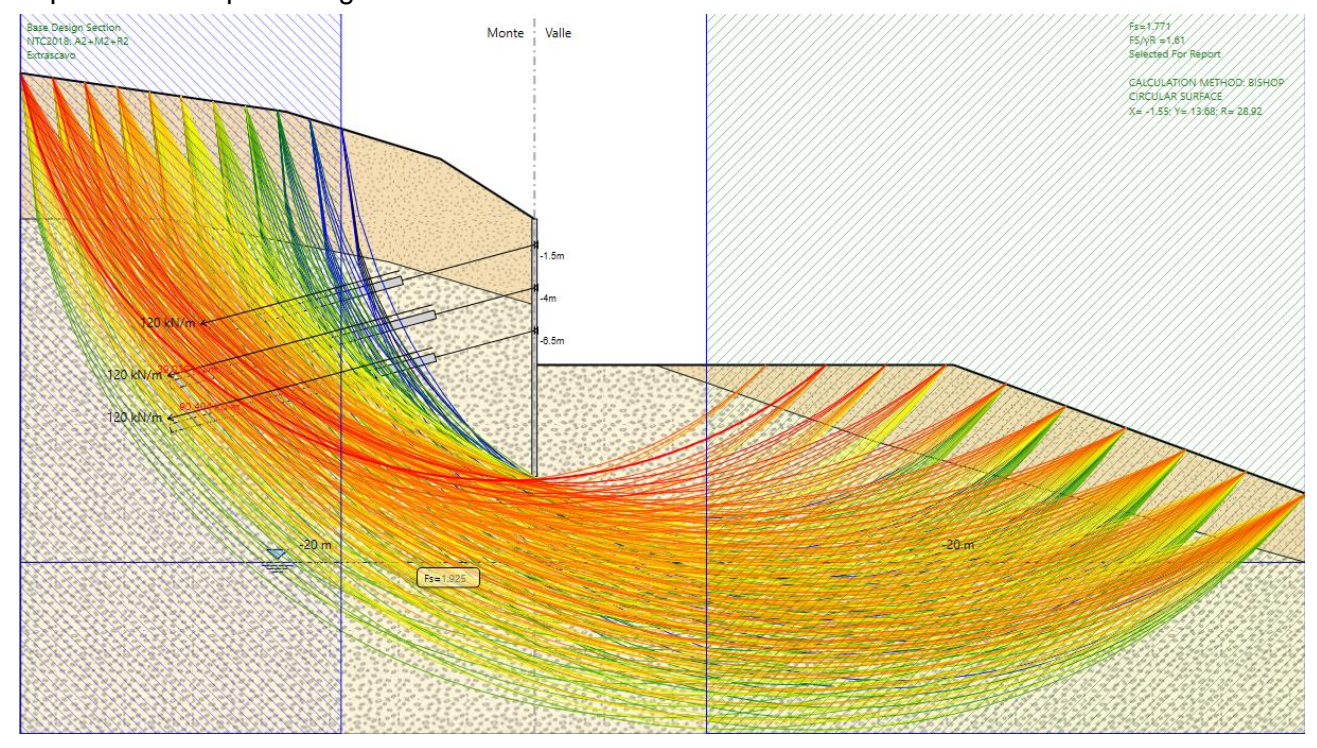


Figura 30 : inviluppo A2 + M2 + R2

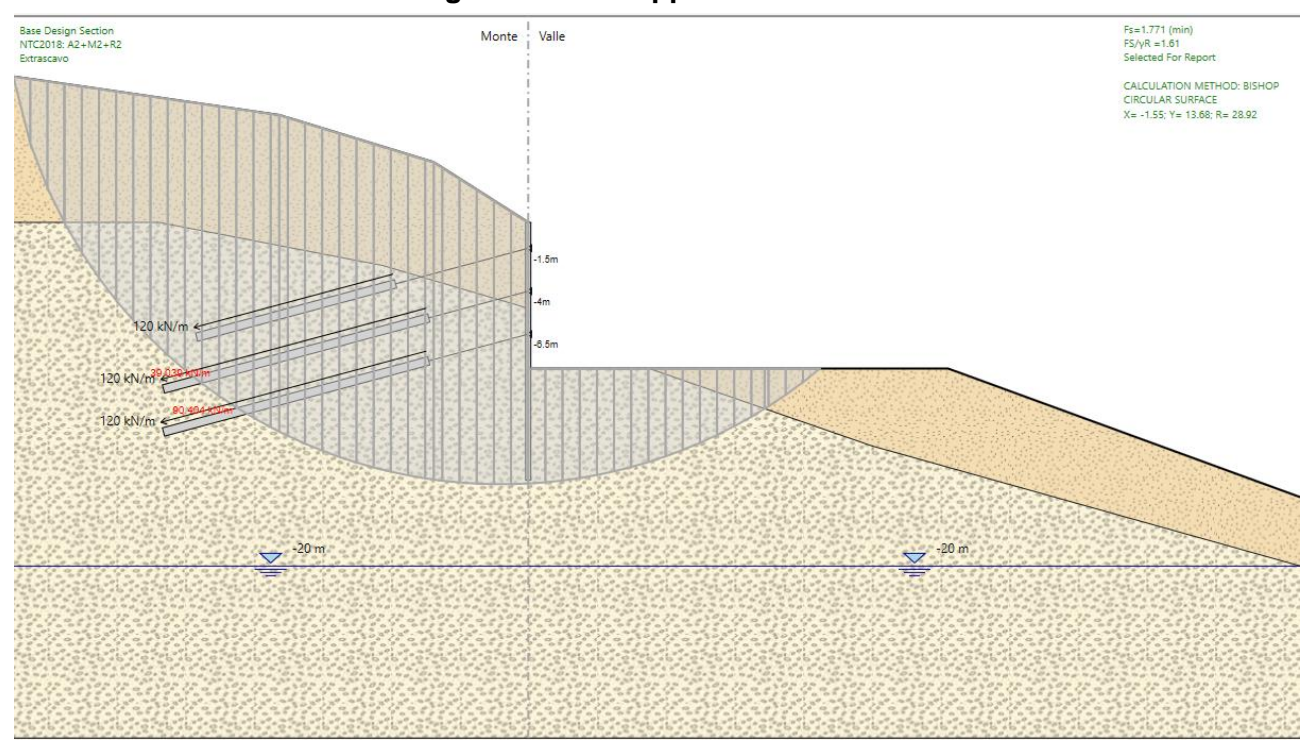


Figura 31 : A2 + M2 + R2 : superficie critica













ADEGUAMENTO A QUATTRO CORSIE DEL TRATTO SAN ZENO – AREZZO – PALAZZO DEL PERO, LOTTO 1 (FI508)

OPERE PROVVISIONALI - ASSE PRINCIPALE - VIADOTTO VI.01

Nella verifica la presenza dell'opera di sostegno è tenuta in conto esclusivamente come vincolo geometrico.

La verifica di stabilità globale risulta soddisfatta per entrambe le condizioni, con FS=1.77 della superficie maggiormente critica.

#### 10. DICHIARAZIONI SECONDO N.T.C. 2018 (PUNTO 10.2)

Riquardo alle analisi e verifiche svolte con l'ausilio di codici di calcolo, il sottoscritto, in qualità di calcolatore delle opere in progetto, dichiara quanto segue.

#### 10.1. TIPO DI ANALISI SVOLTA

L'analisi strutturale e le verifiche sono condotte con l'ausilio di un codice di calcolo automatico. La verifica della sicurezza degli elementi strutturali è stata valutata con i metodi della scienza delle costruzioni.

Il calcolo delle paratie viene eseguito secondo le seguenti fasi:

- Calcolo della spinta del terreno;
- Verifiche globali di stabilità complesso opera-terreno;
- Calcolo delle sollecitazioni nelle paratie, nei tiranti e nella trave di contrasto degli stessi;
- Verifiche delle sezioni di paratie, tiranti e travi di contrasto.

La verifica delle sezioni degli elementi strutturali è eseguita con il metodo degli Stati Limite. Le combinazioni di carico adottate sono esaustive relativamente agli scenari di carico più gravosi cui l'opera sarà soggetta.

#### 10.2. ORIGINE E CARATTERISTICHE DEI CODICI DI CALCOLO

Titolo Paratie Plus 2023.0.6 - Analisi e Calcolo Paratie

Produttore CeAs srl, Milano (MI)

#### 10.3. AFFIDABILITÀ DEI CODICI DI CALCOLO

Un attento esame preliminare della documentazione a corredo del software ha consentito di valutarne l'affidabilità. La documentazione fornita dal produttore del software contiene un'esauriente descrizione delle basi teoriche, degli algoritmi impiegati e l'individuazione dei campi d'impiego. La società produttrice CeAs srl ha verificato l'affidabilità e la robustezza del codice di calcolo attraverso un numero significativo di casi prova in cui i risultati dell'analisi numerica sono stati confrontati con soluzioni teoriche.

#### 10.4. MODALITÀ DI PRESENTAZIONE DEI RISULTATI

La relazione di calcolo strutturale presenta i dati di calcolo tale da garantirne la leggibilità, la corretta interpretazione e la riproducibilità. La relazione di calcolo illustra in modo esaustivo i dati in ingresso ed i risultati delle analisi in forma tabellare.











ADEGUAMENTO A QUATTRO CORSIE DEL TRATTO SAN ZENO - AREZZO - PALAZZO DEL PERO, LOTTO 1 (FI508)

OPERE PROVVISIONALI - ASSE PRINCIPALE - VIADOTTO VI.01

#### 10.5. INFORMAZIONI GENERALI SULL'ELABORAZIONE

Il software prevede una serie di controlli automatici che consentono l'individuazione di errori di modellazione, di non rispetto di limitazioni geometriche e di armatura e di presenza di elementi non verificati. Il codice di calcolo consente di visualizzare e controllare, sia in forma grafica che tabellare, i dati del modello strutturale, in modo da avere una visione consapevole del comportamento corretto del modello strutturale.

#### 10.6. GIUDIZIO MOTIVATO DI ACCETTABILITÀ DEI RISULTATI

I risultati delle elaborazioni sono stati sottoposti a controlli dal sottoscritto utente del software. Tale valutazione ha compreso il confronto con i risultati di semplici calcoli, eseguiti con metodi tradizionali. Inoltre sulla base di considerazioni riguardanti gli stati tensionali e deformativi determinati, si è valutata la validità delle scelte operate in sede di schematizzazione e di modellazione della struttura e delle azioni.

In base a quanto sopra, io sottoscritto asserisco che l'elaborazione è corretta ed idonea al caso specifico, pertanto i risultati di calcolo sono da ritenersi validi ed accettabili.











ADEGUAMENTO A QUATTRO CORSIE DEL TRATTO SAN ZENO – AREZZO – PALAZZO DEL PERO, LOTTO 1 (FI508)

OPERE PROVVISIONALI - ASSE PRINCIPALE - VIADOTTO VI.01

#### 11. ALLEGATI DI CALCOLO



# Report di Calcolo

Nome Progetto: Paratia provvisionale Viadotto VI.01 - Pila P1

Autore: Cooprogetti

Jobname: v\_01\_paratia\_v1.pplus

Data: 14/10/2023 18:42:32

Design Section: Base Design Section













#### **E78 GROSSETO - FANO** TRATTO NODO DI AREZZO - SELCI - LAMA (E45) Adeguamento a quattro corsie del tratto San Zeno – Arezzo – Palazzo del Pero, lotto 1 (FI508)

OPERE PROVVISIONALI - ASSE PRINCIPALE - VIADOTTO VI.01

### Descrizione del Software

ParatiePlus analizza il comportamento meccanico di una struttura di sostegno flessibile di uno scavo in terreno o roccia, ponendo l'accento sull'aspetto dell'interazione "locale" fra parete e terreno.

ParatiePlus non permette lo studio di problematiche che coinvolgano un movimento esteso del versante di scavo, in quanto ParatiePlus non consente lo sviluppo di movimenti rigidi della parete o parti di ammasso rispetto ad altre parti

Scopo precipuo di ParatiePlus è quindi il calcolo delle azioni flettenti e taglianti e delle deformazioni laterali della parete di sostegno, e la valutazione di tutte quelle grandezze a queste connesse.

Lo studio di una parete flessibile è condotto attraverso una simulazione numerica del reale: il programma stabilisce e risolve un sistema di equazioni algebriche la cui soluzione permette di riprodurre abbastanza realisticamente l'effettivo comportamento dell'opera di sostegno.

La simulazione numerica è quella offerta dal metodo degli elementi finiti.

La schematizzazione in elementi finiti avviene in questo modo:

- si analizza un problema piano (nel piano Y-Z): i gradi di libertà nodali attivi sono lo spostamento laterale e la rotazione fuori piano: gli spostamenti verticali sono automaticamente vincolati(di conseguenza le azioni assiali nelle pareti verticali non sono calcolate);
- la parete flessibile di sostegno vera e propria è schematizzata da una serie di elementi finiti BEAM verticali;
- il terreno, che spinge contro la parete (da monte e da valle) e che reagisce in modo complesso alle deformazioni della parete, è simulato attraverso un doppio letto di molle elasto-plastiche connesse agli stessi nodi della parete;
- i tiranti, i puntoni, le solette, gli appoggi cedevoli o fissi, sono schematizzati tramite molle puntuali convergenti in alcuni punti (nodi) della parete ove convergono parimenti elementi BEAM ed elementi terreno.











ADEGUAMENTO A QUATTRO CORSIE DEL TRATTO SAN ZENO – AREZZO – PALAZZO DEL PERO, LOTTO 1 (FI508)

OPERE PROVVISIONALI - ASSE PRINCIPALE - VIADOTTO VI.01

## Descrizione della Stratigrafia e degli Strati di Terreno

Tipo: POLYLINE

Punti

(-30;14)

(45;14)

(45; -30)

(-30;-30)

OCR:1

Tipo: POLYLINE

Punti

(-30;0)

(-21.5;0)

(-8.5;-2.5)

(0;-5)

(5.6; -8)

(20;-13)

(45;-20)

(45; -30)

(-30;-30)

OCR:1

Strato di Terreno	Terreno	γ dry	γ sat	ø'	øcvøp c'	Su Modulo Elas	tico Eu Evc	Eur	Ah Av exp Pa Rur/Rvc Rv	c Ku	Kvc	Kur
		kN/m³	kN/m	3 •	°° kPal	кРа	kPa	kPa	kPa kP	a kN/m	³kN/m³	kN/m³
1	Riporto	17.5	21	28	0	Constant	30000	48000	)			
2	Arenaria Alterata	17.5	19.5	25	30	Constant	25000	25000	)			











ADEGUAMENTO A QUATTRO CORSIE DEL TRATTO SAN ZENO – AREZZO – PALAZZO DEL PERO, LOTTO 1 (FI508)

OPERE PROVVISIONALI - ASSE PRINCIPALE - VIADOTTO VI.01

#### **Descrizione Pareti**

X:0 m

Quota in alto: 0 m Quota di fondo: -15 m

Muro di sinistra

Sezione: berlinese fi 300 tubo fi 193 sp 10 @40 cm

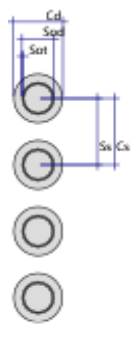
Area equivalente: 0.0380318082180215 m

Inerzia equivalente: 0.0002 m<sup>4</sup>/m Materiale calcestruzzo: C20/25 Tipo sezione: Tangent Spaziatura: 0.4 m

Diametro: 0.3 m Efficacia: 1

Materiale acciaio: Fe360 Sezione: CHS193.7\*10

Tipo sezione: O Spaziatura: 0.4 m Spessore: 0.01 m Diametro: 0.1937 m













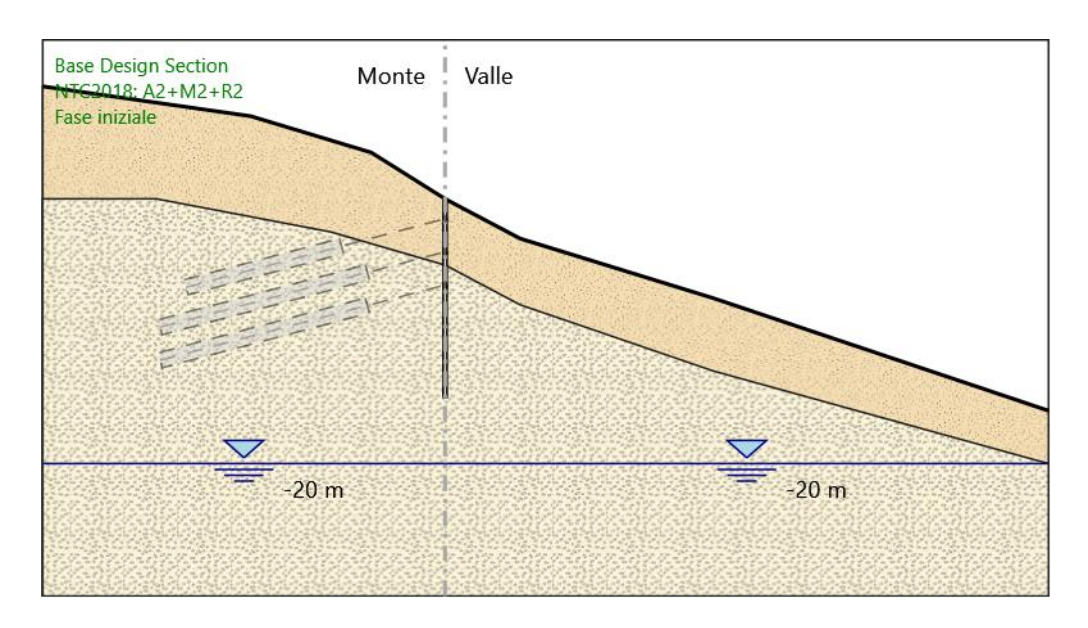


ADEGUAMENTO A QUATTRO CORSIE DEL TRATTO SAN ZENO – AREZZO – PALAZZO DEL PERO, LOTTO 1 (FI508)

#### OPERE PROVVISIONALI - ASSE PRINCIPALE - VIADOTTO VI.01

#### Fasi di Calcolo

#### Fase iniziale



#### Fase iniziale

Scavo

Muro di sinistra

Lato monte: 0 m Lato valle: 0 m

Linea di scavo di sinistra (Irregolare)

(-30; 8.5)

(-14.5;6.25)

(-5.5;3.5)

(0;0)

Linea di scavo di destra (Irregolare)

(0;0)

(5.6; -3)

(20; -7.5)

(45;-16)

Elementi strutturali

Paratia: Berlinese provvisionale

X:0 m









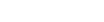


ADEGUAMENTO A QUATTRO CORSIE DEL TRATTO SAN ZENO – AREZZO – PALAZZO DEL PERO, LOTTO 1 (FI508)

OPERE PROVVISIONALI - ASSE PRINCIPALE - VIADOTTO VI.01

Quota in alto: 0 m Quota di fondo: -15 m

Sezione: berlinese fi 300 tubo fi 193 sp 10 @40 cm









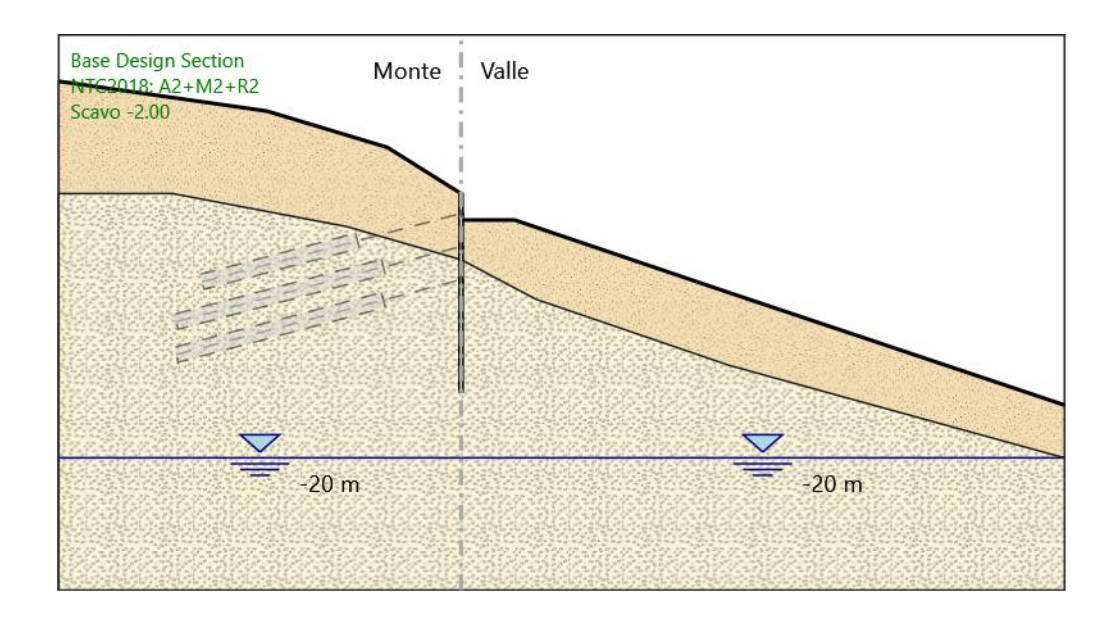




ADEGUAMENTO A QUATTRO CORSIE DEL TRATTO SAN ZENO – AREZZO – PALAZZO DEL PERO, LOTTO 1 (FI508)

#### OPERE PROVVISIONALI - ASSE PRINCIPALE - VIADOTTO VI.01

#### Scavo -2.00



Scavo -2.00

Scavo

Muro di sinistra

Lato monte: 0 m Lato valle: -2 m

Linea di scavo di sinistra (Irregolare)

(-30; 8.5)(-14.5;6.25) (-5.5;3.5)

(0;0)

Linea di scavo di destra (Irregolare)

(0;-2)(4;-2)

(20; -7.5)

(45;-16)

Elementi strutturali

Paratia: Berlinese provvisionale











ADEGUAMENTO A QUATTRO CORSIE DEL TRATTO SAN ZENO – AREZZO – PALAZZO DEL PERO, LOTTO 1 (FI508)

OPERE PROVVISIONALI - ASSE PRINCIPALE - VIADOTTO VI.01

X:0 m

Quota in alto: 0 m Quota di fondo: -15 m

Sezione: berlinese fi 300 tubo fi 193 sp 10 @40 cm



GESTIONE PROGETTI INGEGNERIA srl





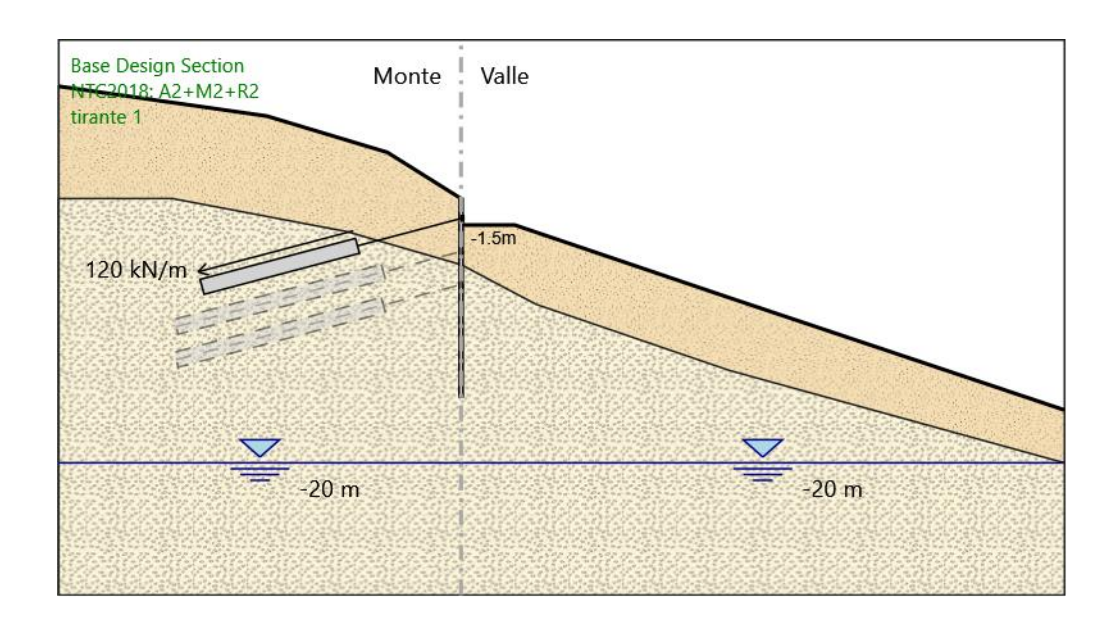




ADEGUAMENTO A QUATTRO CORSIE DEL TRATTO SAN ZENO – AREZZO – PALAZZO DEL PERO, LOTTO 1 (FI508)

#### OPERE PROVVISIONALI - ASSE PRINCIPALE - VIADOTTO VI.01

#### tirante 1



#### tirante 1

Scavo

Muro di sinistra

Lato monte: 0 m Lato valle: -2 m

Linea di scavo di sinistra (Irregolare)

(-30; 8.5)(-14.5;6.25) (-5.5;3.5)

(0;0)

Linea di scavo di destra (Irregolare)

(0;-2)(4;-2)

(20; -7.5)

(45;-16)

Elementi strutturali

Paratia: Berlinese provvisionale











ADEGUAMENTO A QUATTRO CORSIE DEL TRATTO SAN ZENO – AREZZO – PALAZZO DEL PERO, LOTTO 1 (FI508)

#### OPERE PROVVISIONALI - ASSE PRINCIPALE - VIADOTTO VI.01

X:0 m

Quota in alto: 0 m Quota di fondo: -15 m

Sezione: berlinese fi 300 tubo fi 193 sp 10 @40 cm

Tirante: fila tirante 1

X:0 m Z:-1.5 m

Lunghezza bulbo: 12 m Diametro bulbo: 0.24 m Lunghezza libera: 8 m Spaziatura orizzontale: 3 m

Precarico: 360 kN Angolo: 15°

Sezione: tirante 4 trefoli

Tipo di barre: Barre trefoli Numero di barre: 4 Diametro: 0.01331 m Area: 0.000556 m^2

Trave di Ripartizione : trave fila 1

Sezione: DOUBLE HE 200A MAT. S275

HE 200A

Materiale: S275







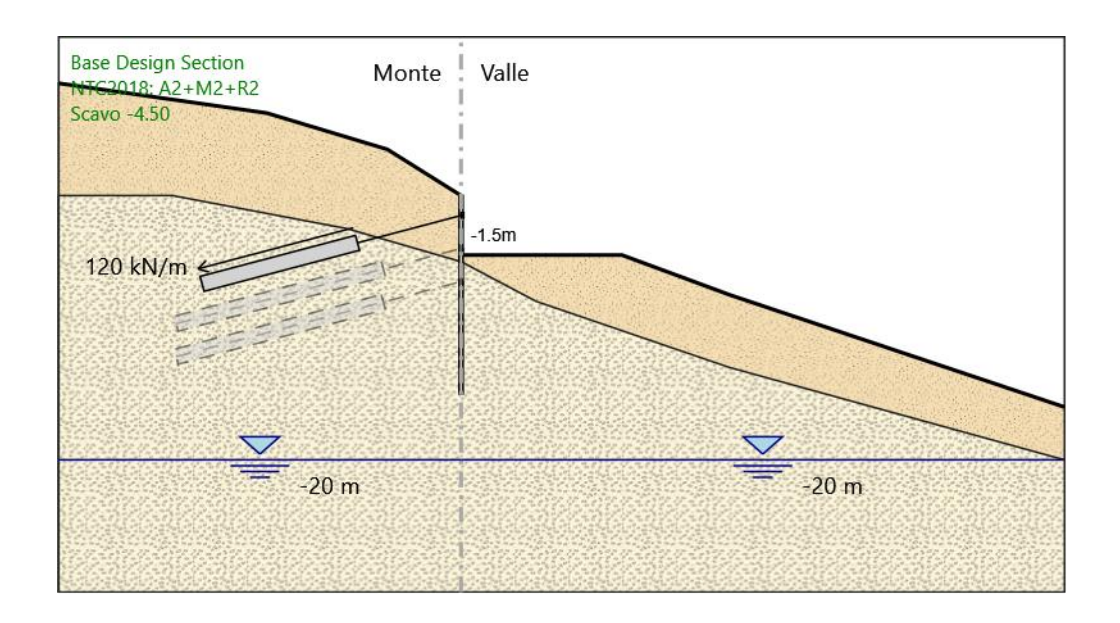




ADEGUAMENTO A QUATTRO CORSIE DEL TRATTO SAN ZENO – AREZZO – PALAZZO DEL PERO, LOTTO 1 (FI508)

#### OPERE PROVVISIONALI - ASSE PRINCIPALE - VIADOTTO VI.01

#### Scavo -4.50



Scavo -4.50

Scavo

Muro di sinistra

Lato monte: 0 m Lato valle: -4.5 m

Linea di scavo di sinistra (Irregolare)

(-30; 8.5)

(-14.5;6.25)

(-5.5;3.5)

(0;0)

Linea di scavo di destra (Irregolare)

(0; -4.5)

(12; -4.5)

(20; -7.5)

(45;-16)

Elementi strutturali

Paratia: Berlinese provvisionale











ADEGUAMENTO A QUATTRO CORSIE DEL TRATTO SAN ZENO – AREZZO – PALAZZO DEL PERO, LOTTO 1 (FI508)

#### OPERE PROVVISIONALI - ASSE PRINCIPALE - VIADOTTO VI.01

X:0 m

Quota in alto: 0 m Quota di fondo: -15 m

Sezione: berlinese fi 300 tubo fi 193 sp 10 @40 cm

Tirante: fila tirante 1

X:0 m Z:-1.5 m

Lunghezza bulbo: 12 m Diametro bulbo: 0.24 m Lunghezza libera: 8 m Spaziatura orizzontale: 3 m

Precarico: 360 kN Angolo: 15°

Sezione: tirante 4 trefoli

Tipo di barre: Barre trefoli Numero di barre: 4 Diametro: 0.01331 m Area: 0.000556 m^2

Trave di Ripartizione : trave fila 1

Sezione: DOUBLE HE 200A MAT. S275

HE 200A

Materiale: S275







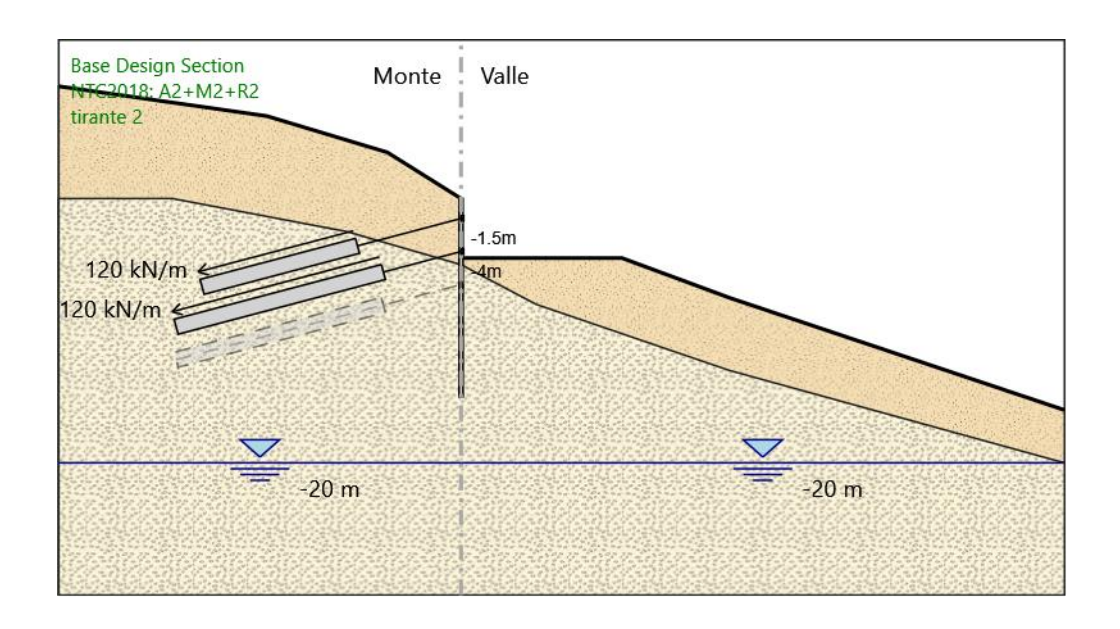




ADEGUAMENTO A QUATTRO CORSIE DEL TRATTO SAN ZENO – AREZZO – PALAZZO DEL PERO, LOTTO 1 (FI508)

#### OPERE PROVVISIONALI - ASSE PRINCIPALE - VIADOTTO VI.01

#### tirante 2



#### tirante 2

Scavo

Muro di sinistra

Lato monte: 0 m Lato valle: -4.5 m

Linea di scavo di sinistra (Irregolare)

(-30; 8.5)(-14.5;6.25)

(-5.5;3.5)

(0;0)

Linea di scavo di destra (Irregolare)

(0; -4.5)

(12; -4.5)

(20; -7.5)

(45;-16)

Elementi strutturali

Paratia: Berlinese provvisionale











ADEGUAMENTO A QUATTRO CORSIE DEL TRATTO SAN ZENO - AREZZO - PALAZZO DEL PERO, LOTTO 1 (FI508)

#### OPERE PROVVISIONALI - ASSE PRINCIPALE - VIADOTTO VI.01

X:0 m

Quota in alto: 0 m Quota di fondo: -15 m

Sezione: berlinese fi 300 tubo fi 193 sp 10 @40 cm

Tirante: fila tirante 1

X:0 m Z:-1.5 m

Lunghezza bulbo: 12 m Diametro bulbo: 0.24 m Lunghezza libera: 8 m Spaziatura orizzontale: 3 m

Precarico: 360 kN Angolo: 15°

Sezione: tirante 4 trefoli

Tipo di barre: Barre trefoli Numero di barre: 4 Diametro: 0.01331 m Area: 0.000556 m^2

Trave di Ripartizione : trave fila 1

Sezione: DOUBLE HE 200A MAT. S275

HE 200A

Materiale: S275

Tirante: fila tirante 2

X:0 m Z:-4 m

Lunghezza bulbo: 16 m Diametro bulbo: 0.24 m Lunghezza libera: 6 m Spaziatura orizzontale: 3 m

Precarico: 360 kN Angolo: 15°

Sezione: tirante 4 trefoli

Tipo di barre : Barre trefoli Numero di barre: 4 Diametro: 0.01331 m

Area: 0.000556 m^2

Trave di Ripartizione: trave fila 2

Sezione: DOUBLE HE 200A MAT. S275

HE 200A

Materiale: S275







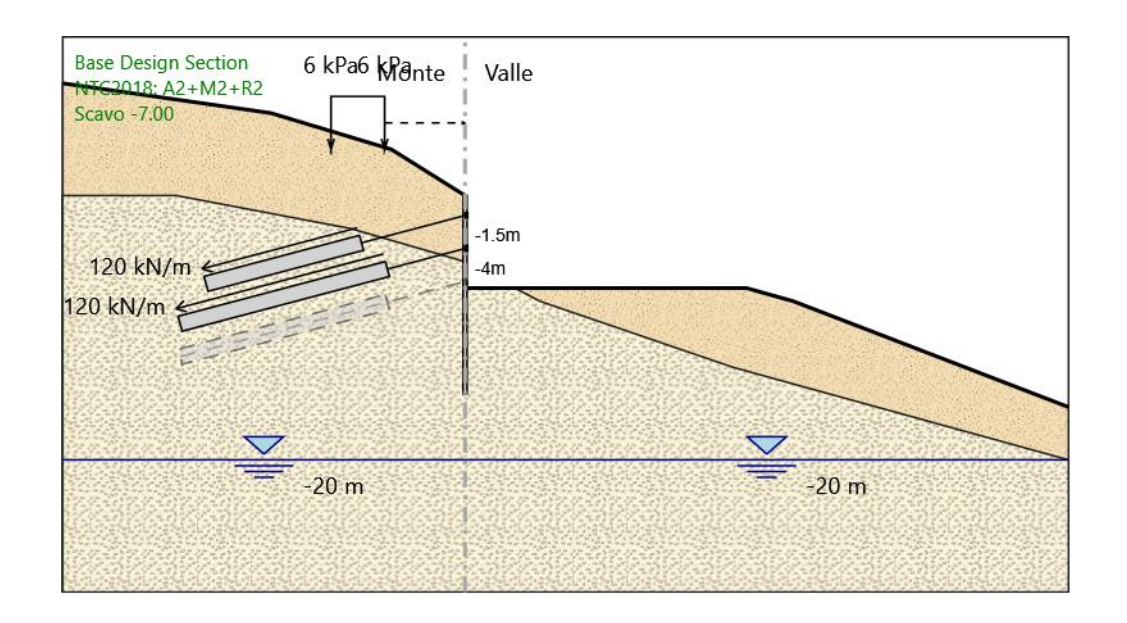




ADEGUAMENTO A QUATTRO CORSIE DEL TRATTO SAN ZENO – AREZZO – PALAZZO DEL PERO, LOTTO 1 (FI508)

#### OPERE PROVVISIONALI - ASSE PRINCIPALE - VIADOTTO VI.01

#### Scavo -7.00



Scavo -7.00

Scavo

Muro di sinistra

Lato monte: 0 m Lato valle: -7 m

Linea di scavo di sinistra (Irregolare)

(-30; 8.5)(-14.5;6.25) (-5.5;3.5) (0;0)

Linea di scavo di destra (Irregolare)

(0;-7)(21;-7)(24.5; -8)(45;-16)

Carichi

Carico lineare in superficie: Sovraccarico operativo

X iniziale: -10 m X finale: -6 m











ADEGUAMENTO A QUATTRO CORSIE DEL TRATTO SAN ZENO - AREZZO - PALAZZO DEL PERO, LOTTO 1 (FI508)

#### OPERE PROVVISIONALI - ASSE PRINCIPALE - VIADOTTO VI.01

Pressione iniziale: 6 kPa Pressione finale: 6 kPa

Elementi strutturali

Paratia: Berlinese provvisionale

X:0 m

Quota in alto: 0 m Quota di fondo: -15 m

Sezione: berlinese fi 300 tubo fi 193 sp 10 @40 cm

Tirante: fila tirante 1

X:0 m Z:-1.5 m

Lunghezza bulbo: 12 m Diametro bulbo: 0.24 m Lunghezza libera: 8 m Spaziatura orizzontale: 3 m

Precarico: 360 kN Angolo: 15°

Sezione: tirante 4 trefoli

Tipo di barre: Barre trefoli

Numero di barre: 4 Diametro: 0.01331 m Area: 0.000556 m^2

Trave di Ripartizione : trave fila 1

Sezione: DOUBLE HE 200A MAT. S275

HE 200A

Materiale: S275

Tirante: fila tirante 2

X:0 m Z:-4 m

Lunghezza bulbo: 16 m Diametro bulbo: 0.24 m Lunghezza libera: 6 m Spaziatura orizzontale: 3 m

Precarico: 360 kN Angolo: 15°

Sezione: tirante 4 trefoli

Tipo di barre: Barre trefoli Numero di barre: 4 Diametro: 0.01331 m Area: 0.000556 m^2

Trave di Ripartizione : trave fila 2

Sezione: DOUBLE HE 200A MAT. S275

HE 200A













E78 GROSSETO – FANO
TRATTO NODO DI AREZZO – SELCI – LAMA (E45)
ADEGUAMENTO A QUATTRO CORSIE DEL TRATTO SAN ZENO – AREZZO – PALAZZO DEL PERO, LOTTO 1 (FI508)

OPERE PROVVISIONALI - ASSE PRINCIPALE - VIADOTTO VI.01

Materiale: S275







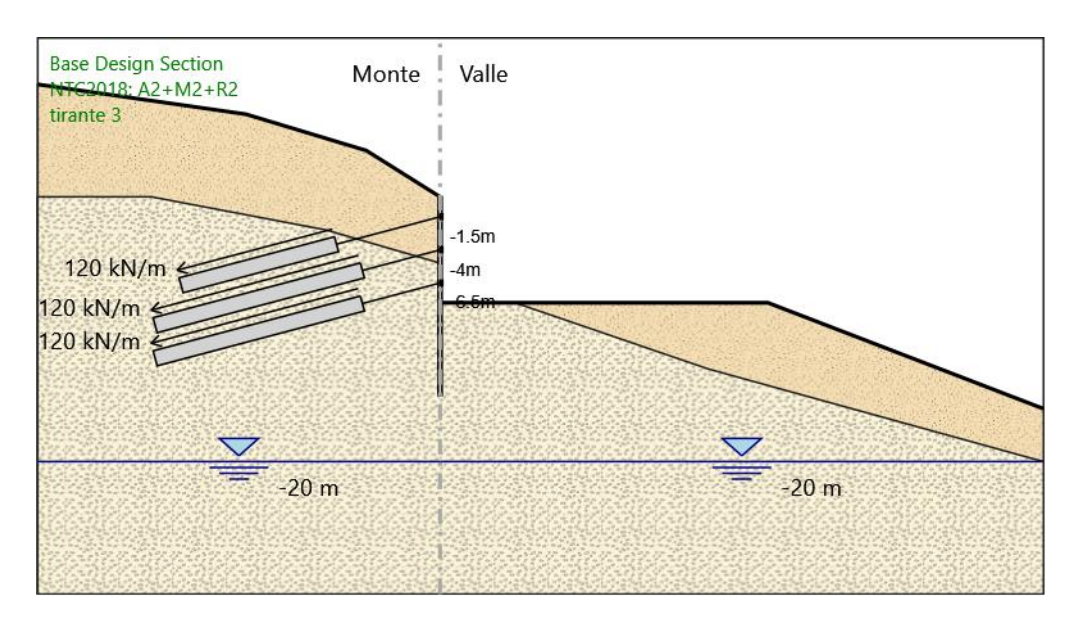






ADEGUAMENTO A QUATTRO CORSIE DEL TRATTO SAN ZENO – AREZZO – PALAZZO DEL PERO, LOTTO 1 (FI508)

#### OPERE PROVVISIONALI - ASSE PRINCIPALE - VIADOTTO VI.01



#### tirante 3

tirante 3

Scavo

Muro di sinistra

Lato monte: 0 m Lato valle: -8 m

Linea di scavo di sinistra (Irregolare)

(-30; 8.5)

(-14.5; 6.25)

(-5.5;3.5)

(0;0)

Linea di scavo di destra (Irregolare)

(0;-8)

(24.45; -8)

(45;-16)

Elementi strutturali

Paratia: Berlinese provvisionale

X:0 m

Quota in alto: 0 m











ADEGUAMENTO A QUATTRO CORSIE DEL TRATTO SAN ZENO - AREZZO - PALAZZO DEL PERO, LOTTO 1 (FI508)

#### OPERE PROVVISIONALI - ASSE PRINCIPALE - VIADOTTO VI.01

Quota di fondo: -15 m

Sezione: berlinese fi 300 tubo fi 193 sp 10 @40 cm

Tirante: fila tirante 1

X:0 m Z:-1.5 m

Lunghezza bulbo: 12 m Diametro bulbo: 0.24 m Lunghezza libera: 8 m Spaziatura orizzontale: 3 m

Precarico: 360 kN

Angolo: 15°

Sezione: tirante 4 trefoli

Tipo di barre: Barre trefoli Numero di barre: 4 Diametro: 0.01331 m Area: 0.000556 m^2

Trave di Ripartizione : trave fila 1

Sezione: DOUBLE HE 200A MAT. S275

**HE 200A** 

Materiale: S275

Tirante: fila tirante 2

X:0 m Z:-4 m

Lunghezza bulbo: 16 m Diametro bulbo: 0.24 m Lunghezza libera: 6 m Spaziatura orizzontale: 3 m

Precarico: 360 kN Angolo: 15°

Sezione: tirante 4 trefoli

Tipo di barre: Barre trefoli Numero di barre: 4 Diametro : 0.01331 m Area: 0.000556 m^2

Trave di Ripartizione : trave fila 2

Sezione: DOUBLE HE 200A MAT. S275

HE 200A

Materiale: S275

Tirante: fila tirante 3

X:0 m Z:-6.5 m

Lunghezza bulbo: 16 m Diametro bulbo: 0.24 m Lunghezza libera: 6 m Spaziatura orizzontale: 3 m

Precarico: 360 kN











ADEGUAMENTO A QUATTRO CORSIE DEL TRATTO SAN ZENO – AREZZO – PALAZZO DEL PERO, LOTTO 1 (FI508)

#### OPERE PROVVISIONALI - ASSE PRINCIPALE - VIADOTTO VI.01

Angolo: 15°

Sezione: tirante 4 trefoli

Tipo di barre: Barre trefoli

Numero di barre: 4 Diametro: 0.01331 m Area: 0.000556 m^2

Trave di Ripartizione : trave fila 3

Sezione: DOUBLE HE 200A MAT. S275

HE 200A

Materiale: S275









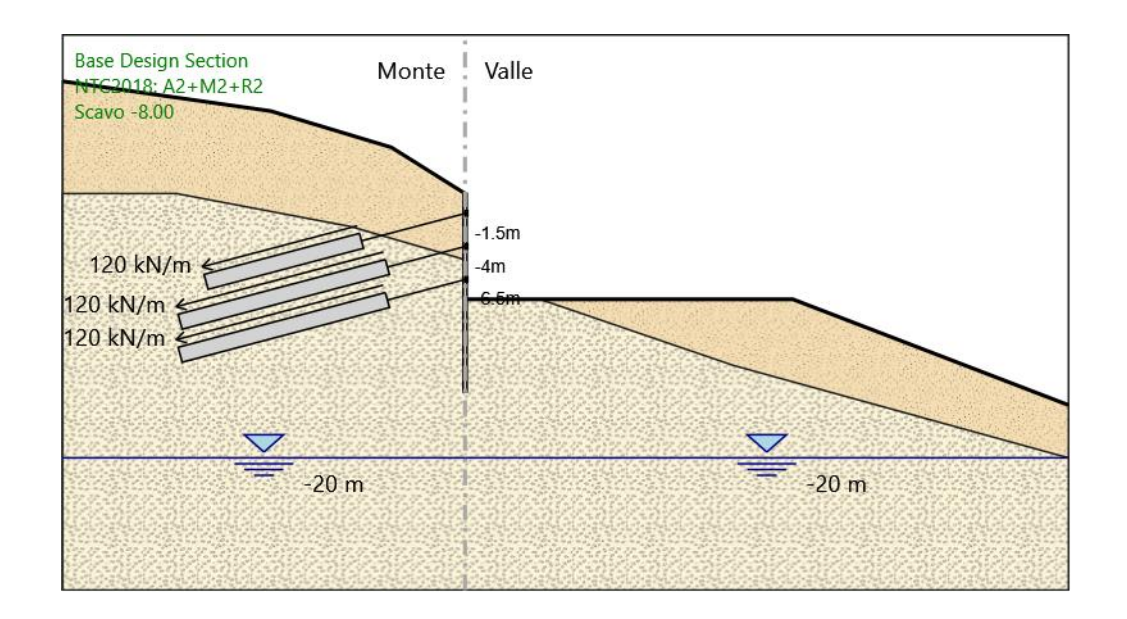




ADEGUAMENTO A QUATTRO CORSIE DEL TRATTO SAN ZENO – AREZZO – PALAZZO DEL PERO, LOTTO 1 (FI508)

#### OPERE PROVVISIONALI - ASSE PRINCIPALE - VIADOTTO VI.01

#### Scavo -8.00



#### Scavo -8.00

Scavo

Muro di sinistra

Lato monte: 0 m Lato valle : -8 m

Linea di scavo di sinistra (Irregolare)

(-30; 8.5)(-14.5; 6.25)(-5.5;3.5)(0;0)

Linea di scavo di destra (Irregolare)

(0;-8)(24.45; -8)(45;-16)

#### Elementi strutturali

Paratia: Berlinese provvisionale

X:0 m

Quota in alto: 0 m Quota di fondo: -15 m











ADEGUAMENTO A QUATTRO CORSIE DEL TRATTO SAN ZENO - AREZZO - PALAZZO DEL PERO, LOTTO 1 (FI508)

#### OPERE PROVVISIONALI - ASSE PRINCIPALE - VIADOTTO VI.01

Sezione: berlinese fi 300 tubo fi 193 sp 10 @40 cm

Tirante: fila tirante 1

X:0 m Z:-1.5 m

Lunghezza bulbo: 12 m Diametro bulbo: 0.24 m Lunghezza libera: 8 m Spaziatura orizzontale: 3 m

Precarico: 360 kN Angolo: 15°

Sezione: tirante 4 trefoli

Tipo di barre: Barre trefoli Numero di barre: 4 Diametro: 0.01331 m

Area: 0.000556 m^2

Trave di Ripartizione : trave fila 1

Sezione: DOUBLE HE 200A MAT. S275

**HE 200A** 

Materiale: S275

Tirante: fila tirante 2

X:0 m Z:-4 m

Lunghezza bulbo: 16 m Diametro bulbo: 0.24 m Lunghezza libera: 6 m Spaziatura orizzontale: 3 m

Precarico: 360 kN

Angolo: 15°

Sezione: tirante 4 trefoli

Tipo di barre: Barre trefoli Numero di barre: 4

Diametro: 0.01331 m Area: 0.000556 m^2

Trave di Ripartizione : trave fila 2

Sezione: DOUBLE HE 200A MAT. S275

HE 200A

Materiale: S275

Tirante: fila tirante 3

X:0 m Z:-6.5 m

Lunghezza bulbo: 16 m Diametro bulbo: 0.24 m Lunghezza libera: 6 m Spaziatura orizzontale: 3 m

Precarico: 360 kN Angolo: 15°











ADEGUAMENTO A QUATTRO CORSIE DEL TRATTO SAN ZENO – AREZZO – PALAZZO DEL PERO, LOTTO 1 (FI508)

#### OPERE PROVVISIONALI - ASSE PRINCIPALE - VIADOTTO VI.01

Sezione: tirante 4 trefoli

Tipo di barre : Barre trefoli Numero di barre: 4 Diametro: 0.01331 m Area: 0.000556 m^2

Trave di Ripartizione : trave fila 3

Sezione: DOUBLE HE 200A MAT. S275

HE 200A

Materiale: S275







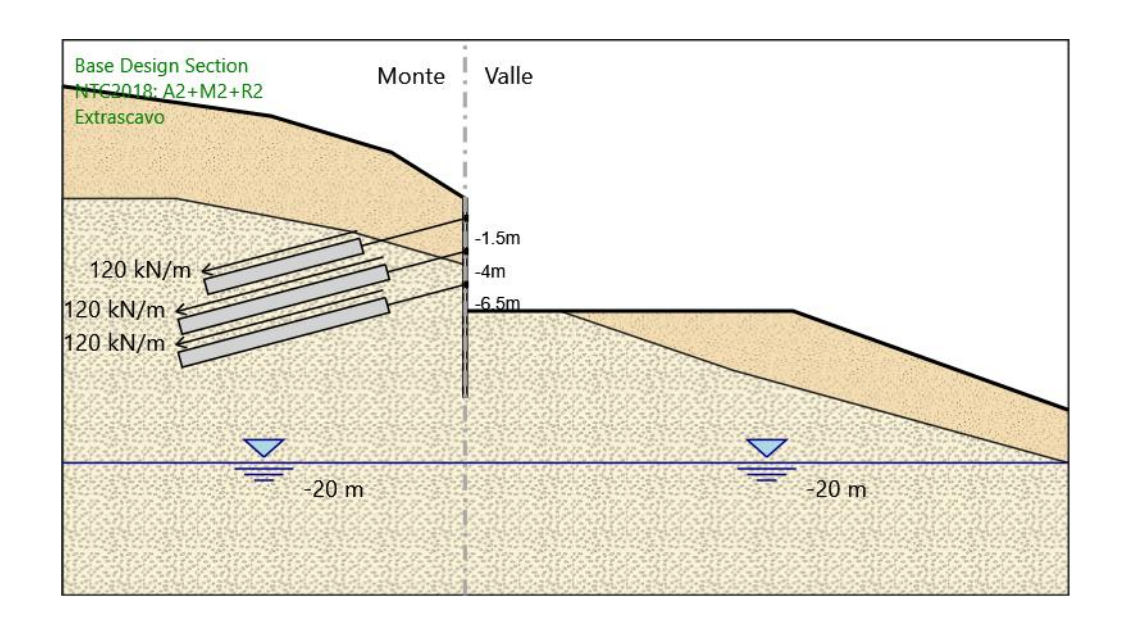




ADEGUAMENTO A QUATTRO CORSIE DEL TRATTO SAN ZENO – AREZZO – PALAZZO DEL PERO, LOTTO 1 (FI508)

#### OPERE PROVVISIONALI - ASSE PRINCIPALE - VIADOTTO VI.01

#### **Extrascavo**



#### Extrascavo

Scavo

Muro di sinistra

Lato monte: 0 m Lato valle: -8.5 m

Linea di scavo di sinistra (Irregolare)

(-30; 8.5)(-14.5; 6.25)(-5.5;3.5)(0;0)

Linea di scavo di destra (Irregolare)

(0; -8.5)(24.45; -8.5)(45;-16)

#### Elementi strutturali

Paratia: Berlinese provvisionale

X:0 m

Quota in alto: 0 m Quota di fondo: -15 m











ADEGUAMENTO A QUATTRO CORSIE DEL TRATTO SAN ZENO - AREZZO - PALAZZO DEL PERO, LOTTO 1 (FI508)

#### OPERE PROVVISIONALI - ASSE PRINCIPALE - VIADOTTO VI.01

Sezione: berlinese fi 300 tubo fi 193 sp 10 @40 cm

Tirante: fila tirante 1

X:0 m Z:-1.5 m

Lunghezza bulbo: 12 m Diametro bulbo: 0.24 m Lunghezza libera: 8 m Spaziatura orizzontale: 3 m

Precarico: 360 kN Angolo: 15°

Sezione: tirante 4 trefoli

Tipo di barre: Barre trefoli Numero di barre: 4 Diametro: 0.01331 m

Trave di Ripartizione : trave fila 1

Sezione: DOUBLE HE 200A MAT. S275

Area: 0.000556 m^2

**HE 200A** 

Materiale: S275

Tirante: fila tirante 2

X:0 m Z:-4 m

Lunghezza bulbo: 16 m Diametro bulbo: 0.24 m Lunghezza libera: 6 m Spaziatura orizzontale: 3 m

Precarico: 360 kN

Angolo: 15°

Sezione: tirante 4 trefoli

Tipo di barre: Barre trefoli Numero di barre: 4 Diametro: 0.01331 m

Area: 0.000556 m^2

Trave di Ripartizione : trave fila 2

Sezione: DOUBLE HE 200A MAT. S275

HE 200A

Materiale: S275

Tirante: fila tirante 3

X:0 m Z:-6.5 m

Lunghezza bulbo: 16 m Diametro bulbo: 0.24 m Lunghezza libera: 6 m Spaziatura orizzontale: 3 m

Precarico: 360 kN Angolo: 15°











ADEGUAMENTO A QUATTRO CORSIE DEL TRATTO SAN ZENO – AREZZO – PALAZZO DEL PERO, LOTTO 1 (FI508)

#### OPERE PROVVISIONALI - ASSE PRINCIPALE - VIADOTTO VI.01

Sezione: tirante 4 trefoli

Tipo di barre : Barre trefoli Numero di barre: 4 Diametro: 0.01331 m Area: 0.000556 m^2

Trave di Ripartizione : trave fila 3

Sezione: DOUBLE HE 200A MAT. S275

HE 200A

Materiale: S275





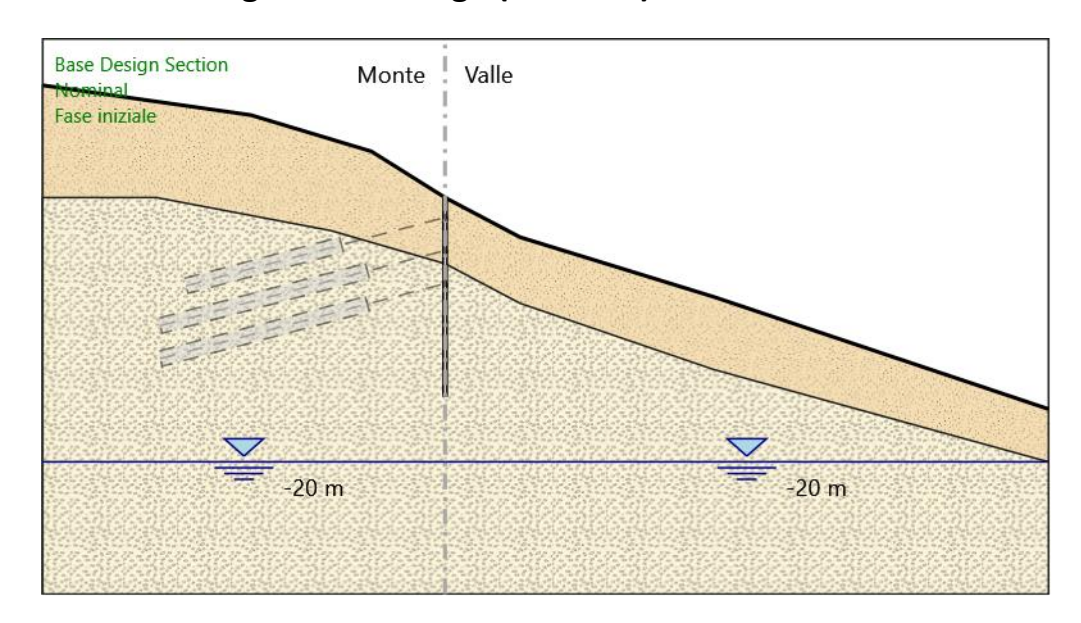


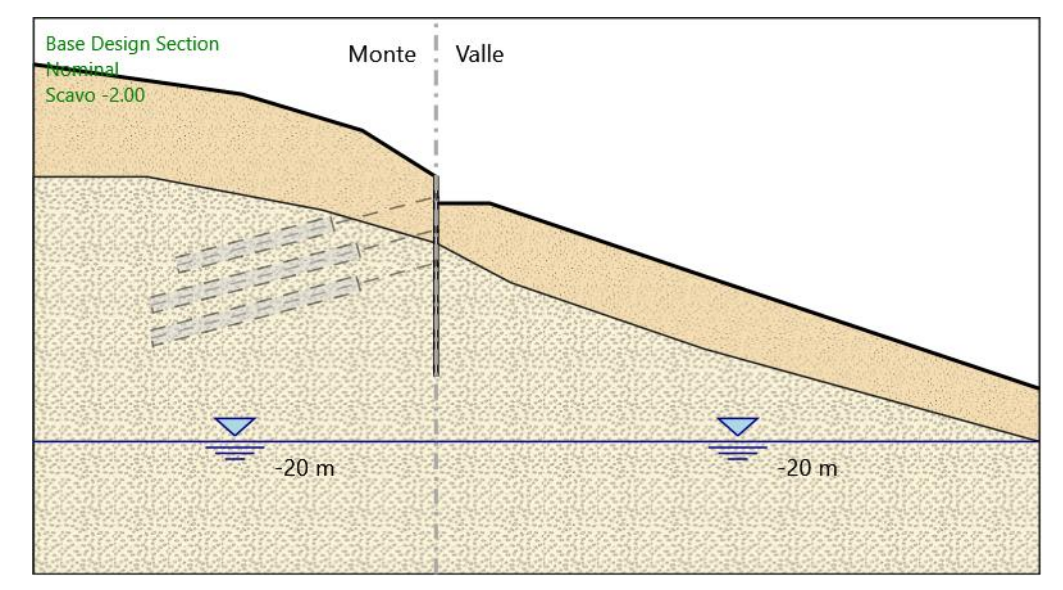




#### OPERE PROVVISIONALI - ASSE PRINCIPALE - VIADOTTO VI.01

### **Tabella Configurazione Stage (Nominal)**











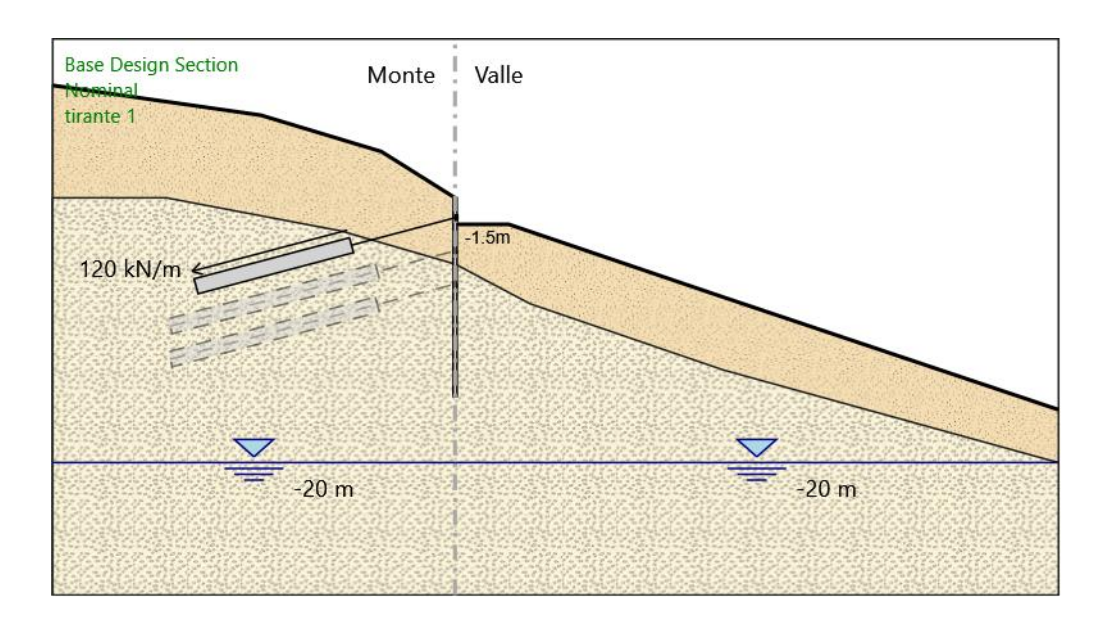


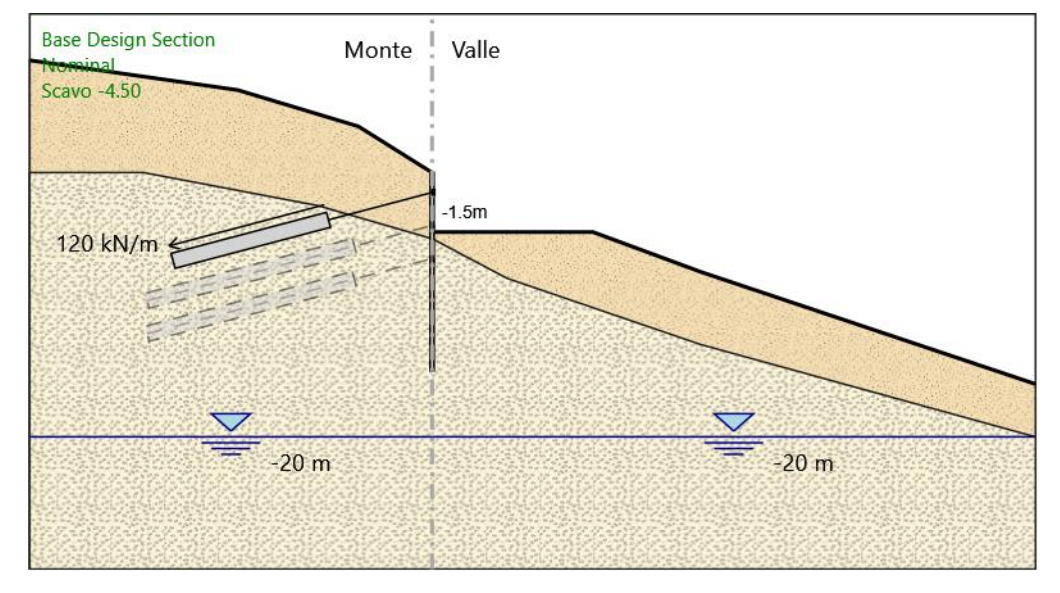




# E78 GROSSETO – FANO TRATTO NODO DI AREZZO – SELCI – LAMA (E45) ADEGUAMENTO A QUATTRO CORSIE DEL TRATTO SAN ZENO – AREZZO – PALAZZO DEL PERO, LOTTO 1 (FI508)

#### OPERE PROVVISIONALI - ASSE PRINCIPALE - VIADOTTO VI.01













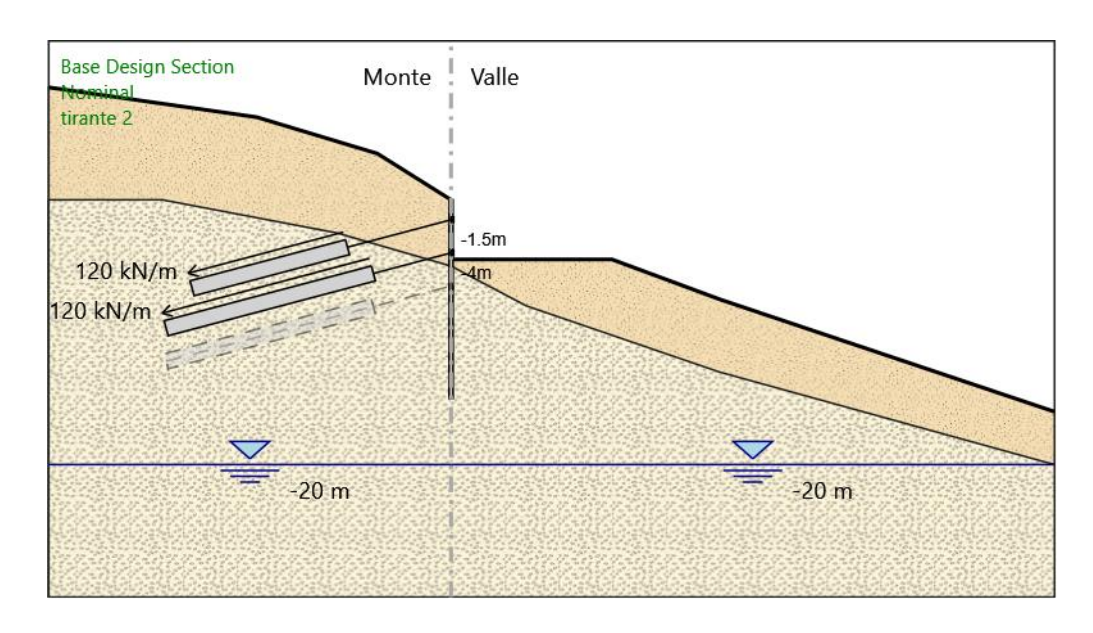


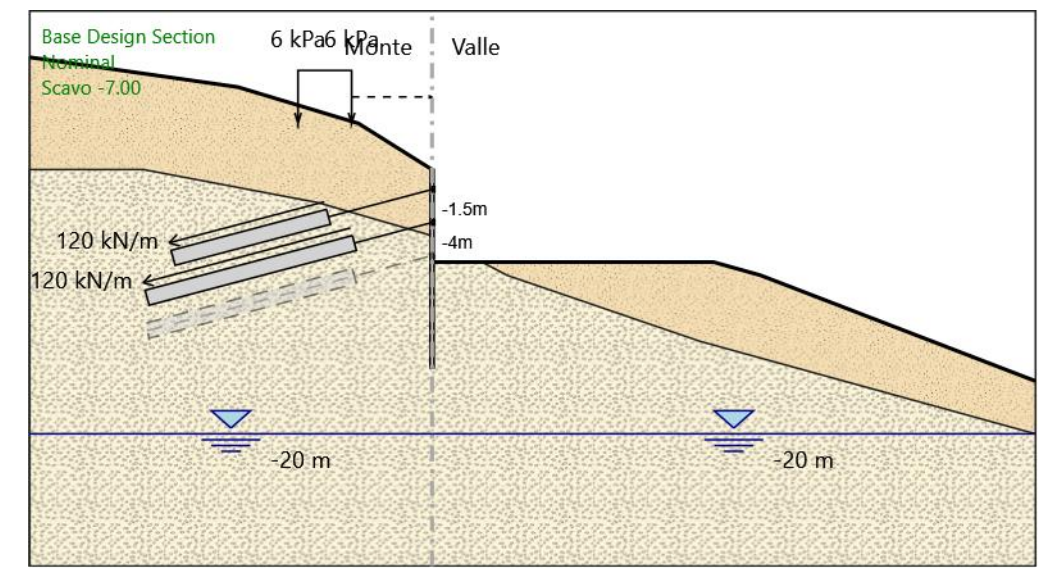


# E78 GROSSETO – FANO Tratto Nodo di Arezzo – Selci – Lama (E45)

ADEGUAMENTO A QUATTRO CORSIE DEL TRATTO SAN ZENO – AREZZO – PALAZZO DEL PERO, LOTTO 1 (FI508)

#### OPERE PROVVISIONALI - ASSE PRINCIPALE - VIADOTTO VI.01











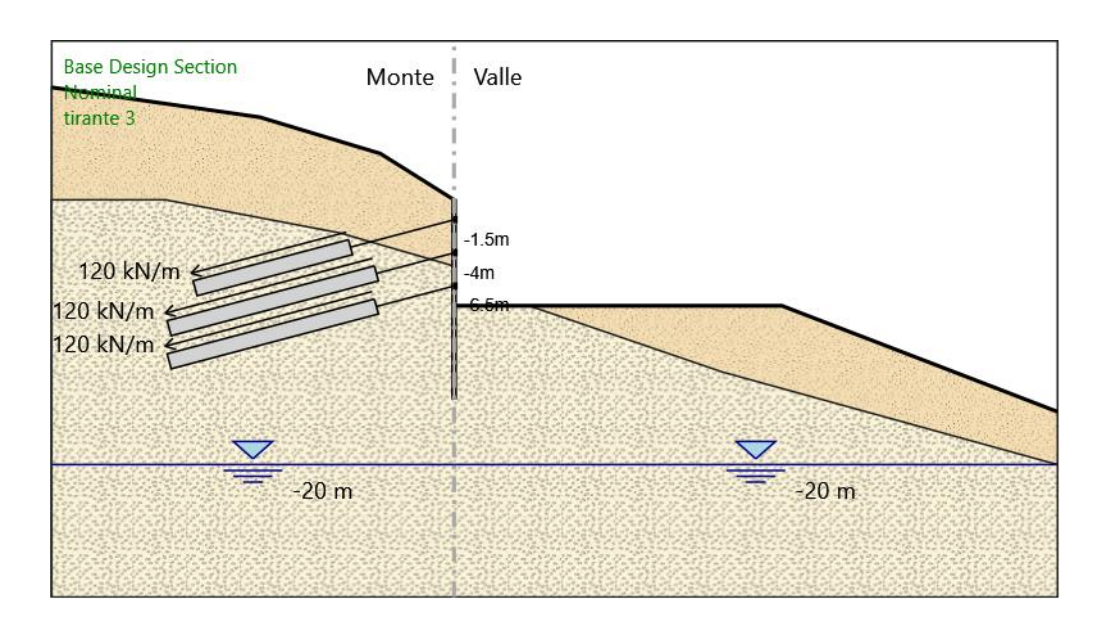


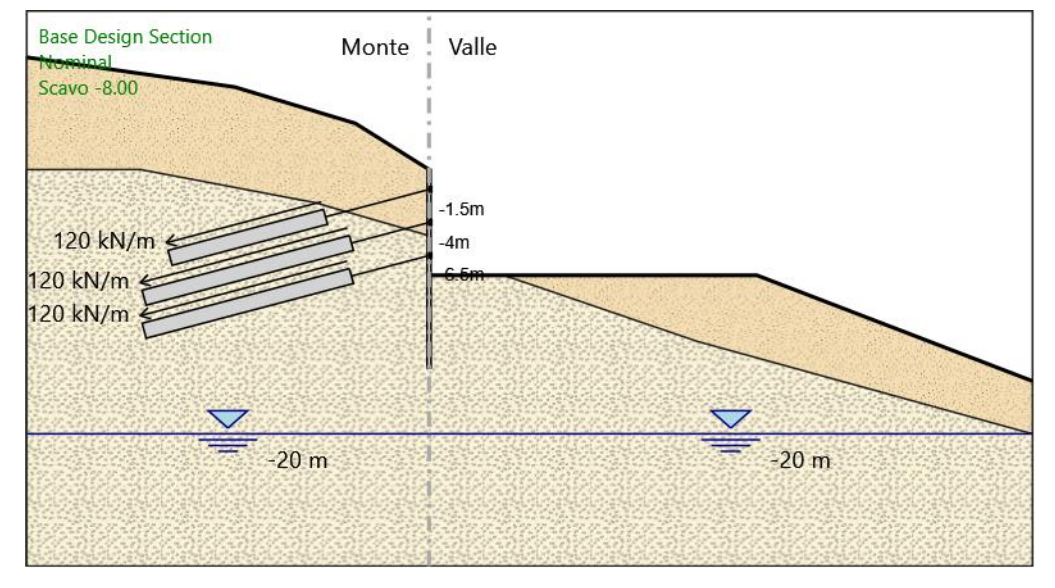




# E78 GROSSETO – FANO TRATTO NODO DI AREZZO – SELCI – LAMA (E45) ADEGUAMENTO A QUATTRO CORSIE DEL TRATTO SAN ZENO – AREZZO – PALAZZO DEL PERO, LOTTO 1 (FI508)

#### OPERE PROVVISIONALI - ASSE PRINCIPALE - VIADOTTO VI.01









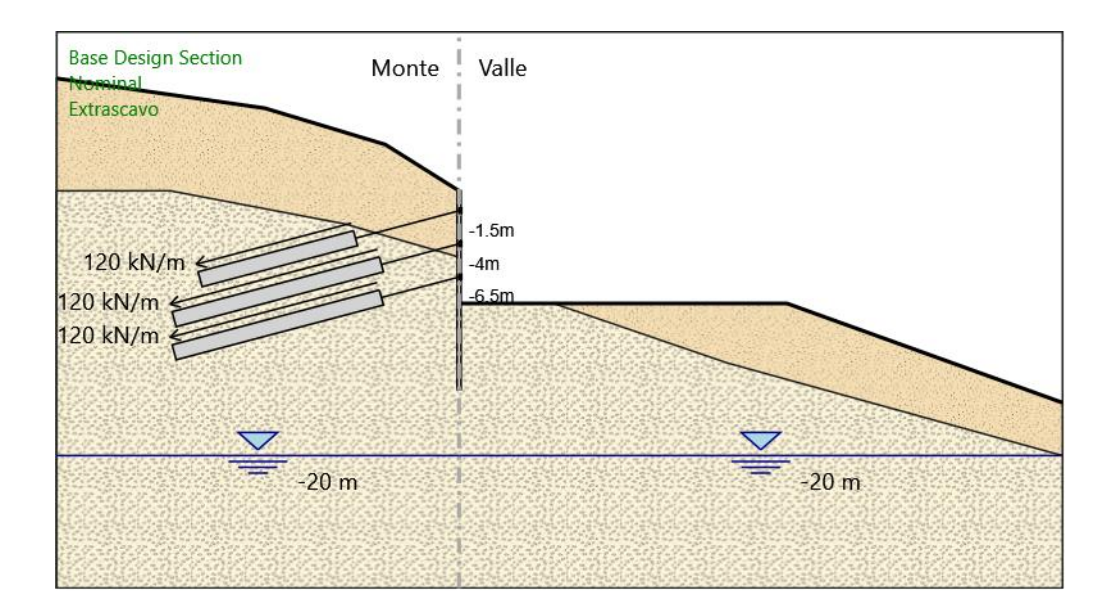








#### OPERE PROVVISIONALI - ASSE PRINCIPALE - VIADOTTO VI.01















#### E78 GROSSETO - FANO TRATTO NODO DI AREZZO - SELCI - LAMA (E45)

ADEGUAMENTO A QUATTRO CORSIE DEL TRATTO SAN ZENO - AREZZO - PALAZZO DEL PERO, LOTTO 1 (FI508)

OPERE PROVVISIONALI - ASSE PRINCIPALE - VIADOTTO VI.01

# Normative adottate per le verifiche degli Elementi Strutturali

#### **Normative Verifiche**

Calcestruzzo NTC Acciaio Tirante NTC

#### Coefficienti per Verifica Tiranti

GEO FS 1 ξаЗ 1.8 γs 1.15













OPERE PROVVISIONALI - ASSE PRINCIPALE - VIADOTTO VI.01

### **Verifiche Tiranti NTC2018: SLE (Rara/Frequente/Quasi Permanente)**

Design Assumption: NTC2018: SLE	Tipo Risultato:				NTC2018		
(Rara/Frequente/Quasi Permanente)	Verifiche Tiranti				(ITA)		
Tirante	Stage	Sollecitazione	Resistenza	Resistenza	Ratio GEO	Ratio Resistenza	Gerarchia delle
		(kN)	GEO (kN)	STR (kN)		STR	Resistenze
fila tirante 1	tirante 1	360	1357.168	807.409	0.265	0.446	NO
fila tirante 1	Scavo -4.50	387.371	1357.168	807.409	0.285	0.48	NO
fila tirante 1	tirante 2	381.975	1357.168	807.409	0.281	0.473	NO
fila tirante 1	Scavo -7.00	380.151	1357.168	807.409	0.28	0.471	NO
fila tirante 1	tirante 3	379.755	1357.168	807.409	0.28	0.47	NO
fila tirante 1	Scavo -8.00	379.755	1357.168	807.409	0.28	0.47	NO
fila tirante 1	Extrascavo	378.287	1357.168	807.409	0.279	0.469	NO
fila tirante 2	tirante 2	360	1809.558	807.409	0.199	0.446	NO
fila tirante 2	Scavo -7.00	406.211	1809.558	807.409	0.224	0.503	NO
fila tirante 2	tirante 3	397.359	1809.558	807.409	0.22	0.492	NO
fila tirante 2	Scavo -8.00	397.359	1809.558	807.409	0.22	0.492	NO
fila tirante 2	Extrascavo	400.088	1809.558	807.409	0.221	0.496	NO
fila tirante 3	tirante 3	360	1809.558	807.409	0.199	0.446	NO
fila tirante 3	Scavo -8.00	360	1809.558	807.409	0.199	0.446	NO
fila tirante 3	Extrascavo	378.214	1809.558	807.409	0.209	0.468	NO













# E78 GROSSETO – FANO Tratto Nodo di Arezzo – Selci – Lama (E45)

ADEGUAMENTO A QUATTRO CORSIE DEL TRATTO SAN ZENO – AREZZO – PALAZZO DEL PERO, LOTTO 1 (FI508)

#### OPERE PROVVISIONALI - ASSE PRINCIPALE - VIADOTTO VI.01

#### Verifiche Tiranti NTC2018: A1+M1+R1

Design Assumption:	Tipo Risultato:				NTC2018			
NTC2018: A1+M1+R1	Verifiche Tiranti				(ITA)			
Tirante	Stage	Sollecitazione	Resistenza	Resistenza STR	Ratio GEO	Ratio	Resistenza	Gerarchia delle
		(kN)	GEO (kN)	(kN)		STR		Resistenze
fila tirante 1	tirante 1	468	753.982	807.409	0.621	0.58		
fila tirante 1	Scavo -4.50	503.582	753.982	807.409	0.668	0.624		
fila tirante 1	tirante 2	496.568	753.982	807.409	0.659	0.615		
fila tirante 1	Scavo -7.00	494.311	753.982	807.409	0.656	0.612		
fila tirante 1	tirante 3	493.747	753.982	807.409	0.655	0.612		
fila tirante 1	Scavo -8.00	493.747	753.982	807.409	0.655	0.612		
fila tirante 1	Extrascavo	491.838	753.982	807.409	0.652	0.609		
fila tirante 2	tirante 2	468	1005.31	807.409	0.466	0.58		NO
fila tirante 2	Scavo -7.00	528.535	1005.31	807.409	0.526	0.655		NO
fila tirante 2	tirante 3	517.009	1005.31	807.409	0.514	0.64		NO
fila tirante 2	Scavo -8.00	517.009	1005.31	807.409	0.514	0.64		NO
fila tirante 2	Extrascavo	520.518	1005.31	807.409	0.518	0.645		NO
fila tirante 3	tirante 3	468	1005.31	807.409	0.466	0.58		NO
fila tirante 3	Scavo -8.00	468	1005.31	807.409	0.466	0.58		NO
fila tirante 3	Extrascavo	491.573	1005.31	807.409	0.489	0.609		NO













# E78 GROSSETO – FANO Tratto Nodo di Arezzo – Selci – Lama (E45)

ADEGUAMENTO A QUATTRO CORSIE DEL TRATTO SAN ZENO – AREZZO – PALAZZO DEL PERO, LOTTO 1 (FI508)

#### OPERE PROVVISIONALI - ASSE PRINCIPALE - VIADOTTO VI.01

#### Verifiche Tiranti NTC2018: A1+M1+R3

Design Assumption:	Tipo Risultato:				NTC2018			
NTC2018: A1+M1+R3	Verifiche Tiranti				(ITA)			
Tirante	Stage	Sollecitazione	Resistenza	Resistenza STR	Ratio GEO	Ratio	Resistenza	Gerarchia delle
		(kN)	GEO (kN)	(kN)		STR		Resistenze
fila tirante 1	tirante 1	468	685.439	807.409	0.683	0.58		
fila tirante 1	Scavo -4.50	503.582	685.439	807.409	0.735	0.624		
fila tirante 1	tirante 2	496.568	685.439	807.409	0.724	0.615		
fila tirante 1	Scavo -7.00	494.311	685.439	807.409	0.721	0.612		
fila tirante 1	tirante 3	493.747	685.439	807.409	0.72	0.612		
fila tirante 1	Scavo -8.00	493.747	685.439	807.409	0.72	0.612		
fila tirante 1	Extrascavo	491.838	685.439	807.409	0.718	0.609		
fila tirante 2	tirante 2	468	913.918	807.409	0.512	0.58		NO
fila tirante 2	Scavo -7.00	528.535	913.918	807.409	0.578	0.655		NO
fila tirante 2	tirante 3	517.009	913.918	807.409	0.566	0.64		NO
fila tirante 2	Scavo -8.00	517.009	913.918	807.409	0.566	0.64		NO
fila tirante 2	Extrascavo	520.518	913.918	807.409	0.57	0.645		NO
fila tirante 3	tirante 3	468	913.918	807.409	0.512	0.58		NO
fila tirante 3	Scavo -8.00	468	913.918	807.409	0.512	0.58		NO
fila tirante 3	Extrascavo	491.573	913.918	807.409	0.538	0.609		NO













#### E78 GROSSETO – FANO TRATTO NODO DI AREZZO - SELCI - LAMA (E45)

ADEGUAMENTO A QUATTRO CORSIE DEL TRATTO SAN ZENO – AREZZO – PALAZZO DEL PERO, LOTTO 1 (FI508)

#### OPERE PROVVISIONALI - ASSE PRINCIPALE - VIADOTTO VI.01

#### Verifiche Tiranti NTC2018: A2+M2+R1

Design Assumption:	Tipo Risultato:				NTC2018			
NTC2018: A2+M2+R1	Verifiche Tiranti				(ITA)			
Tirante	Stage	Sollecitazione	Resistenza	Resistenza STR	Ratio GEO	Ratio	Resistenza	Gerarchia delle
		(kN)	GEO (kN)	(kN)		STR		Resistenze
fila tirante 1	tirante 1	360	685.439	807.409	0.525	0.446		
fila tirante 1	Scavo -4.50	389.417	685.439	807.409	0.568	0.482		
fila tirante 1	tirante 2	383.39	685.439	807.409	0.559	0.475		
fila tirante 1	Scavo -7.00	383.655	685.439	807.409	0.56	0.475		
fila tirante 1	tirante 3	382.3	685.439	807.409	0.558	0.473		
fila tirante 1	Scavo -8.00	382.3	685.439	807.409	0.558	0.473		
fila tirante 1	Extrascavo	376.384	685.439	807.409	0.549	0.466		
fila tirante 2	tirante 2	360	913.918	807.409	0.394	0.446		NO
fila tirante 2	Scavo -7.00	443.153	913.918	807.409	0.485	0.549		NO
fila tirante 2	tirante 3	436.489	913.918	807.409	0.478	0.541		NO
fila tirante 2	Scavo -8.00	436.489	913.918	807.409	0.478	0.541		NO
fila tirante 2	Extrascavo	451.218	913.918	807.409	0.494	0.559		NO
fila tirante 3	tirante 3	360	913.918	807.409	0.394	0.446		NO
fila tirante 3	Scavo -8.00	360	913.918	807.409	0.394	0.446		NO
fila tirante 3	Extrascavo	409.025	913.918	807.409	0.448	0.507		NO













#### OPERE PROVVISIONALI - ASSE PRINCIPALE - VIADOTTO VI.01

#### Verifiche Tiranti NTC2018: A2+M2+R2

Design Assumption:	Tipo Risultato:				NTC2018			
NTC2018: A2+M2+R2	Verifiche Tiranti				(ITA)			
Tirante	Stage	Sollecitazione	Resistenza	Resistenza STR	Ratio GEO	Ratio	Resistenza	Gerarchia delle
		(kN)	GEO (kN)	(kN)		STR		Resistenze
fila tirante 1	tirante 1	360	685.439	807.409	0.525	0.446		
fila tirante 1	Scavo -4.50	389.417	685.439	807.409	0.568	0.482		
fila tirante 1	tirante 2	383.39	685.439	807.409	0.559	0.475		
fila tirante 1	Scavo -7.00	383.655	685.439	807.409	0.56	0.475		
fila tirante 1	tirante 3	382.3	685.439	807.409	0.558	0.473		
fila tirante 1	Scavo -8.00	382.3	685.439	807.409	0.558	0.473		
fila tirante 1	Extrascavo	376.384	685.439	807.409	0.549	0.466		
fila tirante 2	tirante 2	360	913.918	807.409	0.394	0.446		NO
fila tirante 2	Scavo -7.00	443.153	913.918	807.409	0.485	0.549		NO
fila tirante 2	tirante 3	436.489	913.918	807.409	0.478	0.541		NO
fila tirante 2	Scavo -8.00	436.489	913.918	807.409	0.478	0.541		NO
fila tirante 2	Extrascavo	451.218	913.918	807.409	0.494	0.559		NO
fila tirante 3	tirante 3	360	913.918	807.409	0.394	0.446		NO
fila tirante 3	Scavo -8.00	360	913.918	807.409	0.394	0.446		NO
fila tirante 3	Extrascavo	409.025	913.918	807.409	0.448	0.507		NO













#### E78 GROSSETO - FANO TRATTO NODO DI AREZZO - SELCI - LAMA (E45)

ADEGUAMENTO A QUATTRO CORSIE DEL TRATTO SAN ZENO – AREZZO – PALAZZO DEL PERO, LOTTO 1 (FI508)

OPERE PROVVISIONALI - ASSE PRINCIPALE - VIADOTTO VI.01

### Inviluppo Verifiche Tiranti (su tutte le D.A. attive)

	Tipo Risultato:								
	Verifiche Tiranti								
Tirante	Stage	Sollecitazione	Resistenza GEO	Resistenza STR	Ratio	Ratio	Resistenza	Gerarchia delle	Design
		(kN)	(kN)	(kN)	GEO	STR		Resistenze	Assumption
fila	Scavo -4.50	503.582	685.439	807.409	0.735	0.624			NTC2018:
tirante 1									A1+M1+R3
fila	Scavo -7.00	528.535	1005.31	807.409	0.526	0.655		NO	NTC2018:
tirante 2									A1+M1+R1
fila	Extrascavo	491.573	1005.31	807.409	0.489	0.609		NO	NTC2018:
tirante 3									A1+M1+R1













# E78 GROSSETO - FANO

Tratto Nodo di Arezzo – Selci – Lama (E45)
Adeguamento a quattro corsie del tratto San Zeno – Arezzo – Palazzo del Pero, lotto 1 (FI508)

OPERE PROVVISIONALI - ASSE PRINCIPALE - VIADOTTO VI.01

## Verifiche Travi di Ripartizione Nominal

Design Assumption:	Tipo Risultato: Verifiche Travi di								
Nominal	Ripartizione								
Trave di Ripartizione	Elemento strutturale	Sezione	Materiale	Stage	Carico distribuito	Assiale	Ratio	Ratio	Instabilità
					(kN/m)	(kN)	M-N	taglio	
trave fila 1	fila tirante 1	HE 200A	S275	tirante 1	120	0	0	0	0
trave fila 1	fila tirante 1	HE 200A	S275	Scavo - 4.50	129.124	0	0	0	0
trave fila 1	fila tirante 1	HE 200A	S275	tirante 2	127.325	0	0	0	0
trave fila 2	fila tirante 2	HE 200A	S275	tirante 2	120	0	0	0	0
trave fila 1	fila tirante 1	HE 200A	S275	Scavo - 7.00	126.717	0	0	0	0
trave fila 2	fila tirante 2	HE 200A	S275	Scavo - 7.00	135.404	0	0	0	0
trave fila 1	fila tirante 1	HE 200A	S275	tirante 3	126.585	0	0	0	0
trave fila 2	fila tirante 2	HE 200A	S275	tirante 3	132.453	0	0	0	0
trave fila 3	fila tirante 3	HE 200A	S275	tirante 3	120	0	0	0	0
trave fila 1	fila tirante 1	HE 200A	S275	Scavo - 8.00	126.585	0	0	0	0
trave fila 2	fila tirante 2	HE 200A	S275	Scavo - 8.00	132.453	0	0	0	0
trave fila 3	fila tirante 3	HE 200A	S275	Scavo - 8.00	120	0	0	0	0
trave fila 1	fila tirante 1	HE 200A	S275	Extrascavo	126.096	0	0	0	0
trave fila 2	fila tirante 2	HE 200A	S275	Extrascavo	133.363	0	0	0	0
trave fila 3	fila tirante 3	HE 200A	S275	Extrascavo	126.071	0	0	0	0













#### E78 GROSSETO - FANO TRATTO NODO DI AREZZO - SELCI - LAMA (E45)

ADEGUAMENTO A QUATTRO CORSIE DEL TRATTO SAN ZENO – AREZZO – PALAZZO DEL PERO, LOTTO 1 (FI508)

OPERE PROVVISIONALI - ASSE PRINCIPALE - VIADOTTO VI.01

## Verifiche Travi di Ripartizione NTC2018: SLE (Rara/Frequente/Quasi Permanente)

Design Assumption: NTC2018: SLE	Tipo Risultato:	NTC2018							
(Rara/Frequente/Quasi Permanente)	Verifiche Travi di	(ITA)							
	Ripartizione								
Trave di Ripartizione	Elemento strutturale	Sezione	Materiale	Stage	Carico	Assiale	Ratio	Ratio	Instabilità
					distribuito	(kN)	M-N	taglio	
					(kN/m)				
trave fila 1	fila tirante 1	HE 200A	S275	tirante 1	120	0	0.563	0.403	0
trave fila 1	fila tirante 1	HE 200A	S275	Scavo - 4.50	129.124	0	0.605	0.433	0
trave fila 1	fila tirante 1	HE 200A	S275	tirante 2	127.325	0	0.597	0.427	0
trave fila 2	fila tirante 2	HE 200A	S275	tirante 2	120	0	0.563	0.403	0
trave fila 1	fila tirante 1	HE 200A	S275	Scavo -	126.717	0	0.594	0.425	0
				7.00					
trave fila 2	fila tirante 2	HE 200A	S275	Scavo -	135.404	0	0.635	0.454	0
				7.00					
trave fila 1	fila tirante 1	HE 200A	S275	tirante 3	126.585	0	0.593	0.425	0
trave fila 2	fila tirante 2	HE 200A	S275	tirante 3	132.453	0	0.621	0.444	0
trave fila 3	fila tirante 3	HE 200A	S275	tirante 3	120	0	0.563	0.403	0
trave fila 1	fila tirante 1	HE 200A	S275	Scavo -	126.585	0	0.593	0.425	0
				8.00					
trave fila 2	fila tirante 2	HE 200A	S275	Scavo -	132.453	0	0.621	0.444	0
				8.00					
trave fila 3	fila tirante 3	HE 200A	S275	Scavo -	120	0	0.563	0.403	0
				8.00					
trave fila 1	fila tirante 1	HE 200A	S275	Extrascavo	126.096	0	0.591	0.423	0
trave fila 2	fila tirante 2	HE 200A	S275	Extrascavo	133.363	0	0.625	0.447	0
trave fila 3	fila tirante 3	HE 200A	S275	Extrascavo	126.071	0	0.591	0.423	0













OPERE PROVVISIONALI - ASSE PRINCIPALE - VIADOTTO VI.01

## Verifiche Travi di Ripartizione NTC2018: A1+M1+R1

Design Assumption:	Tipo Risultato: Verifiche	NTC2018							
NTC2018: A1+M1+R1	Travi di Ripartizione	(ITA)							
Trave di Ripartizione	Elemento strutturale	Sezione	Materiale	Stage	Carico distribuito	Assiale	Ratio	Ratio	Instabilità
					(kN/m)	(kN)	M-N	taglio	
trave fila 1	fila tirante 1	HE 200A	S275	tirante 1	156	0	0.732	0.523	0
trave fila 1	fila tirante 1	HE 200A	S275	Scavo - 4.50	167.861	0	0.789	0.563	0
trave fila 1	fila tirante 1	HE 200A	S275	tirante 2	165.523	0	0.778	0.555	0
trave fila 2	fila tirante 2	HE 200A	S275	tirante 2	156	0	0.732	0.523	0
trave fila 1	fila tirante 1	HE 200A	S275	Scavo -	164.77	0	0.774	0.553	0
				7.00					
trave fila 2	fila tirante 2	HE 200A	S275	Scavo - 7.00	176.178	0	0.83	0.591	0
trave fila 1	fila tirante 1	HE 200A	S275	tirante 3	164.582	0	0.773	0.552	0
trave fila 2	fila tirante 2	HE 200A	S275	tirante 3	172.336	0	0.811	0.578	0
trave fila 3	fila tirante 3	HE 200A	S275	tirante 3	156	0	0.732	0.523	0
trave fila 1	fila tirante 1	HE 200A	S275	Scavo - 8.00	164.582	0	0.773	0.552	0
trave fila 2	fila tirante 2	HE 200A	S275	Scavo - 8.00	172.336	0	0.811	0.578	0
trave fila 3	fila tirante 3	HE 200A	S275	Scavo - 8.00	156	0	0.732	0.523	0
trave fila 1	fila tirante 1	HE 200A	S275	Extrascavo	163.946	0	0.77	0.55	0
trave fila 2	fila tirante 2	HE 200A	S275	Extrascavo	173.506	0	0.817	0.582	0
trave fila 3	fila tirante 3	HE 200A	S275	Extrascavo	163.858	0	0.769	0.55	0













OPERE PROVVISIONALI - ASSE PRINCIPALE - VIADOTTO VI.01

## Verifiche Travi di Ripartizione NTC2018: A1+M1+R3

Design Assumption:	Tipo Risultato: Verifiche	NTC2018							
NTC2018: A1+M1+R3	Travi di Ripartizione	(ITA)							
Trave di Ripartizione	Elemento strutturale	Sezione	Materiale	Stage	Carico distribuito	Assiale	Ratio	Ratio	Instabilità
					(kN/m)	(kN)	M-N	taglio	
trave fila 1	fila tirante 1	HE 200A	S275	tirante 1	156	0	0.732	0.523	0
trave fila 1	fila tirante 1	HE 200A	S275	Scavo - 4.50	167.861	0	0.789	0.563	0
trave fila 1	fila tirante 1	HE 200A	S275	tirante 2	165.523	0	0.778	0.555	0
trave fila 2	fila tirante 2	HE 200A	S275	tirante 2	156	0	0.732	0.523	0
trave fila 1	fila tirante 1	HE 200A	S275	Scavo -	164.77	0	0.774	0.553	0
				7.00					
trave fila 2	fila tirante 2	HE 200A	S275	Scavo - 7.00	176.178	0	0.83	0.591	0
trave fila 1	fila tirante 1	HE 200A	S275	tirante 3	164.582	0	0.773	0.552	0
trave fila 2	fila tirante 2	HE 200A	S275	tirante 3	172.336	0	0.811	0.578	0
trave fila 3	fila tirante 3	HE 200A	S275	tirante 3	156	0	0.732	0.523	0
trave fila 1	fila tirante 1	HE 200A	S275	Scavo - 8.00	164.582	0	0.773	0.552	0
trave fila 2	fila tirante 2	HE 200A	S275	Scavo - 8.00	172.336	0	0.811	0.578	0
trave fila 3	fila tirante 3	HE 200A	S275	Scavo - 8.00	156	0	0.732	0.523	0
trave fila 1	fila tirante 1	HE 200A	S275	Extrascavo	163.946	0	0.77	0.55	0
trave fila 2	fila tirante 2	HE 200A	S275	Extrascavo	173.506	0	0.817	0.582	0
trave fila 3	fila tirante 3	HE 200A	S275	Extrascavo	163.858	0	0.769	0.55	0













OPERE PROVVISIONALI - ASSE PRINCIPALE - VIADOTTO VI.01

# Verifiche Travi di Ripartizione NTC2018: A2+M2+R1

Design Assumption:	Tipo Risultato: Verifiche	NTC2018							
NTC2018: A2+M2+R1	Travi di Ripartizione	(ITA)							
Trave di Ripartizione	Elemento strutturale	Sezione	Materiale	Stage	Carico distribuito	Assiale	Ratio	Ratio	Instabilità
					(kN/m)	(kN)	M-N	taglio	
trave fila 1	fila tirante 1	HE 200A	S275	tirante 1	120	0	0.563	0.403	0
trave fila 1	fila tirante 1	HE 200A	S275	Scavo - 4.50	129.806	0	0.608	0.435	0
trave fila 1	fila tirante 1	HE 200A	S275	tirante 2	127.796	0	0.599	0.429	0
trave fila 2	fila tirante 2	HE 200A	S275	tirante 2	120	0	0.563	0.403	0
trave fila 1	fila tirante 1	HE 200A	S275	Scavo -	127.885	0	0.599	0.429	0
trave fila 2	fila tirante 2	HE 200A	S275	7.00 Scavo - 7.00	147.718	0	0.692	0.496	0
trave fila 1	fila tirante 1	HE 200A	S275	tirante 3	127.434	0	0.597	0.428	0
trave fila 2	fila tirante 2	HE 200A	S275	tirante 3	145.496	0	0.682	0.488	0
trave fila 3	fila tirante 3	HE 200A	S275	tirante 3	120	0	0.563	0.403	0
trave fila 1	fila tirante 1	HE 200A	S275	Scavo - 8.00	127.434	0	0.597	0.428	0
trave fila 2	fila tirante 2	HE 200A	S275	Scavo - 8.00	145.496	0	0.682	0.488	0
trave fila 3	fila tirante 3	HE 200A	S275	Scavo - 8.00	120	0	0.563	0.403	0
trave fila 1	fila tirante 1	HE 200A	S275	Extrascavo	125.461	0	0.588	0.421	0
trave fila 2	fila tirante 2	HE 200A	S275	Extrascavo	150.406	0	0.705	0.505	0
trave fila 3	fila tirante 3	HE 200A	S275	Extrascavo	136.342	0	0.639	0.457	0













OPERE PROVVISIONALI - ASSE PRINCIPALE - VIADOTTO VI.01

## Verifiche Travi di Ripartizione NTC2018: A2+M2+R2

Design Assumption:	Tipo Risultato: Verifiche	NTC2018							
NTC2018: A2+M2+R2	Travi di Ripartizione	(ITA)							
Trave di Ripartizione	Elemento strutturale	Sezione	Materiale	Stage	Carico distribuito	Assiale	Ratio	Ratio	Instabilità
					(kN/m)	(kN)	M-N	taglio	
trave fila 1	fila tirante 1	HE 200A	S275	tirante 1	120	0	0.563	0.403	0
trave fila 1	fila tirante 1	HE 200A	S275	Scavo - 4.50	129.806	0	0.608	0.435	0
trave fila 1	fila tirante 1	HE 200A	S275	tirante 2	127.796	0	0.599	0.429	0
trave fila 2	fila tirante 2	HE 200A	S275	tirante 2	120	0	0.563	0.403	0
trave fila 1	fila tirante 1	HE 200A	S275	Scavo -	127.885	0	0.599	0.429	0
trave fila 2	fila tirante 2	HE 200A	S275	7.00 Scavo - 7.00	147.718	0	0.692	0.496	0
trave fila 1	fila tirante 1	HE 200A	S275	tirante 3	127.434	0	0.597	0.428	0
trave fila 2	fila tirante 2	HE 200A	S275	tirante 3	145.496	0	0.682	0.488	0
trave fila 3	fila tirante 3	HE 200A	S275	tirante 3	120	0	0.563	0.403	0
trave fila 1	fila tirante 1	HE 200A	S275	Scavo - 8.00	127.434	0	0.597	0.428	0
trave fila 2	fila tirante 2	HE 200A	S275	Scavo - 8.00	145.496	0	0.682	0.488	0
trave fila 3	fila tirante 3	HE 200A	S275	Scavo - 8.00	120	0	0.563	0.403	0
trave fila 1	fila tirante 1	HE 200A	S275	Extrascavo	125.461	0	0.588	0.421	0
trave fila 2	fila tirante 2	HE 200A	S275	Extrascavo	150.406	0	0.705	0.505	0
trave fila 3	fila tirante 3	HE 200A	S275	Extrascavo	136.342	0	0.639	0.457	0









